

14097

İSTANBUL TEKNİK ÜNİVERSİTESİ\* FEN BİLİMLERİ ENSTİTÜSÜ

**ISİL İŞLEM GÖRMÜŞ HAFIF BETONLARIN DEĞİŞKEN  
YÜKLER ALTINDA ZAMANA BAĞLI DAVRANIŞLARI**

**DOKTORA TEZİ**

**Y.Müh. Kemalettin YILMAZ**

**T. C.**

**Yükseköğretim Kurulu  
Dokümantasyon Merkezi**

**Tezin Enstitüye Verildiği Tarih: 27 Şubat 1989**

**Tezin Savunulduğu Tarih : 10 Mayıs 1989**

**Tez Danışmanı : Prof.Dr. Saim AKYÜZ**

**Diger Juri Üyeleri : Prof.Dr. Mehmet UYAN**

**Doç.Dr. Turan ÖZTURAN**

## ÖNSÖZ

Ülkemiz doğal kaynakları arasında yer alan ve oldukça büyük rezervi bulunan ponza taşının konut sektöründe değerlendirilmesi henüz istenen bir düzeyde değildir. Elde edilmesi ek bir maliyeti gerektirmeyen bu malzemenin özelliklerinin yeterince bilinip anlaşılması hafif beton üretiminde daha rasyonel ve yaygın olarak kullanılmasını sağlayacaktır. Bu nedenle çalışma konusu olarak bu malzeme seçilerek ponza taşı ile üretilen ıslı işlem uygulanmış hafif betonun uzun süreli değişken yüklemeler altındaki davranışını incelenmiş ve bu yöndeki bilgi birikimine katkı sağlanmaya çalışılmıştır.

Beton yapılardan beklenen, yeterli mukavemette olmasının yanında ısı yalıtımını da sağlaması istenmektedir. Özellikle son yıllarda konutlarda enerji tasarrufuna gitmesi yönyle çalışmalar sürdürülmemektedir. Artan nüfusun getirdiği yoğun yapılaşma, ısınma gereksinimi için toplam harcanan yıllık yakıt tüketimini artırmış ve bunun sonucu olarak bazı büyük kentlerimizde hava kirliliği insan sağlığını tehdit eder boyutlara ulaşmıştır. Bu konuda yetkililer gerekli önlemler için değişik arayışlar içerisinde girmişlerdir. Getirilen çare ve varılan sonuç her ne olursa olsun soruna çevre sağlığı ve yakıt maliyeti yönyle bakıldığından ön çözüm konutların iyi bir yalıtımla üretilmesi olgusundan geçmektedir. Ponza taşı kullanılarak üretilen hafif betonların ısı yalıtım değeri normal betonlara oranla daha yüksek olduğundan iyi bir yalıtım malzemesi olarak değerlendirilebilir.

Tez konusunun belirlenmesinde ve onu izleyen tez yönetiminde, çalışmalarım boyunca değerli ilgi ve katkılarını gördüğüm sayın hocam Prof.Dr.Saim AKYÜZ'e teşekkür ederim.

Ayrıca çalışmalarımda yardımcılarını gördüğüm Öğr. Gör. Dr. M.Ali TAŞPINAR'a ve İTÜ Yapı Malzemesi Laboratuvarı personeline teşekkür ederim.

# İÇİNDEKİLER

	<u>Sayfa</u>
ÖNSÖZ .....	ii
NOTASYON .....	v
ŞEKİL LİSTESİ .....	vi
TABLO LİSTESİ .....	viii
ÖZET .....	x
SUMMARY .....	xi
 BÖLÜM 1 - GİRİŞ .....	1
1.1. Genel Bilgiler .....	2
1.1.1. Hafif betonların özellikleri ve prefabrikasyon .....	2
1.1.2. Hafif betonların sınıflandırılması .....	6
1.1.3. Hafif agregaların sınıflandırılması ve ülkemizin hafif agregalar yönünden durumu .....	8
1.1.4. Betona erken dayanım kazandırma yöntemleri ve atmosferik basınç altında buhar kürü.....	10
1.1.5. Betonların sünme ve rötresi ile bunlara etki eden faktörler .....	15
1.2. Konu ile ilgili Çalışmalar.....	21
1.2.1. Atmosferik basınç altında buhar kürünün hafif betonlara etkisi .....	21
1.2.2. Betonun sünme rötresi .....	23
1.3. Araştırmanın Amacı ve Gerekçesi .....	27
1.4. Araştırmanın Kapsamı .....	29
 BÖLÜM 2 - DENEYSEL ÇALIŞMALAR .....	30
2.1. Kullanılan Malzemeler ve Özellikleri .....	30
2.1.1. Kum .....	30
2.1.2. Kırmataş .....	30
2.1.3. Ponza taşı hafif agregası .....	31
2.1.4. Cimento .....	32

	<u>Sayfa</u>
2.2. Beton Karışımıları.....	32
2.2.1. En büyük dane boyutu .....	32
2.2.2. Granülometrik bileşimler .....	33
2.2.3. Bileşim hesapları.....	35
2.2.4. Beton üretimi, karıştırma, yerleştirme ve saklama koşulları.....	36
2.2.5. Uygulanan ıslıl işlem çevrimleri .....	39
2.3. Deneylerin Tanımlanması ve Kullanılan Yöntemler .....	41
2.3.1. Taze beton deneyleri .....	41
2.3.2. ıslıl işlem çevrimlerinin uygulanması .....	41
2.3.3. Sertleşmiş beton deneyleri .....	42
2.4. Deney Programı.....	43
 BÖLÜM 3 - DENEY SONUÇLARI .....	46
3.1. Kısa Süreli Deney Sonuçları .....	46
3.2. Uzun Süreli Deney Sonuçları .....	49
 BÖLÜM 4 - DENEY SONUÇLARININ DEĞERLENDİRİLMESİ VE İRDELENMESİ .....	63
4.1. Taze Betonun Özelliklerinin Değerlendirilmesi ve İrdelenmesi .....	63
4.2. Kısa Süreli Deney Sonuçlarının Değerlendi- rimesi ve İrdelenmesi .....	63
4.3. Uzun Süreli Deney Sonuçlarının Değerlendi- rimesi ve İrdelenmesi .....	68
4.3.1. Betonun Zamana Bağlı Davranışı ve Değişken Yüklemeler altındaki Sünmesinin Tahmini.....	68
4.3.2. Sünme deney sonuçlarından yararlanarak yük- leme basamaklarındaki logaritmik sünme fonk- siyonlarının hesaplanması .....	73
4.3.3. Logaritmik sünme fonksiyonlarından elde edi- len "k" katsayılarının ıslıl işlem sıcaklığıy- le değişiminin irdelenmesi .....	88
4.3.4. Değişken gerilmeler altındaki hafif betonun sünmesinin işlem sıcaklığıyle değişiminin tahmini ve sonuçların irdelenmesi .....	98
4.4. Rötre Deformasyonlarının Değerlendirilmesi ve İrdelenmesi .....	106
 BÖLÜM 5 - SONUÇLAR .....	111
KAYNAKLAR .....	114
EKLER .....	120
ÖZGEÇMIŞ .....	129

## NOTASYON

- $\Delta$  : Hafif agreganın birim ağırlığı  
 $E$  : Hafif betonun elastisite modülü  
 $\sigma$  : Uygulanan gerilme (basamak gerilmesi)  
 $\epsilon_t$  : Toplam deformasyon  
 $\epsilon_s$  : Sünme deformasyonu  
 $\epsilon_r$  : Rötre deformasyonu  
 $t$  : Zaman  
 $t_b$  : Basamak süresi  
 $\tau$  : Beton yükleme yaşı  
 $f_c$  : Beton basınç dayanımı  
 $\epsilon_1, \epsilon_2$  : Basamaklarda hesaplanan deformasyonlar  
 $a$  : Logaritmik sünme fonksiyon sabiti  
 $b$  : Logaritmik sünme fonksiyon sabiti  
 $\phi(t)$  : Sünme fonksiyonu  
 $k_1, k_2$  : "a" sabitine ait katsayılar  
 $k_3, k_4$  : "b" sabitine ait katsayılar  
 $c$  : 1 m<sup>3</sup> yerleşmiş betondaki çimentonun ağırlığı  
 $T$  : İşlem sıcaklığı

## ŞEKİL LİSTESİ

<u>Sekil</u>	<u>Sayfa</u>
1.1. Isıl işlem çevrimi .....	11
2.1. 1. Grup hafif beton agregasının granülometrik bileşimi .....	34
2.2. 2. Grup hafif beton agregasının granülometrik bileşimi .....	34
2.3. Uygulanan isıl işlem çevrimleri .....	40
3.1. A-20 Hafif beton serisine ait $\epsilon$ -t diyagramı	54
3.2. B-40 Hafif beton serisine ait $\epsilon$ -t diyagramı	55
3.3. C-60 Hafif beton serisine ait $\epsilon$ -t diyagramı	56
3.4. D-70 Hafif beton serisine ait $\epsilon$ -t diyagramı	57
3.5. E-95 Hafif beton serisine ait $\epsilon$ -t diyagramı	58
3.6. F-20 Hafif beton serisine ait $\epsilon$ -t diyagramı	59
3.7. G-50 Hafif beton serisine ait $\epsilon$ -t diyagramı	60
3.8. H-80 Hafif beton serisine ait $\epsilon$ -t diyagramı	61
4.1. Beton basınç dayanımının yükleme yaşı ile değişimi .....	65
4.2. Elastisite modülüün yükleme yaşı ile değişimi .....	67
4.3. Lineer viskoelastik bir malzemenin davranışını gösteren yükleme programı ve $\epsilon$ -t diyagramı .....	68
4.4. Sabit gerilme altında sünme fonksiyonu grafiği.....	68
4.5. Gerilmenin zamana bağlı değişimini gösteren bir yükleme programı ve $\epsilon$ -t diyagramı ...	70
4.6.. Gerilmenin kademeli azalmasını gösteren bir yükleme programı ve $\epsilon$ -t diyagramı.....	70
4 .7. Yüklemenin süperpozisyon ilkesi gereği Özdeşliğini gösteren yükleme programı .....	71
4.8. İki zaman aralığında $\sigma$ gerilmesi altında oluşan şekil değiştirme .....	72
4.9. Sünme deney sonuçlarında "a" ve "b" katsayılarıının hesaplanmasıın örnek grafikle görselimi	76
4.10. A-20 Serisi "a" ve "b" nin logaritmaları ile yükleme yaşıının logaritması arasındaki bağıntı	80

SekilSayfa

4.11. B-40 Serisi "a" ve "b"-nin logaritmaları ile yükleme yașının logaritması arasındaki bağıntı	81
4.12. C-60 Serisi "a" ve "b" nin logaritmaları ile yükleme yașının logaritması arasındaki bağıntı	82
4.13. D-70 Serisi "a" ve "b" nin logaritmaları ile yükleme yașının logaritması arasındaki bağıntı	83
4.14. E-95 Serisi "a" ve "b" nin logaritmaları ile yükleme yașının logaritması arasındaki bağıntı	84
4.15. F-20 Serisi "a" ve "b" nin logaritmaları ile yükleme yașının logaritması arasındaki bağıntı	85
4.16. G-50 Serisi "a" ve "b" nin logaritmaları ile yükleme yașının logaritması arasındaki bağıntı	86
4.17. H-80 Serisi "a" ve "b" nin logaritmaları ile yükleme yașının logaritması arasındaki bağıntı	87
4.18. 1.ci Grup hafif betonlarda " $k_1$ " ve " $k_3$ " kat- sayılarının işlem sıcaklığı ile değişimi	91
4.19. 1.ci Grup hafif betonlarda " $k_2$ " ve " $k_4$ " kat- sayılarının işlem sıcaklığı ile değişimi	92
4.20. 2.ci Grup hafif betonlarda " $k_1$ " ve " $k_3$ " kat- sayılarının işlem sıcaklığı ile değişimi	93
4.21. 2.ci Grup hafif betonlarda " $k_2$ " ve " $k_4$ " kat- sayılarının işlem sıcaklığı ile değişimi	94
4.22. Değişken gerilmeler altındaki hafif betonun sünme deney sonuçları ile tahmin değerlerinin C - 60 kontrol betonu için karşılaştırılması .....	99
4.23. 1.ci Grup hafif betonlarda hesaplanan "a" kat- sayılarının işlem sıcaklığı ile değişimi	101
4.24. 1.ci Grup hafif betonlarda hesaplanan "b" kat- sayılarının işlem sıcaklığı ile değişimi	102
4.25. 2.ci Grup hafif betonlarda hesaplanan "a" kat- sayılarının işlem sıcaklığı ile değişimi	103
4.26. 2.ci Grup hafif betonlarda hesaplanan "b" kat- sayılarının işlem sıcaklığı ile değişimi	104
4.27. Rötre deformasyonlarının işlem sıcaklığı ile değişimi {1.Grup hafif beton}.....	108
4.28. Rötre deformasyonlarının işlem sıcaklığı ile değişimi {2.Grup hafif beton}.....	109

## TABLO LİSTESİ

<u>Tablo</u>	<u>Sayfa</u>
2.1. Kumun Özellikleri .....	30
2.2. Ponza taşı agregalarının deney sonuçları ..	31
2.3. Agregaların karışım yüzdeleri .....	33
2.4. Agrega karışımlarının granülometrik bileşimleri .....	34
2.5. Beton bileşimi ve taze beton Özellikleri...	37
2.6. Uygulanan ıslıl işlem çevrimleri .....	39
2.7. Uygulanan sünme deney programı .....	44
3.1. Kısa süreli deney sonuçları .....	47
3.2. Kısa süreli relatif deney sonuçları .....	48
3.3. A-20, B-40 Serilerine ait sünme deney sonuçları .....	50
3.4. C-60, D-70 Serilerine ait sünme deney sonuçları .....	51
3.5. E-95, F-20 Serilerine ait sünme deney sonuçları .....	52
3.6. G-50, H-80 Serilerine ait sünme deney sonuçları .....	53
3.7. Rötre deney sonuçları .....	62
4.1. Sünme deney sonuçlarından hesaplanan logaritmik sünme fonksiyon sabitleri .....	78
4.2. Sünme deney sonuçlarından hesaplanan logaritmik sünme fonksiyon sabitleri .....	79
4.3. Hafif beton serilerine ait deney sonuçlarından elde edilen "k" katsayıları .....	89
4.4. Hafif beton serilerine ait deney sonuçlarından edle edilen relatif "k" katsayıları ....	90
4.5. Hafif beton serilerinin grafikten hesaplanan sünme fonksiyon sabitleri .....	96
4.6. Hafif beton serilerinin grafikten hesaplanan relatif sünme fonksiyon sabitleri .....	97
4.7. Deney sonuçlarından bulunan rötre deformasyonları.....	107
4.8. Deney sonuçlarından bulunan relatif rötre değerleri .....	107

<u>Tablo</u>	<u>Sayfa</u>
A.1. A-20 Serisi "a" ve "b" katsayılarının hesaplanması ile ilgili tablo.....	121
A.2. B-40 Serisi "a" ve "b" katsayılarının hesaplanması ile ilgili tablo.....	122
A.3. C-60 Serisi "a" ve "b" katsayılarının hesaplanması ile ilgili tablo.....	123
A.4. D-70 Serisi "a" ve "b" katsayılarının hesaplanması ile ilgili tablo .....	124
A.5. E-95 Serisi "a" ve "b" katsayılarının hesaplanması ile ilgili tablo .....	125
A.6. F-20 Serisi "a" ve "b" katsayılarının hesaplanması ile ilgili tablo .....	126
A.7. G-50 Serisi "a" ve "b" katsayılarının hesaplanması ile ilgili tablo.....	127
A.8. H-80 Serisi "a" ve "b" katsayılarının hesaplanması ile ilgili tablo .....	128

## ÖZET

Bu çalışmada ponza taşı hafif agregası kullanılarak üretilen iki farklı birim ağırlıktaki hafif betonun değişken yükler altında ve yüksüz durumdaki zamana bağlı davranışları incelenmiştir. Yalnız işlem sıcaklığı değişken tutulan bu betonlardan 1.Grup birim ağırlıkta  $40^{\circ}\text{C}$ ,  $60^{\circ}\text{C}$ ,  $70^{\circ}\text{C}$  ve  $95^{\circ}\text{C}$ , 2.Grup birim ağırlıkta ise  $50^{\circ}\text{C}$  ve  $80^{\circ}\text{C}$  de ıslı işlem uygulanmış ve ayrıca her iki grup betondan  $20^{\circ}\text{C}$  de normal ortam sıcaklığında olmak üzere toplam 8 seriden oluşan beton üretilmiştir.

Çalışmada önce farklı işlem sıcaklığı uygulanmış, hafif betonların sünmesi değişken gerilmeler altında deneysel olarak bulunmuştur. Daha sonra seçilen bir logaritmik sünme fonksiyonuna bu deney sonuçları uygulanarak denklemdeki "a" ve "b" katsayılarının yükleme yaşı ile olan değişimi saptanmıştır. Sünme deneylerinde her yaştaki beton basınç dayanımının  $1/3$ ünün altında kalınarak gerilme uygulanmış ve lineer viskoelastik bir varsayımla süperpozisyon ilkesinden yararlanılmıştır. Bulunan bu katsayıların logaritmları ile yükleme yaşıının logaritması arasında iyi bir korelasyon olduğu görülmüştür.

Logaritmik sünme fonksiyonu yükleme yaşından bağımsız hale getirilerek "k" katsayıları ile ifade edilmişdir. Bu katsayılar tüm seriler için hesaplanmış ve beton kür koşullarıyla olan ilişkisi grafik olarak gösterilmiştir. Kurulan bu ilişkiden yola çıkılarak, herhangi bir işlem sıcaklığında tutulan betonun sünmesi yükleme yaşına bağlı olarak iyi bir yaklaşımla tahmin edilebileceği gösterilmiştir. Değişken gerilmeler altındaki hafif betonun uzun süreli yüklemelerdeki davranışını üzerine ıslı işlemin etkisi, kısa süreli yüklemelerdeki aynı beton özelliklerine olan etkisi ile benzerlik gösterdiği sonucuna varılmıştır.

Ayrıca bu betonların yükleme yaşında basınç dayanımları ile elastisite modüllerinin işlem sıcaklığı ile bilinen ilişkisi vurgulanmış ve bu betonların rötre deformasyonları deneysel olarak bulunarak irdelenmiştir.

Çalışmada varılan sonuçlar tablo ve şekiller halinde verilecek değerlendirilmiş ve irdelenmesi yapılmıştır. Deney sonuçları ile kullanılan bağıntılar arasında iyi bir ilişkinin olduğu saptanmıştır. Diğer deney sonuçları da değerlendirilmiş olup Bölüm 5 de bulunan sonuçların kısa bir özeti verilmiştir.

## S U M M A R Y

### INFLUENCE OF HEAT TREATMENT ON THE TIME DEPENDENT BEHAVIOR OF LIGHTWEIGHT CONCRETE UNDER VARIABLE STRESSES

Although a number of investigations have been carried out on the short term behavior of concrete, in practice, concrete structure is subjected to long term loading rather than short term loading. Under long term loading, strain increases with time. Hence, concrete exhibits time dependent behaviors which are called creep and shrinkage. The calculations of creep and shrinkage are especially important for prestressed concrete structures. There is no sufficient information about the long term creep behavior of concrete under variable stresses. Also, very little information is available on the effect of the acceleration of hardening on the long term loading of concrete. Since concrete is a widely used material in structural engineering, we need sufficient information about the creep of concrete for different curing conditions under variable stresses. This information is especially needed for both the further analysis of concrete and better understanding of the material behavior.

Today's construction industry is making use of prefabrication to speed up construction of residential structures. To be able to provide fast production, acceleration of hardening in concrete is required. Creep experiments are also time consuming under normal curing conditions. For this purpose, the widely used method is heat treatment. The application of heat treatment to concrete provides an early resistance, the construction elements thus obtained begin to carry service loads. Accelerated tests exhibit the fast increase in concrete resistance during early ages, at later stages heat treatment causes a reduction in the compressive strength compared to that of normal curing condition at 20 °C.

Normal concrete is used mainly for structural purposes. High unit weight of normal concretes pose some problems in their production and application.

The use of lightweight concretes especially in residential structures is of great practical importance owing to their superiority over normal concretes in respect of thermal insulating properties. The structural lightweight aggregate concretes are obtained by substituting the normal concrete aggregate with lightweight aggregate. If lightweight concrete is used, the decrease which is about 25 % of the total weight of structural system causes a decrease in the forces induced by earthquake. Hence, it is understood that the use of lightweight concrete is a good solution in the construction of buildings which are resistant to earthquake. Lightweight concretes are preferred for many advantages compared to normal concrete and used in structures except in construction elements where high strength is required.

Natural pumice lightweight aggregates brought from Nevşehir-Göreme region were used. Pumice, volcanic tuff, and volcanic cinders are the most abundant natural lightweight aggregates in Turkey. Eastern and central Anatolia, especially, have great pumice reserves. It is known that natural lightweight aggregates have lower strengths and durabilities compared with artificial ones. In spite of this, it is possible to produce moderate strength semilightweight concrete when lightweight aggregate is combined with normal aggregates. Moreover, structural lightweight and insulating concrete (walls and panels) can be produced if necessary precautions against moisture effects are taken. The use of pumice aggregate in residential constructions at cold weather regions provides good results in thermal insulation and in the reduction of air pollution.

In this study the maximum particle size, the grading and the cement content of concrete were kept constant. Concretes cast were in two different densities, hence effective water content and unit weights were varied. In both mixes, the composition of concrete was kept constant. Concretes that have a certain curing cycle consist of eight series. For all series, the application of the heat treatment, the initial waiting time, heating rate and the cooling rate are two hours; 25 °C/hour and 10 °C/hour, respectively.

In the first group of concretes the heat treatment temperatures were kept at 20 °C, 40 °C, 60 °C, 70 °C and 90 °C. On the other hand, in the second

group concretes the heat treatment temperatures were 20 °C, 50 °C and 80 °C.

In this study after a certain heat treatment is applied, the creep of lightweight concrete has been experimentally measured under variable stresses. A logarithmic creep function is described to represent the creep of concrete under constant stress. The creep behavior of concrete with time varying mechanical properties under variable stresses has been calculated assuming a linear viscoelastic material. Then, the variation of the coefficients of this function with the age of loading are experimentally determined.

The study consists of five parts.

In the first part, an introduction is made to the subject of the investigation, definitions of some relevant terms and properties of lightweight aggregate are given. The influence of the heat treatment on the properties of concrete are explained.

Literature review dealing with the creep function of concrete are given, especially the creep behavior concrete under variable stresses is elaborated and a general evaluation of these works are made.

The second part is devoted to experimental work. The tests carried out on the materials used, the principles assumed, the concrete produced are listed and the main lines of the long term tests carried out on the hardened lightweight concretes are explained.

In the third part, experimental results are given. The results obtained from the short term and long term loadings are tabulated in the tables and are shown in the figures.

In the fourth part, the experimental results are discussed and evaluated. In this part, the variations of both compressive strength and modulus of elasticity with the age of loading are examined. Results obtained reveal that the heat treatment increases the strength of concrete parallel to the applied temperature in the early age of concrete, whereas, strength loss related to control specimens

is observed in the later ages. The same results are obtained between the modulus of elasticity and the age of loading of concrete. Creep experimental results are deeply examined in this part. Then, the shrinkage deformations are discussed and evaluated.

In fifth part, the conclusions are summarized. In this part, an overall evaluation of results obtained is made and suggestions are given for future research.

The conclusions which may be drawn from the present study as follows;

- 1) There was no segregation in fresh lightweight concrete,
- 2) Compressive strength and modulus of elasticity increase at early ages when heat treatment is applied, decrease in potential resistance values are seen in comparison to cured control specimens, in normal environmental conditions. This decrease varies with the unit weight of concrete.
- 3) A logarithmic expression is chosen as the creep function to express the time dependent behavior of concrete under variable stresses. In this creep function as shown below coefficient of (a) shows instantaneous strains, and (b) represents time dependent strains.

$$\varepsilon(t) = \sigma_0 \cdot \phi(t)$$

$$\phi(t) = a + b \log_e(t + 1)$$

- 4) In the creep function, the coefficients (a) and (b) both decrease with the age of loading: (b) showing a higher rate of decrease than (a). There is a good correlation between the logarithm of the age of loading and the logarithms of (a) and (b). Thus, the creep function may be expressed in terms of the age of loading and temperature of heat treatment as below.

$$\phi(t, \tau, T) = a(\tau, T) + b(\tau, T) \cdot \log_e(t - \tau + 1)$$

5) Time dependent coefficients (a) and (b) of the logarithmic creep function can be expressed in terms of (k)'s which do not depend on the age of loading. It is also observed that there is a good relation between (k)'s and the temperature of the heat treatment process.

$$a = k_1 \cdot T^{k_2} \quad b = k_3 \cdot T^{k_4}$$

$$k_1 = k_1(T), \quad k_2 = k_2(T), \quad k_3 = k_3(T), \quad k_4 = k_4(T)$$

(Figs. 4.18, 4.19, 4.20, 4.21).

6) Using these coefficient, (a) and (b) were predicted for a certain heat treatment. To be able to check the heat treatment at 60 °C which are not included in the calculations of the parameters, both experimental and theoretical results show good agreement at this temperature.

t(day)		1	25	53	81	110	140
Experimental .10 <sup>-6</sup>	a	140.62	68.17	57.57	52.33	48.85	46.27
	b	133.43	36.65	27.11	22.86	20.22	18.35
Theoretical .10 <sup>-6</sup>	a	137.24	69.23	64.05	47.83	53.53	41.76
	b	127.85	38.28	29.62	25.63	19.30	15.70

7) At a certain temperature, there is no need to carry out tests for the intermediate ages of loading for the proposed method. Therefore, once the creep function for a certain lightweight concrete is determined its creep under variable stresses can be computed.

The theoretical predictions obtained using the proposed method were found to be in good agreement with the experimental results. Hence, it can be said that, assuming concrete to be linear viscoelastic material under service loads, this will not lead to a significant error.

## BÖLÜM 1 - GİRİŞ

Günümüz yapı endüstrisinde hızlı nüfus artışını karşılamak için konut üretiminde prefabrikasyona yönelmiştir. Bu yapı sistemi klasik yapı sistemine göre daha kısa sürede konut yapımına olanak vermektedir. Prefabrikasyonun gerektirdiği hızı sağlayabilmek için beton ve betonarme yapı elemanlarının erken dayanımının yüksek olması gerekmektedir. Erken dayanımın yükseltilmesi için bu konuda çeşitli araştırmalar yapılmış ve değişik yöntemler geliştirilmiştir. Bu yöntemler özetlenecek olursa; beton karışımına kristal çekirdekleri katmak, özel çimentolar kullanmak, priz hızlandırıcı ve akışkanlığı artırıcı katkılar kullanmak ve ısıl işlem uygulamaktır. Bu yöntemlerin biri veya birkaçı birarada kullanılarak betona erken dayanım kazandırılır. ısıl işlem yönteminin içerisinde en yaygın olarak kullanılan atmosferik buhar basıncı altında sıcaklığı artırma yöntemidir. Bu suretle, üretimde en önemli özellikler olan yüksek olmayan maliyet, kaliteli üretim ve üretilen ürünlerin kısa sürede hizmete sunulması ile teknolojik verimlilik gerçekleştirilebilmiş olur.

Diğer taraftan, bilindiği gibi normal beton yapı mühendisliğinde çok yaygın uygulama alanı bulan bir malzemedir. Bu beton iyi bir taşıyıcı malzeme olmasına karşın birim ağırlığı dolayısıyle yapı açılığı fazla olup yapının ısı iletkenlik ve ses emme katsayıları oldukça yüksektir. Normal betonun birim ağırlığının azaltılmasıyla daha hafif yapı elemanları üretmek mümkündür. Yapı ağırlığının azalmasıyla deprem etkilerine karşı daha dayanıklı konutlarin yapılması gerçekleştirilmiş olur. Ayrıca yapı fiziği Özellikleri (ses emme, ısı yalıtımı gibi) iyileştirilmiş

bir yapı ortaya çıkar [1,2]<sup>\*</sup>.

Yurdumuz hafif agregat doğal kaynakları içerisinde en bol ve en yaygın bulunanı ponza taşı hafif agregasıdır. Bu malzemenin orta ve doğu Anadolu'da oldukça büyük rezervi vardır. Üretiminde fazla bir enerjiye gereksinim göstermemesi ve bolca bulunması bu malzemenin hafif beton üretimeinde kullanılma olanaklarını artırmakta ve ekonomik yönden değerlendirilmesi sağlanmış olmaktadır. Ponza taşının prefabrikasyonda kullanılmasıyle konut sektöründe enerji tarsarufu yönyle büyük yararlar sağladığı gibi, ülkemizin deprem kuşağında olduğu düşünüldüğünde ileriki bölgelerde açıklanacağı üzere deprem etkilerine karşı daha dayanıklı yapıların oluşturulmasında olumlu bir çözüm sağlamaktadır. Birçok araştırmada belirlenen bu üstün yararları yanında bazı sakıncaları olmakla birlikte orta sınıf dayanıklı betonlarda kullanılması önerilmektedir [3].

Betonun ilk yaşlardaki dayanımını artırmak için uygulanan ısıl işlem erken yaşlardaki dayanımını artırırken ileri yaşlardaki dayanımını ısıl işlem uygulanmamış betonlara kıyasla azaltabileceğinin birçok araştırıcı tarafından ortaya konmuştur [4,5]. Öte yandan ısıl işlem uygulamasının hafif betonun sünmesi üzerindeki etkileri tam olarak bilinmemektedir. Bu betonların sürekli yük altında normal betondan farklı bir davranış gösterdiği bilinmektedir. Hafif betonun yaygınlaşmaya başlaması ile birlikte yapı mühendisliğindeki önemide gün geçtikçe artmış ve betonun gerilme - deformasyon bağıntısı üzerine zamanın etkisinin bilinmesi kaçınılmaz bir hal kazanmıştır.

Yapılarda beton genellikle basamaklı değişken sabit yükler altında kalmaktadır. Sünme denilen sabit gerilme altında zamanla meydana gelen deformasyon, yüklemesiz serbest

---

\* Parantez içinde verilen sayılar yayın listesinde sunulan referans numaralarıdır.

halde zamanla oluşan rötre deformasyonundan farklıdır. Bu iki karekteristik beton özelliğinin başta öngerilmeli beton olmak üzere birçok beton ve betonarme yapıda bilinmesi istenmektedir. Bunun bilinmesi ise uzun zamanı gerektirmektedir. Kısa süreli deneylerden farklı olarak burada sonuçların elde edilmesi için gelecek süre üretimi geciktirecek ve işin aksamasına neden olacaktır. Bunun için hafif betonların sünme ve rötresinin önceden tahmin edilmesi gereklidir.

Yukarıda anlatılan gerekçelere dayalı olarak, ısıl işlem uygulamasında işlem sıcaklığının bu yöndeki hafif beton özelliklerini ne yönde değiştirdiğini belirlemek üzere bu deneysel çalışma gerçekleştirılmıştır. İki farklı birim ağırlıkta hafif beton üretilerek, değişik iki granülometri-deki beton üzerinde araştırma yapılmıştır. Bu araştırmada değişken gerilmeler altında, sünme deformasyonları deneysel olarak bulunduktan sonra bulunan sonuçları ifade etmek için logaritmik bir fonksiyon seçilmiş ve bu fonksiyondaki kat-sayıların yaşla değişimi saptanmıştır. Bu değişim belirlendikten sonra herhangi bir yaştaki betonun yapacağı sünme deformasyonunun işlem sıcaklığına bağlı tahminine çalışılmıştır. Ayrıca bu betonların rötre deformasyonları da bulunmuştur.

Sonuç olarak, uzun süreli yüklemelere maruz betonun toplam deformasyonunun hesaplanması, buradan beton ve öngerilmeli beton elemanlarının boyutlandırılmasında kullanılmak üzere sünme deformasyonlarının bilinmesine yardımcı olur.

### 1.1. Genel Bilgiler

#### 1.1.1. Hafif betonların özellikleri ve prefabrikasyon

Normal beton, konut sektöründe çok yaygın uygulama alanı bulan bir malzeme olmakla birlikte hızlı konut üretiminde istenen ihtiyaca yeterince cevap veremediği

bilinmektedir. Yeterli kalite ve uygun maliyette konut üretmek ancak endüstrileşme ile mümkündür [3,4].

Daha kısa süre içinde fazla sayıda üretim yapmak olan endüstrileşmenin, makinalaşma, standardizasyon ve prefabrikasyon ile mümkün olabileceği anlaşılmıştır [5]. Makinalama, daha az insan gücüne gereksinim gösteren ve kalite kontrolünü sağlayan bir yöntemdir. Standardizasyon, yapı elemanlarının boyutlarını gelişigüzelikten kurtararak bir sisteme bağlanması ile üretimi kolaylaştırarak hem maliyet, hemde kalite yönünden iyileştirilmesidir. Prefabrikasyon, yapı elemanlarını fabrikada üreterek şantiye çalışmalarının bu elemanların montaj çalışması haline dönüştürülmesidir [6].

Endüstrileşmenin en önemli safhası olan prefabrikasyon geleneksel yapım yöntemlerinden çok farklı olup ileri teknolojinin bir aşaması olduğu genel olarak kabul edilmektedir. Bu üretim yöntemi ile konut yapımında mevsimin getirdiği olumsuz koşullardan fazla etkilenmeden yapım çalışmalarını sürekli kazanmaktadır. Prefabrikasyonda, üretilen elemanların taşıma sorunu önemli bir maliyeti oluşturmaktadır. Bu harcamaya etki eden faktörlerden biri taşınacak uzaklık ise diğer önemli etken taşınamak elemanın boyut ve ağırlığıdır. Bu maliyetin düşürülmesi ancak aynı hacimdeki elemanın ağırlığını azaltmakla olur. Bu amaçla değişik yöntemlerle gerçekleştirilen prefabrik hafif beton yapı elemları üretilmektedir. Hafif betonların kullanılması taşıma masraflarını azalttığı gibi inşaat sahası içinde beton elemanların vinç ile taşınabileceği mesafeler artmakta ve bunların yapıda montajı kolaylaşmaktadır.

Hafif betonların prefabrikasyondaki üstünlüklerinin yanında başka üstünlükleri de vardır [7];

a) Ağırlığın azalması ile sabit yükten dolayı oluşan üstünlükler;

- Bina ağırlığı azalarak taşıyıcı elemanların (kiriş, kolon, temel) kesit boyutları küçük yapılabilir.

- Temel maliyeti azalır.
- Betonarme elemanlardaki donatı azalır.
- Kalıp ve iskele yapımı ile takviyesi kolaylaşır, maliyeti azalır.
  - Betonun kalıbına taşınması ve yerleştirilmesi kolaylaşır, bu masraflarda ekonomi sağlar.
  - Deprem etkilerine karşı güvenliği daha yüksek olup, binada meydana gelecek deformasyonları çatlamadan izler (enerji yutar).
- b) İç yapısının boşluklu olmasından ileri gelen üstünlükler;
  - Isı yalıtım değeri daha yüksektir, enerji tasarrufu sağlar.
  - Sese karşı daha yalıtkan olduğu söylenebilir.
  - Yangına karşı dayanımı normal betona kıyasla daha iyidir.
  - Soğuk iklim bölgelerinde ve özellikle donma-çözülme olayının sık tekrarlandığı bölgelerde don etkisine karşı daha dayanıklıdır.

Hafif betonların, normal betonlara göre sakıncaları;

- a) Hafif agregalar, normal agregalar kadar yaygın bulunmadığından, belli yörelerden temin edilen bu agregaların fiyatı daha pahalıdır.
- b) Hafif agregaların birim ağırlıklarının düşük olması nedeni ile betonda normal agregalarla birlikte kullanılması halinde taze beton içinde ayrışma olasılıkları daha yüksek olacaktır. Bu da betonun üretim kademelerindeki işlemlere daha çok özen gösterilmesini gerektirir. Yüksek dayanımlı beton elde etme olanağı zayıftır.
- c) Neme karşı yalıtım gerektirir.
- d) Hafif betonların elastisite modüllerinin düşük olması nedeni ile yük altında fazla deformasyon yaparlar.
- e) Aşınmaya karşı dayanımı düşüktür.
- f) Düşük çekme dayanımına sahip olduğu için daha fazla kayma donatısına gereksinme olur.
- g) Sünme ve rötre değerleri normal betondan daha yüksektir. Fakat çekme dayanımı / basınç dayanımı oranının daha fazla olması dolayısıyle rötre süresince çatlama meydana

gelme olasılığı daha düşüktür.

Hafif betonların sakıncaları yanında faydalarının daha baskın olması nedeniyle özellikle duvar panoları, beton bloklar başta olmak üzere yüksek dayanım gerektirmeyen yapı elemanlarında kullanılması oldukça yaygınlaşmıştır.

#### 1.1.2. Hafif betonların sınıflandırılması

Betonun birim ağırlığının azaltılması genel olarak üç şekilde yapılır. Bunlar;

- Normal ağırlıklı agreya yerine boşluklu olan doğal veya yapay hafif agregaların kullanılmasıyle elde edilen hafif beton.

- Beton içinde fiziksel veya kimyasal yolla büyük mikarda boşluk oluşturarak üretilen gaz ve köpük betonlar.

- Betonun ince agregasını çıkarmak yoluyla üretilen kumsuz betonlar [1, 7, 8, 9, 10, 11, 12].

Her üç yöntemle hafif beton üretiminde amaç, beton içinde boşluk oluşturmaktır. Ancak boşluk oluşturma ya harç içinde ya iri agreya daneleri arasında yada agreganın içinde yapılır.

Hafif betonların sınıflandırılması, genellikle birim ağırlık ve dayanım koşuluna göre yapılmaktadır. ASTM C-330-69'a göre birim ağırlığı  $1840 \text{ kg/m}^3$  'ü geçmeyen ve silindir basınç dayanımı  $17 \text{ N/mm}^2$  'yi aşan betonlar hafif beton sınıfına girerler [13]. DIN 1045 'e göre ise birim ağırlığı  $2000 \text{ kg/m}^3$  'ün altında olan betonlar hafif betondur [14]. Ülkemizde taşıyıcı hafif beton, kuru birim ağırlığı  $1900 \text{ kg/m}^3$  den az olan betonlardır. Taşdemir [7], hafif betonlarla ilgili araştırmasında, taze beton birim ağırlıklarına göre betonları daha sık aralıkta aşağıdaki gibi sınıflandırmıştır;

- Hafif betonlar: Birim ağırlık  $\leq 1900 \text{ kg/m}^3$

- Yarı hafif betonlar:  $1900 \leq \text{Birim ağırlık} < 2100 \text{ kg/m}^3$
- Hafif agregali normal betonlar:  $2100 \leq \text{Birim ağırlık} < 2300 \text{ kg/m}^3$
- Normal betonlar:  $\text{Birim ağırlık} \geq 2300 \text{ kg/m}^3$

TS 3234 [15] de ise bimsbeton için alt sınır  $1000 \text{ kg/m}^3$  (B40) ve üst sınır  $1300 \text{ kg/m}^3$  (B160) olarak verilmektedir, TS 2828 Eylül 1986 'da [16] bimsbetondan mamul yapı elemanları için, yapı elemanın tipi, türü ve cinsine bağlı olarak en büyük birim hacim ağırlığı, basınç dayanımının minimum ve ortalama değerleri verilmektedir. Bu değerler boşluklu bloklar, dolu bloklar ve asmolen bloklar için ayrı ayrı belirtilmiştir.

Fonksiyonlarına göre hafif betonlar üç ayrı gruba ayrılmaktadır [1,12];

- a) Yalıtım betonları
- b) Orta dayanımlı betonlar
- c) Taşıyıcı betonlar

Hafif beton üretiminde başvurulan yöntem, betonun kullanımındaki fonksiyonuna göre hafif aggrega ile birim ağırlığı istenen düzeyde tutmaktadır.

**1.1.3. Hafif agregaların sınıflandırılması ve ülkemizin hafif agregalar yönünden durumu**

Hafif beton üretiminde doğal veya yapay olarak elde edilen hafif agregalar kullanılmaktadır. Spratt [17], hafif agregaları oluşumlarına göre genel olarak aşağıdaki gibi sınıflandırmıştır;

- a) Doğal hafif agregalar: Ponza taşı, volkanik tuf, volkanik cüruf ve diatomit [18].
- b) Doğal malzemelerle üretilen yapay hafif agregalar: Genleştirilmiş kil, sist, perlit, arduvaz.
- c) Endüstriyel artıklardan oluşan hafif agregalar: Yüksek fırın cürufu, uçucu kül.
- d) Endüstriyel artıkların işlenmesiyle üretilen hafif agregalar: Genleştirilmiş cüruf, genişletilmiş uçucu kül.
- e) Polimer kökenli malzemeler: Stropor.
- f) Organik malzemeler: Ahşap yongası, hizar talaşı.

Hafif agregalar, birim ağırlıkları bakımından kullanım amacına bağlı olarak şu şekilde sınıflandırılmıştır [7];

Hafif agreganın birim ağırlığı ( kg/m <sup>3</sup> )	Üretilen beton türü
$\Delta < 400$	Yalıtım betonu
$400 \leq \Delta < 650$	Yalıtım ve taşıyıcı beton
$\Delta \geq 650$	Taşıyıcı beton

Doğal olanlarından ponza taşı hafif agregası orta ve doğu Anadolu'da oldukça büyük rezervi vardır. Bunlarla ilgili geniş araştırma Sükan ve Ermutlu tarafından yapılmıştır [18]. Ponza taşı hafif agregası eski Roma'lilar zamanından beri kullanıldığı bilinmektedir. Yer altında erimiş lavların soğuması sırasında oluşan gazların meydana getirdiği

boşluk nedeniyle agrega boşluklu bir yapıya sahip olur. Farklı geometrik biçimlerde olan bu boşluklar birbirleriyle kısmen bağlantılıdır. Amorf bir yapıya sahip ponza taşı yaklaşık %75 boşluk içermektedir [20, 21, 22, 23]. Bu agregaların iklimi soğuk olan bu yörelerde bulunması enerji tasarrufu yönünden iyi bir çözüm sağladığı gibi, deprem kuşağı içerisinde yer alan bu bölgelerde deprem güvenliği yüksek konutların yapılmasına olanak verir. Ponza taşı hafif agregası ile üretilen betonlar taşıyıcı betonlar olarak kullanılabileceği gibi ısı ve ses yalıtımı gibi önemli bir fiziksel özelliğe sahip olmasıyla de beton duvar panoları, beton blokları olarakta üretilip kullanılabilir. Ayrıca ponza taşının öğütülmesi ile elde edilen puzolanlar çimentoya ikame maddesi olarak kullanılabilir ve böylece çimentonun üretim malyetini kısmen düşürür. Bu malzemenin ülkemizde yaygın olarak kullanımını henüz ileri bir aşamada değildir.

Bu çalışma, ponza taşı agregalı hafif betonun yukarıda belirtilen kullanımındaki olumlu yönleri nedeni ile henüz tam olarak bilinmeyen özelliklerinden yüklü ve yüksüz durumdaki zamana bağlı davranışının bilinmesine katkı sağlamak amacıyla yapılmıştır. Ülkemizde bu agrega ile yalnız prefabrik duvar blokları ve asmolen bloklar üretilmektedir [22,24]. Yeni imar yönetmeliği gereği dış duvarlarda istenen ısı yalıtımını sağlamak açısından agremanın bu yönde de değerlendirilmesi kullanımını ülkemizde yaygınlaştırmaya başlamıştır. Bu agrega kullanılarak farklı birim ağırlıkta üretilen betonlar, yapının taşıyıcı kısmında yeterli bir dayanımla kullanımının yanısıra fiziksel özellikleri iyileştirilmiş yapıların yapılmasına da olanak verir. Malzemenin bolca bulunduğu yörelerde kurulacak sanayi tesislerinde prefabrik yapı elemanlarının üretilmesiyle, ısı tasarrufu yönünden büyük yararlar sağlanacaktır [25,26,27,28].

1.1.4. Betona erken dayanım kazandırma yöntemleri ve atmosferik basınç altında buhar kürü

Beton dayanımının erken kazanması ve servise konulması hızlı endüstrileşmenin bir sonucudur. Çeşitli yöntemler uygulanarak betona erken dayanım kazandırılır [29,30]. Bu yöntemlerle beton borular, kanaletler, duvar elemanları, beton panolar, öngerilmeli betonarme elemanlar gibi çeşitli yapı elemanları üretilmektedir. Betona erken dayanım kazandırmada kullanılan yöntemler aşağıda verilmiştir [ 3,29 ] .

- 1) Priz hızlandırıcı ve akışkanlığı artıracı katkılar kullanmak.
- 2) Isıl işlem uygulamak (atmosferik basınç altında).
- 3) Yüksek basınç altında sıcaklığı artırmak.
- 4) Kristal çekirdekleri kullanmak (Jerm metodu).

Bu yöntemlerden en çok kullanılanı doygun buhar ortamında sıcaklığın artırılması olan isıl işlemidir. Yukarıda belirtilen isıl işlem yöntemleri arasındaki teknolojik farklar, uygulama alanlarını ve ekonomik verimliliklerini etkiler. Ancak isıl işlemlerin çimentonun hidrasyon reaksiyonları ve beton özellikleri üzerine gösterdiği etkilerde farklılık yaratmamaktadır. Bu nedenle bu yöntemlerden "Isıl işlem," terimi kullanılarak bahsedilecektir [ 31 ] .

Betona kalıpta isıl işlem uygulaması fiziksel yönden şu şekilde gruplandırılır [ 32, 33 ] .

- I. Isı transferi ile ısı uygulaması.
  - a) Doygun buhar ile ısı transferi
  - b) Sıcak hava ile ısı transferi.
- II. Kondüksiyon yolu ile ısı transferi.
- III. İşıma yolu ile ısı transferi.

Bu araştırmada, en yaygın olarak kullanılan yöntem esas alınmış ve bu yöntem kullanılmıştır.

Buna göre doygún buhar altında ısı transferi ile dış ısıtma uygulamasıdır. Bu yöntemle verilen ad "Atmosferik basınç altında buhar kürü"dür.

Isıl işlemler teknolojilerinden çok uygulama prensiplerine göre aşağıdaki gibi sınıflandırılabilir [31, 34] .

I. Betonun yerleştirilmesinden önce ısıtılması.

a) Betonu oluşturan karmasuyu ve/veya agreganın ısıtılması.

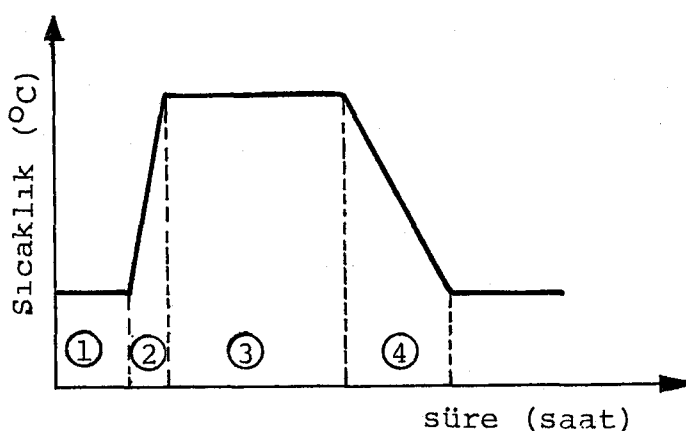
b) Taze betonun ısıtılması.

II. Betonun yerleştirilmesinden sonra elemanın ısıtılması.

a) İç ısıtma.

b) Dış ısıtma (Buhar kürü, sıcak hava, basınçlı buhar kürü, yağ kürü vb.).

Basınçlı buhar kürü dışındaki bütün isıl işlem yöntemlerinde sıcaklık  $100^{\circ}\text{C}$  'nin altında kalmakta ve elde edilen hidrasyon ürünleride farklı olmamaktadır [30, 34, 38] . Betonun kalıbına yerleştirilmesinden sonra doygún buhar ortamında uygulanan isıl işlem çevrimi şekil 1.1 'de görüldüğü gibi aşağıdaki dönemleri içerir [31, 35, 36, 37]



Şekil 1.1. Isıl işlem çevrimi

### 1. Ön bekleme dönemi

Üretilen elemanların kalıplanma işleminin tamamlanmasından ısıtmanın başlamasına kadar geçen süredir. Bu dönemin parametreleri sıcaklık ve üretimden sıcaklık başlangıcına kadar geçen süredir.

### 2. Isıtma dönemi

Elemanların istenen bir hızla belirlenen maksimum sıcaklığına kadar yükseldiği dönemdir. Bu döneme ait parametre sıcaklığının artış hızıdır.

### 3. İşlem dönemi

Elemanların belirlenen maksimum sıcaklıkta tutulduğu dönemdir. Maksimum sıcaklık (işlem sıcaklığı) ve tutulduğu süre bu dönemin parametreleridir.

### 4. Soğutma dönemi

Isıtmadaki işlem dönemi sonu erip elemanların istenen bir hızla ortam sıcaklığına indirildiği dönem olup soğutma hızı bu dönemin parametresidir.

### 5. İşlem sonrası dönem

Elemanların depolandığı ortamdan kullanıma kadar geçen süredeki sıcaklığıdır. Bu dönemde nem ve sıcaklık elemanlara etkiyen parametreleridir.

Betona erken dayanım kazandırma yöntemi uygulanarak;

- Üretime süreklilik kazandırarak, iklim koşullarının getirdiği olumsuz durumlardan kurtulmak,
- Yapıda kalıp alma süresini kısaltarak, kalıbı daha rasyonel şekilde kullanmak,
- Öngerilmeli betonlarda öngerme işleminin daha çabuk uygulanmasını sağlamak.
- Üretilen yapı elemanlarının depolarda bekleme süresini azaltarak, daha küçük depolama alanlarına gereksinim

duymak,

- Beton kalite kontrolünün daha kısa sürede yapılması ve sonuçların alınıp değerlendirilmesine olanak sağlamak mümkündür.

İsıl işlem dönemlerini belirleyen parametrelerin değişimine göre isıl işlem çevrimleri üç grupta toplanmıştır [31] :

1- Hızlı (sert) çevrimler: İşlem sıcaklığı  $80-90^{\circ}\text{C}$  arasında ve toplam çevrim süresi 6-7 saat olan çevrimler olup günde üç rotasyona olanak verirler. Ön bekleme süresi en fazla 1 saat, ısıtma ve soğutma hızı  $30^{\circ}\text{C}/\text{saat}$  civarındadır.

2- Orta (ılımlı) çevrimler: İşlem sıcaklığı  $70-75^{\circ}\text{C}$  civarında ve toplam çevrim süresi 9-11 saat olan, günde iki rotasyona olanak sağlayan çevrimlerdir. Ön bekleme süresi 2-3 saat ısıtma ve soğutma hızları  $15-20^{\circ}\text{C}/\text{saat}$  olmaktadır.

3- Yavaş (yumuşak) çevrimler: İşlem sıcaklığı  $60^{\circ}\text{C}$  yi aşmayan ve toplam çevrim süresi 20-22 saat olan çevrimlerdir. Ön bekleme süresi 4 saat, ısıtma ve soğutma hızları  $10^{\circ}\text{C}/\text{saat}$  dolayındadır.

Bazı yaynlarda ise isıl işlem çevrimleri, ön bekleme süresi uzun tutulan, düşük ısınma ve soğutma hızları ile düşük işlem sıcaklığında olanlara "ılımlı", kısa ön bekleme süresi, yüksek ısınma ve soğutma hızları ile yüksek işlem sıcaklığında olanlara ise "sert" isıl işlem çevrimleri olarak iki gruba ayrılmaktadır [36] .

İsıl işlemin amacı kısa sürede betona dayanım kazandırmaktır. Bunun yanında uzun süredeki özelliklerine yapacağı etki göz ardı edilemez. Özellikle yumuşak çevrimlerden sert çevrilmelere geçildikçe ileri yaşlardaki beton özelliklerine isıl işlemin yapacağı etki artar. Genellikle bu etki dayanımında bir azalma olarak görülür ve bunun miktarı

uygulanan ısil işlemin riskini oluşturur. Bu nedenle dayanımdaki bu kaybı asgari seviyede tutmak için beton niteliğine bağlı uygun ısil işlemler seçilmelidir. Bu seçimde birbirine karşıt istemler olan faktörler arasında (süratli üretim, maliyet, dayanım kaybının azlığı) üretilen elemenin kullanımındaki fonksiyonuna bağlı bir denge kurularak optimum ısil işlem çevrimi seçilir [ 29, 31 ] .

Beton bilindiği gibi çimentonun hidrasyonu ile mukavemet kazanır. Hidrasyon olayına etkiyen bütün faktörler dolayısı ile betonun mukavemetini de aynı şekilde etkiler. Hidrasyon reaksiyonu hızlandırmak buna paralel olarak betonun mukavemet kazanma hızı da yükselir. Bu reaksiyonlardaki artış sıcaklığa bağlı olarak ARRHENIUS denklemine uygun şekilde gelişir [ 33 ] ;

$$K = A \cdot e^{-Q/R \cdot T} \quad (1.1)$$

Burada;

K: Reaksiyon hızı

A: Denklem sabiti

Q: Aktivasyon enerjisi (Kal./mol)

R: Gaz sabiti (1.98 kal./mol °K)

T: Mutlak sıcaklık (°K) dir.

Beton erken yaşlarda sıcaklık etkisiyle mukavemeti hızla artarken ortamın yeterince neme doygun olması da gereklidir. Bunu sağlamak için gerekli ısı atmosfer basıncı altında buhar kürü ile uygulanır. Bu kürleme 100 °C nin altındaki sıcaklıklara uygulanan doygun buhar ortamında yapılan kürlemedir [ 35 ] . ısil işlem sırasında ortam neme doyurulduğundan ve betonda buharlaşma en aza indirildiğinden bu yöntemin diğer yöntemlere göre üstünlükleri vardır. Özellikle bu işlem kalıptan kısmen veya tamamen alınmış beton blok ve boru gibi yapı elemanlarında önem kazanır [ 30, 39 ] .

Isıl işlemi etkileyen faktörler aşağıdaki şekilde gruplandırılabilir [ 31 ] ;

- 1- Malzeme özellikleri
  - a) Beton bileşimi
  - b) Betonun yerleştirme ve sıkıştırma olanakları
- 2- Yapı elemanın geometrik özellikleri
- 3- Isıl işlem çevrimi
- 4- Teknolojik veriler
- 5- Saklama koşulları

Bunlar arasında en önemli faktörün isıl işlem çevrimi olduğu bilinen bir durumdur. Bu çevrimin her parametresi beton özellikleri üzerinde etkin olduğu bilinmektedir. Bu-nunla birlikte isıl işlem, küçük boyutlu elemanlarda daha üniform bir ısınma meydana getireceğinden başarı nisbeti yüksektir. Bu elemanlarda ortam ısısının beton kütlesine yayılması daha kolay ve çabuk gerçekleşerek ısınma ve soğutma dönemlerinde beton kütle ısısı ortam ısısını daha yakın izleyecektir. Ayrıca ısının beton içerisinde homogen dağılımından dolayı iç gerilmelerin oluşturduğu çatlamalar nedeni ile mukavemet kaybı azaltılmış olacaktır. Uygulanan isıl işlemin başarı derecesi, erken yaşlardaki dayanım artışına karşı ileri yaşlarda dayanımda azalma göstermemesi olarak nitelendirilir [ 29, 31 ] .

#### 1.1.5. Betonların sünme ve rötresi ile bunlara etki eden faktörler

Beton zamana bağlı olmayan elastik şekil değiştirmelerden başka, bünyesinde çimento hamurunun bulunması nedeniyle önemli derecede zamana bağlı viskoz davranışları da gösterir. Bu viskoz davranışları betonda sünme ve rötre olarak adlandırılır. Sünme denilen olay uygulanan yük altında zamanla artarak oluşan deformasyondur. Rötre ise, betonun kurumakta iken serbest halde yaptığı büzülme şeklinde deformasyondur. Ölçüler bu iki şekil değiştirmenin

toplamını bize vermektedir. Bu nedenle sünme, yük uygulanmış numunenin toplam şekil değiştirmesi ile aynı koşullarda ve aynı yaşta ki numunenin rötre şekil değiştirmesi arasındaki fark olarak kabul edilir. Ancak gerçekte sünme ile rötrenin birbirinden ayrılması çok güçtür. Zaten uygulama da mühendis için önemli olan, belirli bir gerilme altında ani deformasyondan sonra betonun belli bir süre sonunda yapmış olduğu toplam deformasyondur ki, buda rötre ile sünmenin toplamından ibarettir. Bu konuda araştıracıların çoğunlukla benimsediği, rötreyi sünmeden ayırmaksızın birlikte ifade etmek gerekliliğidir (rötreli sünme). Bu çalışmada aynı görüş esas alınarak olaya kısaca "sünme" adı verilecektir. Ayrıca yüksüz olarak betonun yapacağı rötre belirlenecektir.

Beton oda sıcaklığında sünme yapabilen bir malzeme dir. Bu özellik betonun iç yapısından kaynaklanmaktadır. Betonun içinde devamlı olarak gelişme halinde bulunan ve viskoz bir karektere sahip bağlayıcı madde hamurunun yer alması böyle bir durumu meydana getirmektedir. Betonun sünmesine etki eden faktörler bilinmekte ise de bunların karşılıklı etkileşmeleri ve etki dereceleri tam olarak belirlenmiş değildir. Beton yapısının çok karmaşık olması ve karakteristiklerinin zamanla değişmesi bu konudaki inceleme yi güçlendirmektedir [ 40 ].

Beton iç yapı olarak agrega ve çimento hamurundan meydana gelen iki fazlı bir kompozit malzemedir. Çimento, agrega danelerini biradə tutan bağlayıcı malzeme olup betonun zamana bağlı deformasyon yapmasına sebep olan fazdır. Agrega daneleri bu deformasyona katılmadıkları gibi aksi yönde frenlemeye çalışırlar.

Betonların sünmesine etki eden faktörler aşağıdaki gibi sınıflandırılabilir

- a) Betonun bileşimi
- b) Kür koşulları
- c) Yükleme yaşı

- d) Ortam koşulları (sıcaklık ve nem)
- e) Beton elemanının boyutu
- f) Uygulanan gerilme
- g) Zaman

a) Betonun bileşimi

Daha önceki belirtildiği gibi sünme betonun viskoz karekterinden kaynaklanan bir durumdur. Bu karekteri oluşturan beton içindeki çimento hamurudur. Çimentonun cinsi, miktarı ve özellikleri bu deformasyonu etkileyen ve belirleyen en önemli bir parametredir. Bununla birlikte beton içinde çimentonun yaptığı sünmeyi frenlemeye çalışan diğer bir parametre agregatdır. Burada da aggrega danelerinin rijitliği, granülometrisi, bileşimdeki miktarı ve bu miktar içindeki iri aggrega yüzdesi sünmeyi etkileyen aggrega özelikleridir. Bunlardan aggrega miktarı, rijitliği ve iri aggrega yüzdesi arttıkça sünme daha az değer alır. Beton bileşim elemanlarından karma suyu miktarı arttıkça betonun viskoz karekteri gelişerek sünmenin büyük değer almasına neden olur. Yapılan birçok araştırmada sünme üzerinde su ve çimento miktarlarını ayrı ayrı düşünmek yerine su/çimento oranının etkisinin daha belirgin olduğu ve sünmenin bu oranın karesiyle orantılı olarak arttığı belirtilmektedir. Benzer şekilde bazı araştırmacılar sünmeyi beton bileşimine bağlı olarak farklı bağıntılar kullanarak ifade etmişlerdir [41,42,43].

b) Kür koşulları

Beton üretildikten deneye alınacağı ana kadar geçen süre içerisinde tutulduğu ortam koşulları (kür koşulları) betonun sünmesi üzerinde çok etkin bir rol oynar. Taze betonun saklandığı ortamın sıcaklık derecesi ve rutubeti betonun kısa ve uzun süredeki özelliklerine önemli etki yaparak belirgin değişikliğe uğratır. Isıl işlem uygulaması betona kısa sürede dayanım kazandırdığı gibi sünmesinde %50 ye varan oranda azaltabilmektedir [29]. Sünmeyi etkileyen önemli faktör yükleme yapıldığı zamanda betonda

bulunan bağıl suyun miktarıdır. Bu suyun fazla miktarda bulunması halinde betonun yapacağı sünme ve rötrede fazla olur. Cook, Browne ve Blundell'in [ 44, 45 ] bu konuda yaptığı çalışmalarda betonun yüklemeden evvel tutulduğu kür koşullarının sünme üzerindeki etkilerinin değişim derecelerini incelemişlerdir. Tamamen kurutulmuş betonlar az sünme yaparlar. Fakat ıslıl işlem uygulaması yapılarak kurutulmuş betonların işlem sıcaklıklarının sünme üzerindeki etkileri henüz tam olarak bilinmemektedir. Bu çalışmada hafif betonlarda ıslıl işlem uygulamasının sünme üzerindeki etkileri incelenmiştir.

#### c) Yükleme yaşı

Betonun yüklendiği andaki yaşıının sünme üzerinde önemli bir etkisi vardır. Bu etki beton yaşıının belli bir **değerine** kadar azalarak devam eder. Bu değer aşılıncaya etki önemini kaybeder. Bir  $\sigma$  gerilmesi uygulandığında beton yaşı ne kadar küçükse sünme hızı o kadar fazladır. Bunun nedeni, erken yaştaki betonun rijitliği ileri yaşta ki beton rijitliğine kıyasla daha az olmasındandır. Yani uygulanan  $\sigma$  gerilmesi sabit kalırken  $f_c$  basınç dayanımı, gelişen çimento hidratasyonu ile birlikte artacağından  $\sigma/f_c$  oranı zamanla azalma gösterecektir. Bu bakımdan uygulanan  $\sigma$  gerilmesi yerine  $\sigma/f_c$  oranını kullanmak daha gerçekçi olacaktır. Betonun en son sünme değeri üzerine ilk yükleme esnasında beton yaşıının önemli etkisi vardır. Beton yaşı ne kadar küçükse en son sünme değeri de o kadar fazla olur [ 41 ].

#### d) Ortam koşulları

Beton servise alınıp yükleme yapıldıktan sonra ortamın iki karakteristik özelliği olan sıcaklık ve rutubetin beton özellikleri üzerinde önemli etkileri vardır. Bu konuda yapılan birçok araştırmada rutubeti düşük ve sıcaklığı yüksek ortamda yüklemeye maruz bırakılan betonlarda sünmenin büyük değerler aldığı belirtilmektedir [ 45, 46 ]. Beton içindeki suyun hareketini kolaylaştıran ortam koşulları

betonun sünme ve rötresini artış yönünde etkiler. Betonun viskozitesini artıran sıcaklık belli bir dereceye kadar sünmeyi artırırsada bu kritik değerin ( $70-95^{\circ}\text{C}$ ) üzerinde betonda oluşan çekme gerilmeleri nedeniyle sünmede bir azalma görülür. Sünme deneyleri sabit ortam koşullarında yapıılır. Beton sünmesine etki eden karakteristiklerin etkime dereceleri incelenirken ortamın bu belirleyici etkisi düşünüлerek deney süresince aynı ortam koşulları muhafaza edilerek incelenmelidir[40].

#### e) Beton elemanın boyutu

Buharlaşmayı kolaylaştırın her etken betonun viskoz özelliğini de artırır. Betonun hava ile temas eden yüzeyi ne kadar büyükse buharlaşmanın o denli kolay olacağı ve bu durumda rötre ve sünmenin büyük değerlere ulaşacağı bir gerçekdir. Yüzey alanının bu etkisi hacim / yüzey oranı ile belirtilmektedir. Buradan anlaşılacağı üzere belirtilen oran arttıkça sünme bir azalma gösterecektir. Yani boyut ve kesitçe küçük elemanlarda suyun beton içerisindeinden buharlaşması kolaylaşarak sünme daha büyük değerler kazanır[47] Yapılan çeşitli araştırmalarda boyutun belli bir değerinden sonra bu etki önemini kaybetmektedir. TS 500 'de eleman uzunluğunun 60 cm'den büyük olması halinde kesit boyutunun sünme üzerindeki etkisi kalmadığı kabul edilmektedir. Kuru havada saklanan betonlarda sünmenin mmune boyutlarına bağlılığı daha duyarlıdır.

#### f) Uygulanan gerilme

Belirli bir süre sonunda betonun yapmış olduğu sünme, uygulanan gerilmenin değerine bağlı olacağı bilinen bir durumdur. Gerilmenin belli bir sınırına kadar sünme ile orantılı olacağı yapılan birçok çalışmada ortaya konmuştur. Gerilme ile sünmenin orantılılığını gösteren bu sınır ( $0,30 f_c - 0,70 f_c$ ) arasında değişebileceği ifade edilmiştir[41,48]. Burada  $f_c$  betonun gerilme uygulandığı andaki basınç dayanımıdır. Sünmede Hooke kanunu adı verilen ve gerilme ile sünmenin orantılılığını ifade eden denklem aşağıda verilmiştir;

$$\frac{\varepsilon_s}{s} = \frac{\sigma}{E} \quad (1.2)$$

Burada E, gerilmenin uygulandığı andaki betonun elastisite modülü,  $\sigma$  uygulanan gerilme,  $\varepsilon_s$  ise sünme deformasyonudur. Gerilmenin sünmeye olan etkisinin yanında bir diğer husus yükleme yapıldığı anda betonun sahip olduğu basınç dayanımıdır. Dayanımları farklı olan betonlara aynı gerilme uygulansa bile yapacakları sünme farklı olacaktır. Dayanımı yüksek betonun sünmesi daha azdır. Bu yönyle yüklemedeki gerilme yerine  $\sigma/f_c$  değişkeni cinsinden ifade edilmesinin daha uygun olacağı ve uygulanan gerilmenin tek başına sünme üzerinde belirleyici etken olamayacağı sonucuna varılmıştır [48].

#### g) Zamanın etkisi

Gerilme beton üzerinde sabit tutulurken sünme zamanla bir artış göstermektedir. Sünmenin artış hızı zaman ilerledikçe azalmaktadır. Yapılan çalışmalarda sünmedeki artışla zaman arasında bu ilişkiyi gösteren birçok matematiksel bağıntılar ileri sürülmüştür. Ayrıca bununla ilgili betonun viskoz karekterini yansıtan reolojik modellerden de yararlanılmış ve daha kısa sürede sonuç alınmasına olanak veren bu modeller yardımıyla sünmenin tahminine çalışılmıştır [41, 49, 50, 51]. Beton karekterlerine uygun olarak geliştirilen bu bağıntı ve modellerde sünme deformasyonu ile zaman arasında kurulan iyi bir korelasyonla betonun yükleme yaşına da bağlı olarak herhangi bir zamanda meydana gelen sünme deformasyonunun deneysel sonuçlara yakın kestirilmesi olanak dahilindedir.

Yapılan çalışmalarda betonun davranışını, zamanın fonksiyonu olarak değişik formlarda ifade edilmiştir. Bunlar arasında en yaygın olanları etkin modül, sünme hızı ve süpperpozisyon yöntemleridir [41, 49].

## 1.2. Konu ile İlgili Çalışmalar

### 1.2.1. Atmosferik basınç altında buhar kürünün hafif betonlara etkisi

Değişik ıslık işlem çevrimlerinin normal betonlara etkisi çok sayıda araştırmacı tarafından incelenmiştir [ 52, 53, 54, 55, 56, 57 ] . Buna karşılık hafif betonlarla ilgili çok az sayıda çalışma mevcuttur. Bu çalışmalarında daha ziyade hafif betonların kısa süreli davranışlarına etkileri ele alınmıştır. Uzun süreli davranışının üzerindeki etkilerine ait çalışmalar sınırlı sayıda kalmaktadır. Araştırmalar genellikle genleştirilmiş kil hafif agregatlı ve tek birim ağırlıktaki hafif betonlar üzerinde yapılmıştır. Konu ile ilgili çalışmalar aşağıda özetlenmiştir:

Reinsdorf [ 58 ] , hafif betonlarda ıslık işlem çevrim parametrelerinin beton yapı elemanlarına göre değişimini inceleyerek bazı sonuçlara varmıştır; bunlardan işlem sıcaklığının portland çimentosu kullanılması halinde  $75^{\circ}\text{C}$ , cüruf çimentosu kullanılması ise  $90^{\circ}\text{C}$  ye kadar ıslık işlem uygulamasının beton özelliklerine uygunluk göstereceği belirtilmiştir. Sonuçta ıslık işlem uygulamasında normal ve hafif betonlar için çevrim parametrelerinin sınırlarını vermiştir. Buna göre hafif betonlarda ön bekleme süresinin minimum 1 saat, ısinma hızı maksimum  $33^{\circ}\text{C}/\text{saat}$  ve işlem sıcaklığının başta açıklandığı gibi  $77-82^{\circ}\text{C}$  arasında olmasını önermektedir.

Hanson [ 59 ] , hafif betonlarla ilgili geniş araştırmasında taze birim ağırlığı  $1585 \text{ kg/m}^3$  olan silindirik hafif betonlar üretmiş, ıslık işlem çevrim parametrelerinin her birisini belli aralıklarda değiştirerek ıslık işlem uygulamış ve kürün bitiminden sonra 7 ve 28 günlük basınç deneyi, 18 saat ve 28 günlük elastisite modülü tayini ile yarma-çekme deneyleri yapmıştır. Bulduğu sonuçlara göre yüksek üretimli precast plentlerinde ön bekleme süresini 3-5 saat, ısinma hızını  $22^{\circ}\text{C}/\text{saat}$  ve maksimum sıcaklığı  $66^{\circ}\text{C}$  ve ilerisinde almanın maksimum dayanım için olumlu sonuç vereceğini belirtmiştir.

Short ve Kinnburgh [60] , yaptıkları bir çalışmada atmosferik basınç altında buhar kürünü  $60-80^{\circ}\text{C}$  sınırları arasında uygulamanın, ön bekleme süresinin 3 saat civarında olmasını gerektireceğini, ortam sıcaklığını geriden izleyen betonun sıcaklığının  $70-80^{\circ}\text{C}$  de bir denge sıcaklığına erişildiğinde buharın kesilmesi gerektiği ifade edilmiştir. Sonuçta buharın kesilmesi ile sıcaklığın 3-5 saat civarında düşeceği ve ıslanma periyodunun ise 16 saat sürecegi öne sürülmüştür.

Uluslararası Beton Komitesi (CEB) ve Uluslararası Öngerilmeli Beton Birliğinin hazırladığı hafif agregalı beton yayınında [61] , hafif betonların daha düşük ısı kapasitesi ve daha büyük ısı yalıtım özelliğinden dolayı, normal betonlara kıyasla daha etkin buhar kürü uygulanabileceği belirtilmiştir.

Soroka ve Jaegerman [62] , cüruf hafif agregalı hafif betonlarda ısıl işlem çevrimi olarak, 1 saat ön bekleme süresinden sonra  $60^{\circ}\text{C}$  de 3-5 saat ve  $80^{\circ}\text{C}$  de 2-4 saat kürleme uygulamıştır. Bulduğu sonuçları normal betonla kıyaslayarak incelemiştir. Buhar kürünün rötreyi her iki betonda azalttığını, hafif betonun rötresinin normal betona göre daha yüksek olduğunu öne sürmüştür.

Karagüler [3] , ısıl işlem parametrelerinin hafif betonun kısa süreli özelliklerine etkisini araştırdığı çalışmada verdiği sonuçları şu şekilde özetlemiştir; Ön bekleme süresinin 7 saat olması durumunda 28.ci günde en yüksek basınç dayanımları elde edilmiştir. Buna karşılık 4 saatlik ön bekleme süresi 28.ci günde basınç dayanımında ve ultrases hızında en az etkili olmuştur. Isınma hızının  $25^{\circ}\text{C}/\text{saat}$  olasıyla, özellikle 28.ci günde maksimum basınç ve eğilme dayanımları elde edilirken, elastisite modülleri  $10^{\circ}\text{C}/\text{saat}$  isınma hızı için maksimum olmaktadır. İşlem sıcaklığının  $90^{\circ}\text{C}$  civarında basınç dayanımını maksimum yaparken, eğilme dayanımları ile elastisite modülleri 28.ci günde  $50^{\circ}\text{C}$  için maksimum olmaktadır.

Karagüler'in kısa süreli yüklemelerdeki beton özelilikleri ile ilgili yaptığı bu çalışmada ve bir başka çalışmasında [63], hafif beton üretiminde kullandığı ponza taşı ile bu çalışmada kullanılan ponza taşı aynı yörenden alınmıştır. Bu çalışma ve anılan diğer iki çalışma aynı ponza taşı ile üretilen hafif betonların farklı yönlerden incelenmesi bakımından birbirini tamamlar niteliktedir.

### 1.2.2. Betonun sünme ve rötresi

Betonlarda sünme ile ilk olarak 1905 yılında Woolson ilgilenmiş, bunu 1907'de Hatt'ın araştırmaları izlemiş, 1914'de Fereyssinet şantiyede yaptığı deneylerle bu konudaki çalışmalarla önemli bir yön vermiştir. Özellikle 1950 den sonra konu ile ilgili çalışmalar yoğunluk kazanmış ve önemli bilgiler elde edilmiştir. Sünme dayanımı ile ilgili Coutinho tarafından ileri sürülen bir çalışmaya göre, sünme dayanımı basınç dayanımının yaklaşık 0.95 katı değer almaktır ve kırılma 1-2 saat içerisinde gerçekleşmektedir. Sünme dayanımı ile kırılma süreleri arasındaki farkın betonların değişik ortamlarda saklanması ile ileri geldiği belirtilmektedir [64].

Betonun sünmesi reolojik bir model olarak 1933 de Birgham ve Reiner tarafından ele alınmıştır. 1950'de Flügge ve yine aynı tarihte Fneudental betondaki sünme ve rölsasyon olaylarını incelemiştir. 1959 da Neville farklı çimento harçlarında gecikmiş elastik şekil değiştirmeyi, Glucklich 1959 da düşük gerilme seviyelerinde sertleşmiş çimento hamurunun reolojik davranışını incelemiştir. 1960 da Hansen çimento hamurunun hacim konsantrasyonu, jelin yoğunluğu ve sünme arasında bir bağıntı geliştirmiştir, betonun sünme davranışını ifade eden bir model önermiştir. 1975 de Brooks ve Neville kısa süreli deneylerden uzun süreli sünme ve rötrenin tahmini üzerinde araştırma yapmışlardır [41].

Hafif ve normal betonlarda sünmeyi zamanın bir fonksiyonu olarak inceleyen birçok araştırmacı, bu konuda matematiksel bazı bağıntılar ileri sürmüşlerdir [65, 66, 67, 68]. Verilen bu bağıntılarda betonun viskoelastik bir davranış biçimini gösterdiğini ortaya koyarak deneyel sonuçları matematiksel bazı bağıntılarla tanımlamışlardır.

Theurer [69], sıcaklığın sünme üzerindeki etkilerini araştırarak, bu etkilerin gerekçelerini belirtmiştir. Aynı konuda England ve Ross [70], da benzer bir çalışma ile önceki yapılan çalışmaya uygunluk gösteren bilgileri vererek sıcaklığın etkisini açık olarak ortaya koymuşlardır.

Ghosh [71], çimento hamuru üzerinde sabit bir ortamda yaptığı sünme deneylerinde, bir kısım numunelerin yüzeylerine özel bir madde sürerek tıkamış, diğerlerine böyle bir işlem yapmamıştır. Bu şekilde elde ettiği numunelere aynı  $\sigma/f_c$  oranında kalarak değişik yaşlarda yükleme yapmış ve bulduğu sünme değerleri ile numunenin yaşıının logaritmasını karşılaştırmış ve iyi bir korelasyonun var olduğunu öne sürmüştür. Burada çimento hamurunda her yükleme yaşı için logaritmik sünme fonksiyonu bağıntısının betonla aynı olduğu sonucuna varmıştır.

Browne ve Blundell [45], yaptıkları deneyel çalışmada sürekli ısı ve yük altında uzun süreli nükleer güç istasyonlarında kullanılacak betonlar üzerinde meydana gelecek sünme ve rötreyi saptayabilmek için deneyler yapmışlardır. Çok uzun süreli tutulan bu deneylerde sabit bir rutubet altında 25 ila 95 °C sıcaklıklar arasında, 7 ila 400 günlük sürelerle yüklenen betonlarda meydana gelen sünme deformasyonlarının, zaman ve deformasyon ilişkisinde lineer logaritmik bir grafik çizdiğini belirtmişlerdir. Bu ilişkinin ileri zamanlarda daha iyi bir korelasyonla devam ettiğini belirten araştırmacılar yüksüz durumda meydana gelen rötre deformasyonlarının çok küçük olduğunu öne sürerek bunun hesaplarda ayrıca dikkate alınmadığını ifade etmişlerdir. Elde ettikleri sünme deformasyonlarını

sıcaklık ve zamana bağlı olarak logaritmik bir sünme fonksiyonu ile kuramsallaştırdıktan sonra diğer bazı sonuçlarla karşılaştırmasını yapmışlardır.

Zdenek ve Bazant [ 73 ] , sünme ile ilgili yaptıkları incelemede sünme parametrelerini ortaya koyarak bu parametrelerin (gerilme, beton yaşı, zaman, rutubet ve sıcaklık) önceden bilinen matematiksel bir bağıntıyla uyarlamasını yapmışlardır. Ele aldıkları bu bağıntıyı kullanarak birim sünme fonksiyonunu değişik formlarda ifade etmişlerdir. Geliştirdikleri bu bağıntıyı bazı deney sonuçlarına uygulamışlar ve elde ettikleri bulguları diğer matematiksel bağıntıların sonuçları ile karşılaştırma yaparak iyi bir yaklaşımda bulunduklarını öne sürmüşlerdir.

Schwesinger ve arkadaşları [ 74 ] , doygun atmosferik buhar basıncı altında ve  $130^{\circ}\text{C}$  sıcaklığı kadar, değişik ortamlardaki betonun sünmesini incelemişlerdir. Deneylerden elde ettikleri sonuçları daha önce bilinen test sonuçlarına uyum sağladığını öne sürmüşlerdir. Değişik rutubet ortamlarında belli aralıklarla havada ve/veya suda kür ettikleri betonlara 28 ve 365.ci günlerde farklı sıcaklık ortamlarında sabit yükleme yaparak deformasyonları bulmuştur. Elde ettikleri deformasyonların sıcaklığa bağlı değişiminin daha önce bilinen sonuçların derecelerine göre dağıldığını ifade etmişlerdir. Sonuçların tartışmaya açık olduğunu belirten araştırmacılar, buharla doygun koşullar altında, kapalı bir ortamda ve  $130^{\circ}\text{C}$  sıcaklığındaki betonun sünmesinin, normal atmosfer koşullarında ve açık bir ortamda  $20^{\circ}\text{C}$  sıcaklığındaki betonun sünmesinden 10 kat daha fazla olduğu sonucuna varmışlardır.

Aroutiounlan [ 75 ] , 1957 de normal betonların sünmesi ile ilgili muhtelif araştırmacıların deney sonuçlarını kullanarak betonun yükleme yaşına bağlı ve yatay asimtotu olan bir sünme fonksiyonu önermiştir.

Bazant ve Kim [43] , birtakım parametreler kullanarak betonun nonlineer sünmesini incelemiştir. Yine Bazant ve arkadaşları [76] tarafından betonun sünmesi ile ilgili daha karmaşık olan integral tipi bir bağıntı kullanılmışlardır.

Akyüz ve Taşdemir [78] , başka çalışmacıların deney sonuçlarından yararlanarak yaptıkları bir incelemede değişken gerilmeler altındaki betonun sünmesinin oldukça iyi bir yaklaşımla tahmin edilebileceğini öne sürmüşlerdir. Bu yazarlar aynı yöntemi bu kez hafif betonlara uygulamışlar ve yine tatminkar sonuçlar almışlardır [79] .

Marechal [46] , ısının betonların sünmesi üzerindeki etkilerini araştırdığı çalışmasında, bulduğu sonuçları zamanın logaritması cinsinden bir grafikle göstererek sünme ile  $\log t$  arasında lineer bir bağıntının varlığını öne sürmüştür. Bu ilişkiye göre logaritmik sünme fonksiyonundaki "b" katsayısı  $105^{\circ}\text{C}$  den küçük sıcaklıklarda kurutulmuş ve kurutulmamış betonlarda birbirinden bir hayli farklı değerler aldığı belirtmiştir. Araştırmacı kurutulmuş betonlarda "b" katsayısı evvela sıcaklık derecesi ile artarken bir maksimumdan geçtikten sonra azaldığını ifade etmiştir. Kurutulmuş betonlarda ise bu katsayının sıcaklıkla birlikte devamlı bir artış gösterdiği sonucuna varmıştır.

### 1.3. Araştırmanın Amacı ve Gerekçesi

Hem doğada bulunan hemde yapay olarak üretilen hafif agregaların hafif beton üretiminde kullanılmaya başlaması ülkemiz için oldukça yenidir. Hafif beton, normal betona göre prefabrikasyon ve hızlı konut üretiminde daha etkin bir malzeme olması ve bunların sağladığı yararlar paragraf 1.1.1 'de açıklanmıştır. Bunlardan yurdumuzda doğal olarak kullanıma uygun, en çok bulunanı ponza taşı hafif agregasıdır.

Hızlı üretimi temin için, betona erken dayanım kazanma yöntemlerinin uygulandığı birçok araştırmacı tarafından ortaya konmuş ve bu konuda yapılan çalışmalardan görülmüşdür, belirlenen yöntemlerin içerisinde etkinlik, ekonomik olma ve kolay uygulanabilme açılarından dolayı en yaygın uygulanan ısıl işlem atmosferik basınç altında buhar kürü yöntemidir. ısıl işlemin betonun erken dayanımını yükseltirken, ileri yaşlardaki dayanımını ısıl işlem görmemiş betona kıyasla azaltabileceği bazı araştırmacılar tarafından betonun kısa süreli yüklemeler altındaki davranışına etkileri incelenerek belirtilmiştir. Fakat uzun süreli yüklemeler altındaki davranışını ile ilgili bilgi yetersizdir.

Ponza taşı ile üretilen hafif betonların kısa süreli özellikleri ile ilgili, Taşdemir [ 7 ] normal kür koşullarında, Karagüler [ 3 ] ısıl işlem uygulanmış olarak hafif betonların davranışlarını belirleyen çalışmalar yapmışlardır. Bu çalışmada ise aynı yöreden temin edilen ponza taşı ile üretilen yukarıda anılan çalışmaların bir devamı sayılabilecek, aynı betonlara ısıl işlem uygulanarak değişken yüklemeler altında zamana bağlı davranışlarının işlem sıcaklığı ile değişimi incelenmiştir. Deneysel çalışmaların uzun sürmesi bu konuda sonuçların alınmasını zorlaştmakta ve yapılacak işi geciktirmektedir. Bazı durumlarda betonun davranışını (sünme ve rötresini) önceden

tahmin etmek gerekebilir. Bunun iyi bir yaklaşımla tahmin edilebilmesi için bu betonlar üzerinde önceden yapılmış deneysel çalışmalarдан yola çıkılarak elde edilen bazı bağıntılardan faydalанılır. Bu bağıntılar yardımcı ile betonun sünmesi deneysel çalışma yapılmadan kestirilebilir. Uzun süreli yüklemeler altında hafif betonların davranış biçimlerini içeren çalışmalar çok kısıtlı sayıdadır. Özellikle ıslı işlem görmüş hafif betonların değişken gerilmeler altındaki davranış ile ilgili herhangi bir çalışmaya rastlanmamış olması bu konuda yapılacak çalışmanın erjinallığını ortaya çıkarmaktadır.

Bu çalışmada, belirtilen nedenlerden sünme deformasyonları ıslı işlem uygulaması altında araştırılmıştır. Araştırma iki farklı birim ağırlıktaki hafif beton sınıfında yapılmış olup farklı işlem sıcaklıklarında değişken gerilmeler altında betonun yapacağı deformasyonlar deneysel olarak bulunmuştur. Daha sonra bu sonuçlara uygunluk gösteren logaritmik bir sünme fonksiyonu seçilerek, fonksiyona ait denklem sabitlerinin işlem sıcaklığına ve yükleme yaşına bağlı değişimi incelenmiştir.

Bu çalışmanın amacı olarak, işlem sıcaklığı ile deformasyon arasında kurulan sistematik ilişki sayesinde herhangi bir sıcaklıkta işlem görmüş hafif betonun değişken gerilmeler altında ani deformasyonunun ve sünmesinin yükleme yaşına bağlı olarak tahminine olanak sağlanmış olmaktadır.

#### 1.4. Araştırmmanın Kapsamı

Deneysel çalışma, iki farklı birim ağırlıktaki hafif beton üzerinde yapılmıştır. Bunlardan 1.Grup hafif betondan 5 seri, 2.Grup hafif betondan ise 3 seri olmak üzere toplam 8 seri beton üretilmiştir. Her iki grup betonda agrega cinsi, çimento cinsi, etkin su/çimento oranı aynı tutulmuştur. Araştırma, önce birim ağırlığı hafif betonun üst sınırına yakın olan beton üzerinde yapılmış, değerlendirmenin daha sağlıklı yapılması bakımından bu kez birim ağırlığı daha düşük olmak üzere ikinci bir hafif beton üzerinde yapılmıştır.

Betonlara uygulanan ıslıl işlem çevrimlerinde ön beklemeye süresi 2 saat, ısınma hızı  $25^{\circ}\text{C}/\text{saat}$ , soğutma hızı  $10^{\circ}\text{C}/\text{saat}$  ve toplam çevrim süresi 22 saat olarak hepsinde sabit tutulmuş, ıslıl işlem çevrimlerinden yalnız işlem sıcaklığı değişken alınarak, araştırma bu yöndeki değişime göre yapılmıştır. 1.Grup beton serilerinde seçilen işlem sıcaklıkları  $40^{\circ}\text{C}$ ,  $60^{\circ}\text{C}$ ,  $70^{\circ}\text{C}$  ve  $95^{\circ}\text{C}$  olarak, 2.Grup beton serilerinde ise  $50^{\circ}\text{C}$  ve  $80^{\circ}\text{C}$  olarak belirlenmiştir. 1.ci Grup hafif betonlarda deney sonuçları seçilen sünme fonksiyonuna uygulanırken işlem sıcaklığı ile fonsiyon sabitleri arasında kurulan ilişkide  $60^{\circ}\text{C}$  de işlem görmüş beton bu ilişkinin dışında tutulmuş ve yalnız hesap ve deney sonuçlarının kontrolü amacıyla kullanılmıştır.

Prizmatik beton numunelerine değişik yaşlarda basınc dayanımının  $1/3$  ünün altında kalmak üzere yükleme yapılmıştır. Basamaklı yüklemelerin (değişken gerilme) yapıldığı yaşlarda betonun basınc dayanımı ile elastisite modülü silindirik numunelerden yararlanılarak bulunmuştur. Yine rötre için prizmatik numunelerden yararlanılmıştır. Sünme deneylerindeki okumalar 1.Grup beton serilerinde 200 gün, 2.Grup beton serilerinde ise 150 gün süre ile yapılmıştır.

Deneylerin uygulamasındaki ayrıntılı bilgiler ve sonuçların değerlendirilmesi ileriki bölümlerde sunulmuştur.

## BÖLÜM 2 - DENEYSEL ÇALIŞMALAR

### 2.1. Kullanılan Malzemeler Ve Özellikleri

#### 2.1.1. Kum

Üretilen tüm beton serilerinde 2 mm 'nin altında kalan kısmında riva kumu kullanılmıştır. Bu kum üzerinde yapılan granülometri, özgül ağırlık, 24 saatlik su emme, gevşek birim ağırlık deney sonuçları Tablo 2.1 de verilmiştir.

Tablo 2.1. Kumun Özellikleri

Kum cinsi  Elek boyutu (mm)	Elekten geçen kum % si				Özgül ağırlık (kg/m <sup>3</sup> )	Su emme (%)	Gevşek birim ağırlık (kg/m <sup>3</sup> )
	0.25	0.50	1.00	2.00			
Riva kumu	15	67	85	100	2630	0.65	1570

Yapılan deneyde kum içerisinde organik madde mevcut olmadığı, çamurlu madde miktarının görünen hacimce % 0.5 oranında olduğu görülmüştür.

#### 2.1.2. Kırmatas

Kullanılan kırmataşlar 16/25 mm arasında olup, yalnız 1. Grup hafif beton üretimeinde kullanılmıştır. Agrega-çimentto hamuru arasındaki aderansı artırmak ve karışımında aynı homogenliği sağlamak amacıyla kırmataşlar yıkandıktan sonra kurutulmuştur. Bunların özgül ağırlıkları  $2700 \text{ kg/m}^3$ , gevşek birim ağırlıkları  $1450 \text{ kg/m}^3$ , 24 saatlik su emmesi %0.4 oranındadır.

### 2.1.3. Ponza taşı hafif agregası

Bu çalışmada hafif aggrega olarak Nevşehir-Göreme yöresinden getirilen ponza taşı hafif aggregaları kullanılmıştır. Bu aggregalar, önce suda yüzdürülerek su üzerinde kalanları alıp, dibe çökenleri atılmış ve böylece hafif olmayan kısımların atılmasıyla kullanılan fraksiyonlar arasında homogenlik sağlanmıştır. Beton üretiminde kullanılmak üzere su üzerinde kalanlar alınıp kurutulmuş, arkasından elenerek dane boyutlarına göre  $2/4$ ,  $4/8$ ,  $8/16$  mm 'lik üç gruba ayrılmıştır. Tablo 2.2. de su üzerinde yüzen bu hafif aggregalara ilişkin değerler gösterilmiştir.

Tablo 2.2. Ponza taşı aggregalarının deney sonuçları

Hafif aggrega bölmü (mm)	Birim hacim ağır (kg/m <sup>3</sup> )		Gevsek birim ağırlık (kg/m <sup>3</sup> )	Kuru ağırlığa göre su emme % si		
	Fırın kurusu	Suya doygun		30 dak	24 saat	3 gün
2/4	770	950	440	20.5	29.5	35
4/8	760	910	430	18.5	25	32
8/16	745	895	410	16.7	24.5	31.5

Özgül ağırlık için ponza taşı öğütülmüş toz haline getirilerek  $90\mu$  luk elekten elenmiştir. Daha sonra  $105^{\circ}\text{C}$  de değişmez ağırlığa kadar kurutulmuş, sıvısı benzin olan bir piknometrede özgül ağırlık deneyi yapılmıştır. Buradan özgül ağırlık  $2250 \text{ kg/m}^3$  olarak bulunmuştur. Birim hacim ağırlık değerleri yukarıda verilmekle birlikte, hafif aggregaların deney süresi içerisinde saklandığı ortam içerisinde saptanan doğal rutubetlerinin  $2/4$  mm de % 4.3,  $4/8$  mm de % 4.10 ve  $8/16$  mm de % 4.8 olduğu göz önüne alınarak hava kurusu birim hacim ağırlıklarının  $2/4$ ,  $4/8$  ve  $8/16$  mm dane grubu için sırası ile  $890$ ,  $870$  ve  $860 \text{ kg/m}^3$  olarak bulunmuştur.

### 2.1.4. Çimento

Bütün betonlarda Pınarhisar çimento fabrikasının ürünü olan PÇ. 325 çimentosu kullanılmıştır. Bu çimentonun TS 24'e göre bulunan fiziksel ve mekanik özelliklerini TS 19 da PÇ 325 normal portland çimentosu için istenilen değerleri sağlamaktadır. Bu özellikler aşağıda verilmiştir.

#### Fiziksel Özellikler

Blaine özgül yüzeyi	: $2800 \text{ cm}^2/\text{gr}$
4700 delikli elekte kalan	: % 6
950 delikli elekte kalan	: % 0.8
Özgül ağırlık	: $2.98 \text{ gr/cm}^3$
Normal kıvam suyu	: % 26
Priz başlangıcı	: 2 saat 20 dakika
Priz sonu	: 3 saat 35 dakika
Le Chatelier iğnelerinin toplam açılması	: 5 mm

#### Mekanik Özellikler (Rilem - Cembureau yöntemi ile)

	<u>7 günlük</u>	<u>28 günlük</u>
Basınç dayanımı ( $\text{N/mm}^2$ ) .....	20.8	32.6
Eğilme-Çekme dayanımı ( $\text{N/mm}^2$ ) .....	4.6	6.2

### 2.2. Beton Karışımaları

#### 2.2.1. En büyük dane boyutu

Bütün beton üretiminde 2 farklı en büyük agregat boyutu kullanılmıştır. Birinci grup birim ağırlıktaki hafif betonda en büyük agregat boyutu 25 mm, diğer granüloimetrik hafif betonda ise 16 mm seçilmiştir. Genellikle hafif agregatlı betonlarda en büyük agregat boyutunun 25 mm 'yi geçmemesi önerilmektedir [ 7 ]. Bu kısıtlama dayanım ve şe-kil değiştirmeye özelliklerindeki olumsuzluktan öte ayırmaya

neden olmasındandır. Betonlar üzerindeki şekil değiştirmelerin yapıldığı ölçü boyutu içinde bulunan danelerin sayısı arttıkça bu durum betonun gerçek davranışını daha iyi yansıtmaktadır. Ayrıca bu çalışmada kullanılan ponza taşı hafif agregalarında 16 mm üzerinde dane boyutuna pek rastlanmadığından her iki hafif betonda da bunun üzerinde ponza taşı mevcut değildir.

### 2.2.2. Granülometrik bileşimler

Üretilen bu iki değişik birim ağırlıktaki hafif betonlarda iki ayrı da granülometrik bileşim mevcuttur. En büyük dane boyutu 25 mm olan 1. Grup hafif beton serilerindeki agrega granülometrileri aynı olup (ISO A25-B25) eğrileri arasında olup A25 'e daha yakındır. En büyük dane boyutu 16 mm olan 2. Grup hafif beton serilerinde, yine agrega granülometrisi aynı olup TS 706 da verilen A16-B16 arasında ve A16 'ya daha yakındır. Tablo 2.3 de belirtildiği gibi her iki granülometrik bileşimde de 2 mm 'nin altında kum kullanılmıştır. 1. Grup hafif beton serilerinde 2-16 mm arası ponza taşı, 16-25 mm arasında kirmataş kullanılmıştır. 2. Grup hafif beton serilerinde ise 2-16 mm arasında tamamen ponza taşı kullanılmıştır.

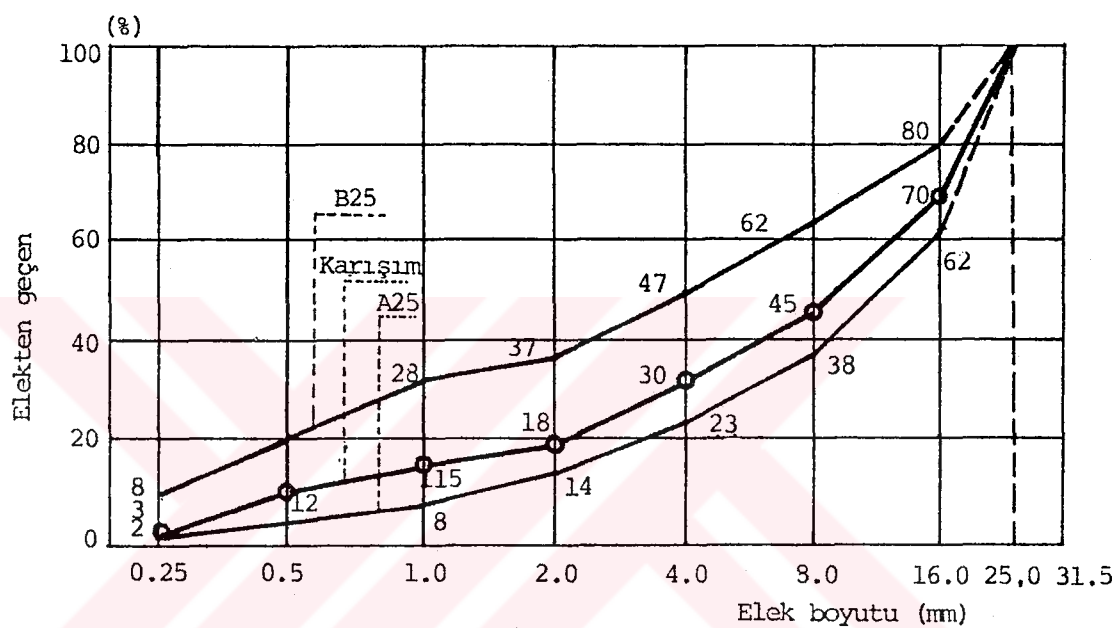
Tablo 2.3. Agregaların karışım yüzdeleri

Agraga cinsi	İnce kum $\leq 2$ mm	Ponza taşı			Kirmatas
		2/4 arası	4/8 arası	8/16 arası	
Beton sınıfı	Agregaların karışım yüzdeleri				
1. Grup hafif beton	18	12	15	25	30
2. Grup hafif beton	22	18	30	30	-

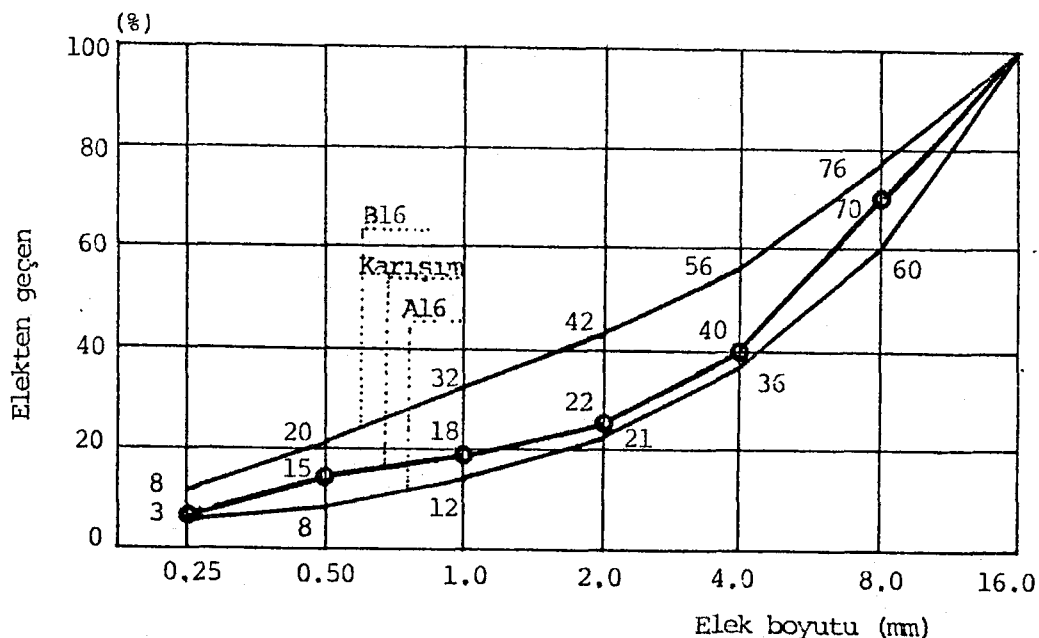
Her iki beton grubuna ait agrega karışımlarının granülometrik bileşimleri Tablo 2.4 de ve bunlarla ilgili eğriler Şekil 2.1 ve Şekil 2.2 de gösterilmiştir. Yapılan üretimden sonra bu iki beton için ortalama taze beton birim ağırlıklar, 1745 ve  $1415 \text{ kg/m}^3$  olarak saptanmıştır.

Tablo 2.4. Agrega karışımlarının granülometrik bileşimleri

Elek boyutu (mm)	0.25	0.50	1.00	2.00	4.00	8.00	16.0	25.0	31.5
Beton sınıfı	Elekten geçen agregaj yüzdesi								
1. Grup hafif beton	3	12	15	18	30	45	70	100	100
2. Grup hafif beton	4	15	18	22	40	70	100	100	100



Şekil 2.1. 1. Grup hafif beton agregasının granülometrik bileşimi



Şekil 2.2. 2. Grup hafif beton agregasının granülometrik bileşimi

### 2.2.3. Bileşim hesapları

Üretilen betonlar iki değişik birim ağırlıkta olup bu betonlarda çimento dozajı  $350 \text{ kg/m}^3$  alınmıştır. Beton karışımıları plastik kıvamda ve etkin su/çimento oranı 0.50 olarak seçilmiştir. Tablo 2.5 de kullanılan bileşimler ve bunların kodları ile taze beton özellikleri verilmiştir.

Bu çalışmada iki değişik birim ağırlıktaki hafif betonlara ( $1745$  ve  $1415 \text{ kg/m}^3$ ), farklı sıcaklıkta ( $T^\circ C$ ) ısıl işlem çevrimleri uygulanmış ve bu çevrimlerin betonların sünme ve rötresine olan etkilerindeki değişim incelemiştir.

Bu iki hafif betonun seçiminde, taze birim ağırlığı hafif beton sınıfında kalınarak deneme betonları üretilmiştir. Bunların içerisinde en az boşluk bırakarak yerleşeni ve yeterli mekanik mukavemete sahip olanı seçilmiştir. Hafif betonların bileşim hesaplarında kullanılan hesap yöntemlerini Taşdemir [ 7 ], çalışmasında özetlemiş ve bunlardan mutlak hacim yöntemini kullanmıştır. Bu araştırmada da aynı yöntem kullanılmıştır.

Beton bileşim hesaplarında kullanılan notasyonlar ve izlenen yol aşağıda gösterilmiştir;

- $C$  :  $1 \text{ m}^3$  yerleşmiş betondaki çimento ağırlığı, kg.
- $c$  :  $1 \text{ m}^3$  yerleşmiş betondaki çimentonun mutlak hacmi,  $\text{dm}^3$
- $E$  :  $1 \text{ m}^3$  yerleşmiş betondaki suyun ağırlığı, kg.
- $e$  :  $1 \text{ m}^3$  yerleşmiş betondaki suyun hacmi,  $\text{dm}^3$ .
- $E_p$  : Ön emdirme suyu, kg.
- $\delta_c$  : Çimentonun özgül ağırlığı,  $\text{kg/dm}^3$ .
- $\delta_{ai}$  : (i) agregasının birim hacim ağırlığı,  $\text{kg/dm}^3$ .
- $\delta_e$  : Suyun özgül ağırlığı,  $\text{kg/dm}^3$
- $P_i$  : (i) agregasının karışım oranı
- $V_a$  : Toplam agrega hacmi,  $\text{dm}^3$
- $h$  :  $1 \text{ m}^3$  yerleşmiş betondaki hava hacmi,  $\text{dm}^3$

E/C : Etkin su/çimento oranı, ağırlıkça

$G_i$  : (i) agregasının ağırlığı, kg.

$S_{ai}$  : (i) agregasının 30 dakikadaki su emme yüzdesidir.

Buna göre beton bileşimi aşağıdaki gibi hesaplanmıştır;

$$V_a = 1000 - \left( \frac{C}{\delta_c} + E + h \right) \text{ yazılırsa,}$$

$$G_i = V_a \cdot P_i \cdot \delta_{ai}$$

$$E_p = \sum G_i \cdot S_{ai} \quad \text{dir.}$$

#### 2.2.4. Beton üretimi, karıştırma, yerleştirme ve saklama koşulları

Bileşimi deneme betonları ile bulunarak gerçek değerleri hesaplanan bu iki hafif beton grubundaki serilerin üretiminde 55 lt. kapasiteli Eirich marka, SKGI tipi, düşey eksenli zorlamalı bir betoniyer kullanılmıştır. Üretimde öncelikle hafif agregalar betoniyer teknesine boşaltılarak 30 dakikalık bir ön emdirmeye uygulanmıştır. Üretim için betoniyere 50 lt. yerleşmiş beton için gerekli diğer su dışındaki malzemeler-kum, kırımtaş ve çimento- ilave edilerek 1 dakika kuru karıştırılmış, daha sonra su ilave edilerek 2 dakika daha ıslak karıştırılmıştır. Taze beton üzerinde çökme deneyi Ve-be süresi tayini ve birim ağırlık deneyleri yapıldıktan sonra yeniden 30 saniye daha betoniyerde karıştırma işlemine devam edilmiştir.

Üretilen betonlar çapı 15 cm, yüksekliği 30 cm olan silindirik kalıplarla, 10x10x50 cm boyutundaki prizmatik kalıplara yerleştirilmiştir. Yerleştirme işlemi, taze beton üç tabaka halinde ve her tabaka 25 kez şişlenerek uygulanmıştır. Bu işlemden sonra titreşim masası üzerinde iki değişik frekansta 10 sn 'lik bir titreşim uygulanmıştır. Titreşim masası Vibro-Verken marka, Vibroflux GD34 tipi,

Tablo 2.5. Beton bileşimi ve taze beton özellikleri

Beton kodu	1 m <sup>3</sup> betondaki gerçek malzeme miktarları ve taze beton özellikleri										
	Çimento (kg)	kum 0/2 (mm) (kg)	Hafif agrega- 2/16 (kg)	Ön em- dirme suyu 16/25 (kg)	Kırma- taş (kg)	Su (1t)	Hava boşl. (%)	Komp. (m <sup>3</sup> /m <sup>3</sup> )	Yaş- birim ağır. (kg/m <sup>3</sup> )	Ve-be süresi (sn)	Çökme (cm)
A-20	350	331	273	52.6	565	175	1.1	0.814	1747	12.0	0.6
B-40	352	333	276	53.0	568	176	0.6	0.819	1758	11.2	0.7
C-60	348	329	271	52.1	561	174	1.6	0.809	1735	10.5	0.5
D-70	349	330	273	52.4	564	174.5	1.4	0.812	1743	10.6	0.5
E-95	349	330	273	52.4	564	174.5	1.4	0.812	1743	11.8	0.6
F-20	350	403	412	78	-	175	1.0	0.814	1415	10	0.4
G-50	348	402	410	77.6	-	174	1.7	0.810	1412	11	0.6
H-80	351	403	412	78	-	175	1.0	0.814	1415	12	0.3

frekansı 4500/dakika, genliği yüksüz durumda 0.3 mm, kapasitesi ise 2000 kg dır.

Beton numunelerinin sıkıştırma işlemi tamamlandıktan sonra erken su kaybını önlemek için üzerleri cam plakalarla kapatılmıştır. Ardından kür odasına alınan numuneler  $20^{\circ}\text{C} \pm 1$  ve relativ rutubeti % 65 ± 5 olan klima odasına konulmuştur. Standart küre tabi tutulacak numuneler 1 gün sonra kalibinden çıkarılarak deney gününe kadar, ıslı işlem çevrimlerine tabi tutulacak numuneler ise ön bekleme süresi içerisinde bu odada bekletilmiştir. ıslı işlem uygulandıktan sonra numuneler klima dolabından alınıp, kalıplarından çıkartılarak aynı odada deney gününe kadar saklanmıştır. Sünme ve rötre deneyleri yukarıda belirtilen ortam koşullarında sabit tutulan, bu klima odasında gerçekleştirilmiştir.

Her sıcaklık derecesindeki seride 15x30 cm boyutundaki silindirlerden basınç dayanımı ve elastisite modüllerinin bulunması için 12 adet, 10x10x50 cm boyutundaki prizmatik numunelerden ise 5 adet numune üretilmiştir. Prizmatik numunelerin 3 tanesi sünme, 2 tanesi de rötre deneylerinde kullanılmıştır.

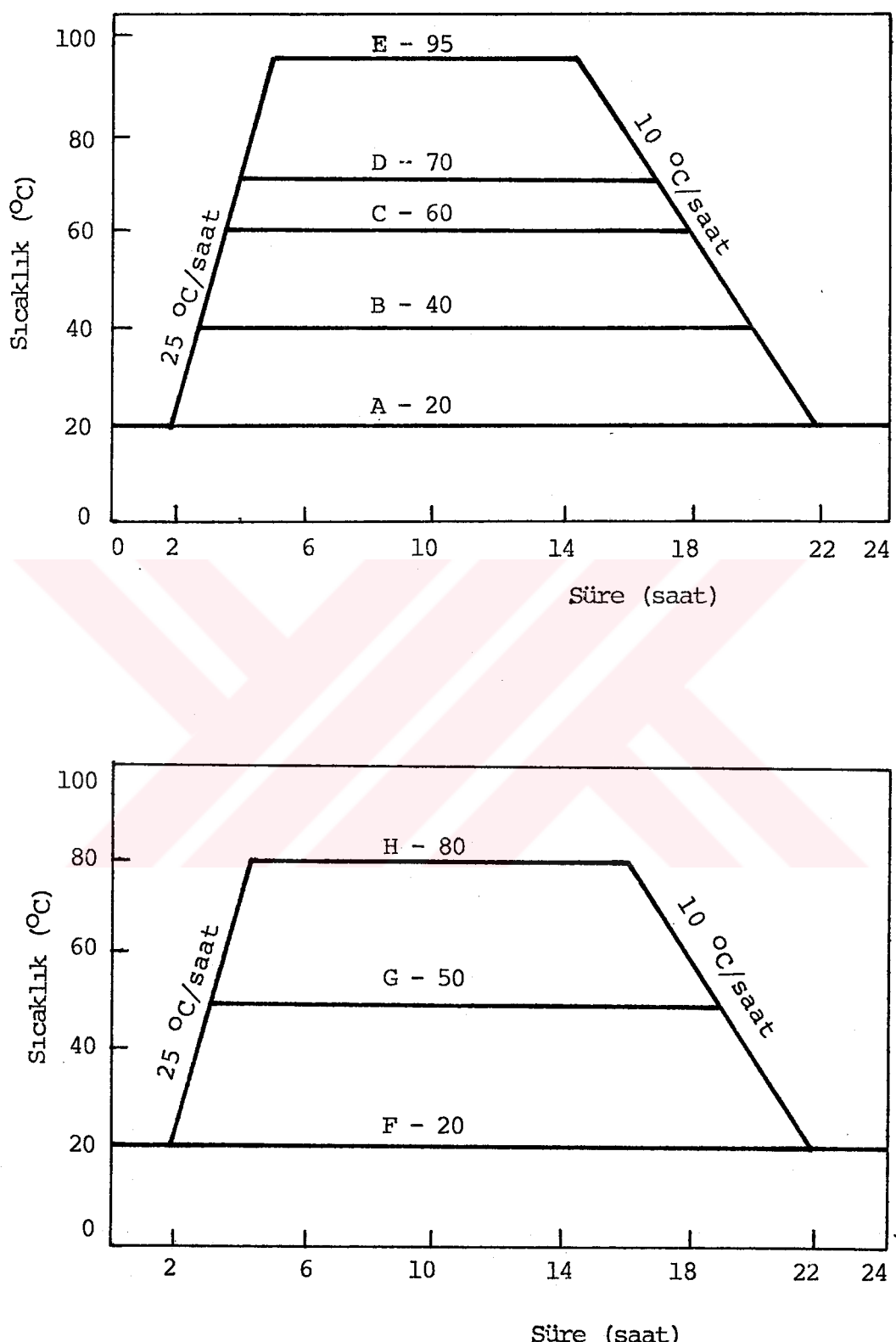
### 2.2.5. Uygulanan ısil işlem çevrimleri

Bu çalışmada ön bekleme süresi, ısınma hızı, soğutma hızı sabit alınarak, değişken parametre olarak ısil işlem sıcaklığı seçilmiştir. Tüm ısil işlem çevrimlerinde toplam çevrim süresi 22 saat olarak sabittir. Ön bekleme süresi (beton karma suyu katıldıktan numunelerin klima dolabına konana kadarki geçen süre) 2 saat, ısınma hızı 25 °C/saat, soğutma hızı 10 °C/saat olarak alınmıştır. Değişken olarak seçilen işlem sıcaklığının sünme parametrelerine yükleme yaşıyla birlikte nasıl etkidiği incelenmiş olup ve yine rötre şekil değiştirmelerine olan etkisi araştırılmıştır.

Bu araştırmada 1.Grup beton serilerine 20 °C (standart kür), 40 °C, 60 °C, 70 °C ve 95 °C lik ısil işlem sıcaklığı uygulanmıştır. 2.Grup beton serilerine ise 20 °C (standart kür), 50 °C ve 80 °C lik işlem sıcaklığı uygulanmıştır. Uygulanan ısil işlem çevrimlerinin karakteristik değerleri Tablo 2.6 da, çevrimlerin grafik gösterimi ise Şekil 2.3 de verilmiştir.

Tablo 2.6. Uygulanan ısil işlem çevrimleri

Isıl işlem kodu	Ön bekleme süresi (saat)	Isınma hızı (°C/saat)	İşlem sıcaklığı (°C)	İşlem sıcaklığında geçen süre (saat)	Soğutma hızı (°C/saat)
A	-	-	20	20	-
B	2	25	40	17 <sup>12'</sup>	10
C	2	25	60	14 <sup>24'</sup>	10
D	2	25	70	13.	10
E	2	25	95	9 <sup>30'</sup>	10
F	-	-	20	20	-
G	2	25	50	15 <sup>48'</sup>	10
H	2	25	80	11 <sup>36'</sup>	10



Şekil 2.3. Uygulanan ısıl işlem çevrimleri

### **2.3. Deneylerin Tanımlanması Ve Kullanılan Yöntemler**

#### **2.3.1. Taze beton deneyleri**

Üretilen taze betonlar üzerinde yaş birim ağırlık, standart çökme ile Ve-be deneyleri yapılmıştır.'Yaş birim ağırlığın belirlenmesi için 8 litrelik bir çelik kap kullanılmıştır. Böylece taze beton karışımlarının istenen özellikleri sağlayıp sağlamadığı kontrol edilmiştir. Her beton serisinde tekrarlanan bu deneylerde sonuçların birbirine çok yakın çıkması, malzemelerin hassas tartılması ile karıştırma ve yerleştirmedeki koşulların aynı tutulmasına büyük özen gösterilmesi sonucunda ulaşılmıştır.

#### **2.3.2. Isıl işlem çevrimlerinin uygulanması**

Isıl işlem çevrimlerinin uygulanmasında sistem-teknik firmasınca yapılan M-319 model elektronik kumandalı özel bir klima dolabı kullanılmıştır. Karagüler'in yaptığı çalışmada[3] ilk olarak kullanılan ve teknik özellikleri verilen dolap 260 litre hacminde ve iç ölçüleri  $0.5 \times 0.8 \times 0.65$  m boyutundadır.

Numuneler ön bekleme süresi sonunda saklama odasından alınarak klima dolabına yerleştirilmiş ve üst yüzleri cam bir kapakla örtülü vaziyette, üst üste gelen numuneler arasında ahşap bir ızgara konulmuştur. Dolabin içerisinde bir fan yardımı ile bu ızgaralar arasında hava sirküle edilerek sıcaklık dağılımının üniform olması sağlanmıştır. Isıl işlem çevrimleri sırasında dolabin relativ rutubeti %95 in üzerinde kalmıştır. İflave bir önlem olarak da iki adet su kabı konarak dolabin rutubeti yüksek tutulmuştur. Isıl işlem başlangıcında ve sonunda numuneler kalıplarıyle birlikte tartılarak ağırlık kaybının % 0.15-% 0.25 arasında kaldığı görülmüştür. Bu değer ise ihmäl edilebilir bir mertebedir.

Numuneler fırına yerleştirildikten sonra elektronik kumanda vasıtasıyla fırın programlanmıştır. Bu program sırasında uygulanacak işlem sıcaklık derecesine göre ısıtma hızı, işlem sıcaklığında bekleme süresi ve soğutma hızı programlanarak fırının elektronik merkezine verilmiştir. Fırının teknik Özelliğinden dolayı işlem sıcaklığından soğutmaya geçiş anı gözetlenerek kontrol edilmiştir. Isıl işlem çevriminin bitiminde numuneler dolaptan çıkarılarak sıcaklığı 20 °C olan klima odasına tekrar götürülmerek kalıplarından sökülmüş ve deney gününe kadar burada muhafaza edilmiştir.

### 2.3.3. Sertleşmiş beton deneyleri

Paragraf 2.2.3 de belirtildiği gibi iki tip beton üretilmiştir. Bu betonlar üzerinde kısa ve uzun süreli deneyler yapılmıştır. Bu deneylerde asıl amacın hafif betonların eksenel basınc altında uzun süreli davranışının belirlenmesidir. Bu amaca yönelik olarak değişik sıcaklıklarında kür edilmiş betonlar belli yaşlarda gerilmelere maruz bırakılarak sünme ve rötre deformasyonları bulunmuştur. Bu gerilmeler kademeli olarak değiştirilip, her yüklemeye basamağına karşı gelen betonun sünmesi bulunmuştur.

Betonun değişken gerilmeler altındaki davranışını tesbit için sünme çerçeveleri kullanılmıştır. Burada iki çelik tabla arasına bir çelik yay ile prizmatik beton numunesi seri halde yerleştirilmiştir. Aletin üst tarafında bulunan civataların sıkıştırılması ile yayın yüksekliği azaltılmakta ve bu suretle beton üzerine istenilen kuvvet uygulanabilmektedir. Daha önceden numunelerin 4 ayrı yüzeyinin orta kısımlarına 20 cm aralıkta işaretlenerek yapıştırılan pullar yardımıyla deformasyonlar ölçülebilmektedir. Farklı zaman aralıklarında yapılan bu okumalar her numunde 4 yüzeyin ortalaması alınarak değerlendirilmiştir. Yalnız burada vaki olan kısalmadan dolayı yaylarda zamanla biraz gevşeme olmakta ve buna bağlı olarak da betona uygulanan

gerilmede bir miktar düşme meydana gelmektedir. Bu durum bu tür çerçevelerin olumsuz yönü olarak kabul edilir.

Betonların zamana bağlı deformasyonlarından bir diğeri olan rötre deformasyonları rötre çerçeveleri yardımı ile değişik zaman aralıklarında yapılan ölçümlerden bulunmuştur. Beton numunelerinin her bir yükleme basamağına gelen yaşlardaki basınç dayanımları ile elastisite modülleri 15x30 cm lik silindirik numuneler üzerinde yapılan deneylerden bulunmuştur. Bu deneyler Amsler marka 500 ton kapasiteli bir preste yapılmıştır. Elastisite modülleri Rilem metoduna göre gerçekleştirılmıştır. Bunun için deformasyonları gösteren komparometreli çerçeve silindirik numunelere takılarak yük uygulanmış ve deformasyonlar kaydedilmiştir. Uygulanan yük silindir basınç dayanımının 1/3 ile 1/10 arasında yükleme ve boşaltma olarak yapılmıştır.

#### 2.4. Deney Programı

Beton serilerine uygulanan deney programı Tablo 2.7 de gösterilmiştir. Beton serisindeki prizmatik numunelere yükleme yapılmadan önce aynı gün, silindirik numunelerden yararlanılarak bu serilere ait basınç dayanımları ile elastisite modülleri bulunmuştur. Her yükleme basamağından bu değerleri hesaplanan betona aynı yaşındaki basınç dayanımının 1/3 ünün altında kalmak üzere yükleme yapılmıştır. 1 günlük numuneler üretimden 24 saat sonra yükleme deneyine alınmıştır.

Deneylerde iki ayrı grupta beton üretilmiştir. 1. Grup betondan beş seri kullanılarak 20 °C, 40 °C, 60 °C, 70 °C ve 95 °C de kür edilmiştir. 2. Grup betonda ise üç seri kullanılmış olup 20 °C, 50 °C ve 80 °C de kür edilmişlerdir.

Her beton serisinde 5 adet 10x10x50 cm boyutunda prizmatik numunelerle, 12 adet 15x30 cm lik silindirik numuneler üretilmiştir. Toplam numune sayısı  $8 \times 5 = 40$  adet

Tablo 2.7. Uygulanın sünme deney programı

Kodlu betonun Yüklenme tipi (girişi)	1. Basamak Yükleme	2. Basamak Yükleme	3. Basamak Yükleme	4. Basamak Yükleme	5. Basamak Yükleme	6. Basamak Yükleme													
							Gün $N/mm^2$	$\sigma/f_c$	$\sigma$	$t_b$	$\sigma/f_c$	$\sigma$	$t_b$	$\sigma/f_c$	$\sigma$	$t_b$	$\sigma/f_c$	$\sigma$	$t_b$
A - 20	7	1.50	0.122	21	3.50	0.215	28	4.60	0.254	59	3.80	-	30	0	-	55	-	-	-
B - 40	3	1.30	0.112	18	3.50	0.229	28	4.00	0.247	28	5.70	0.324	28	4.70	-	27	0	-	68
C - 60	1	1.40	0.134	24	2.80	0.184	28	3.80	0.222	28	5.50	0.330	29	4.50	-	30	0	-	60
D - 70	1	1.00	0.095	7	2.80	0.222	32	3.80	0.246	30	5.20	0.337	44	4.20	-	29	0	-	57
E - 95	1	1.20	0.112	7	2.40	0.196	27	3.40	0.259	28	4.40	0.307	45	3.20	-	29	0	-	63
F - 20	7	1.80	0.158	21	2.70	0.189	28	3.20	0.200	28	2.50	-	28	0	-	38	-	-	-
G - 50	3	1.20	0.146	18	2.50	0.203	29	3.10	0.206	27	2.60	-	28	0	-	45	-	-	-
H - 80	2	1.50	0.157	24	3.00	0.229	28	3.40	0.234	28	2.80	-	28	0	-	40	-	-	-

prizmatik,  $8 \times 12 = 96$  adet silindirik numune kullanılmıştır. Her serideki beton prizmalardan 3 adedi sünme, 2 adedi de rötre deneyinde kullanılmıştır. Her yükleme basamağı için o basamaktaki beton dayanımını bulmak amacıyla 3 adet silindir numunesi kullanılmıştır.

Prizmatik numunelere sünme deneyi için başlangıçta uygulanan eksenel yükler artırılarak belli sürelerle uygunlanmış daha sonra yükleme basamağı düşürülerek deneye devam edilmiş ve belirlenen süre sonunda da yük numuneler tamamen boşaltılmıştır. Sünme deneylerinde okumaların yapıldığı top lam süre 1. Grup beton serilerinde 200 gün, 2. Grup beton serilerinde ise 150 gün olarak alınmıştır. Tüm deneylerde, her seri için kullanılan numunelerden elde edilen sonuçların aritmetik ortalaması alınarak kesin değerler bu sonuçlara göre saptanmıştır.

Prizmatik numuneler üzerinde rötre çerçeveleri yardımıyla hafif beton serilerine ait rötre deformasyonları bulunmuştur. Her beton serisi için rötre ve sünme deformasyon ölçümleri aynı anda başlatılmıştır. Belirli zaman aralıklarında yapılan okumaların ortalaması alınarak betonun serbest halde ilk yükleme yaşıından itibaren yapacağı rötre deformasyonu yükleme süresince bulunmuştur.

## BÖLÜM 3 - DENEY SONUÇLARI

Bu çalışmada elde edilen deney sonuçları tablolar ve şekiller halinde verilecektir. Bu tablo ve şekillerde açıklanması gereken hususlar da yine bu bölümde ayrıca verilecektir.

### 3.1. Kısa Süreli Deney Sonuçları

Üretilen beton serilerindeki prizmatik numunelere sünme deneyi için yükleme yapılmadan önce her yükleme basamakındaki beton basınc dayanımları ile elastisite modülleri silindirik numunelerden yararlanılarak bulunmuştur. Böylece gerilmenin arttırıldığı her yükleme basamağındaki yaşıta basınç dayanımı ile elastisite modülü bulunan betona, basınç dayanımının  $1/3$  ünün altında kalınmak üzere uzun süreli deneyler için yükleme yapılmıştır.

Elastisite modülünün hesabında, betonun gerilme-defor-masyon eğrisinin başlangıçta lineer davranış gösterdiği göz-önüne alınarak, basınç dayanımının bu  $1/3$  lük kısmından, (ölçü hatalarının önemli olabildiği ilk iki nokta dikkate alınmayarak) lineer korrelasyonla elastisite modülü hesap-lanmıştır.

Bütün beton serilerine ait kısa süreli deney sonuçları Tablo 3.1 de verilmiştir. Sonuçların mutlak değerleri aynı birim ağırlıktaki serilerde,  $20^{\circ}\text{C}$  de normal kür edilmiş 28 günlük kontrol numunelerinden elde edilen değere oranla-narak Tablo 3.2 de relativ deney sonuçları verilmiştir.

Tablo 3.1. Kısa süreli deney sonuçları

Beton kodu	Beton yaşı (gün)	Basınç dayanımı (N/mm <sup>2</sup> )	Elastisite modülü x10 <sup>3</sup> (N/mm <sup>2</sup> )
A - 20	7	12.30	13.97
	28	16.25	17.11
	56	18.10	17.45
B - 40	3	11.60	12.90
	21	15.30	17.00
	49	16.20	18.00
	77	17.60	16.90
C - 60 Kontrol	1	10.40	13.00
	25	15.20	15.90
	53	17.05	17.40
	81	16.65	16.70
D - 70	1	10.47	13.76
	8	12.62	16.45
	40	15.45	17.00
	70	15.40	16.62
E - 95	1	10.70	13.30
	8	12.25	15.15
	35	13.10	15.45
	63	14.30	15.37
F - 20	7	11.40	9.49
	28	14.25	10.50
	56	16.00	10.76
G - 50	3	8.20	7.38
	21	12.30	10.00
	50	15.00	9.10
H - 80	2	9.50	7.81
	26	13.10	9.25
	54	14.50	8.38

Tablo 3.2. Kısa süreli relativ deney sonuçları

Beton kodu	Beton yaşı (gün)	Basınç dayanımı $f_c/f_{c20}$	Elastisite modülü $E/E_{20}$
A - 20	7	0.75	0.82
	28	1.00*	1.00°
	56	1.11	1.02
B - 40	3	0.71	0.75
	21	0.94	0.99
	49	0.99	1.05
	77	1.08	0.99
C - 60 Kontrol	1	0.64	0.76
	25	0.93	0.93
	53	1.05	1.07
	81	1.02	0.97
D - 70	1	0.64	0.80
	8	0.78	0.96
	40	0.95	0.99
	70	0.95	0.97
E - 95	1	0.66	0.78
	8	0.75	0.88
	35	0.81	0.90
	63	0.88	0.90
F - 20	7	0.80	0.90
	28	1.00*	1.00°
	56	1.12	1.02
G - 50	3	0.57	0.70
	21	0.86	0.95
	50	1.05	0.87
H - 80	2	0.66	0.74
	26	0.92	0.88
	54	1.02	0.80

### 3.2. Uzun Süreli Deney Sonuçları

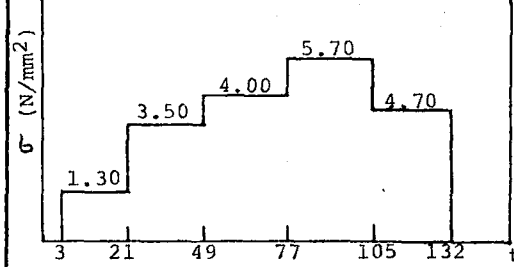
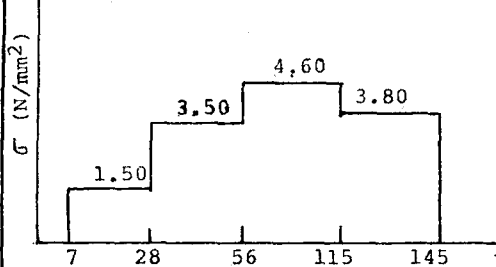
Üretilen betonlara 2. bölümde açıklandığı üzere Tablo 2.7 de gösterilen deney programı uygulanmıştır. Sünme çerçevesi kullanılarak uygulanan bu programla numunelere ait boyuna doğrultudaki toplam deformasyonlar ( $\epsilon$ ) bulunmaktadır. Bu deformasyonlar 10x10x50 cm boyutundaki prizmatik numunelerin dört yüzüne 20 cm aralıkla yapıştırılan özel pullar yardımıyla demec no 1401 marka mekanik ekstansometre ile  $10 \times 10^{-6}$  hassasiyetle ölçülmüşdür. Ölçümler farklı zaman aralıklarında numunelerin dört ayrı yüzeyinden yapılan okumaların ortalaması alınarak yapılmıştır. Yapılan ölçümlerden bu toplam deformasyonlar bulunduktan sonra sünme deformasyonları hesaplanmıştır. sünme deformasyonları ( $\epsilon_s$ ), toplam deformasyondan uygulanan yük altında meydana gelen ani deformasyonun çıkarılmasıyla elde edilmiştir.

Sünme deneylerinden elde edilen sonuçlar Tablo 3.3, 3.4, 3.5 ve 3.6 da, bu ilişkiye gösteren  $\epsilon$ -t eğrileri ise Şekil 3.1, 3.2, 3.3, 3.4, 3.5, 3.6, 3.7 ve 3.8 de verilmiştir.

Rötre deneylerinde boyuna deformasyonlar rötre ölçme aleti yardımıyla  $20 \times 10^{-6}$  hassasiyetle ölçülmüş her serideki betonlar için bulunmuştur. Bu serilerdeki betonlarda rötre deformasyon ölçümleri her seri için sünme deneyi ile aynı anda başlatılmıştır. Tablo 3.7 de rötre deney sonuçları verilmiştir.

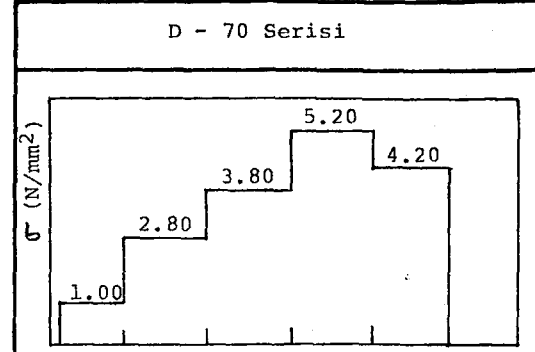
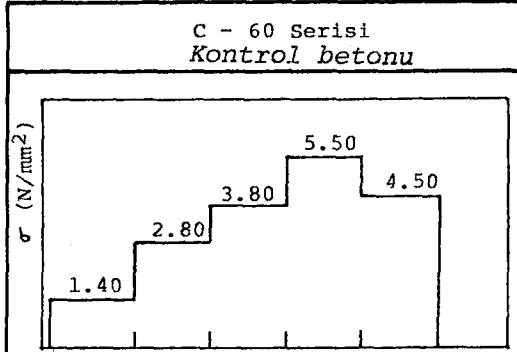
Tablo 3.3. Sertleşmiş beton serilerine ait sünme deney sonuçları

A - 20 Serisi			B - 40 Serisi		
t (gün)	$\varepsilon$ $\times 10^{-6}$	$\varepsilon_s$ $\times 10^{-6}$	t (gün)	$\varepsilon$ $\times 10^{-6}$	$\varepsilon_s$ $\times 10^{-6}$
7	165	0	115	1270	949
8	248	83	116	1252	931
9	270	105	117	1244	923
11	325	160	120	1249	928
14	404	239	123	1252	931
16	434	269	125	1250	929
22	476	311	127	1259	938
28	510	345	130	1256	935
			135	1261	940
28	652	345	140	1268	947
29	675	368	145	1274	953
30	720	413			
32	778	471	145	1124	953
34	790	483	146	1100	929
36	806	499	147	1061	890
40	844	537	150	1036	865
42	872	565	153	1033	862
45	909	602	160	1017	846
50	944	637	168	981	810
56	981	674	180	977	806
			200	984	813
56	1016	674			
57	1054	712			
58	1054	712			
60	1091	749			
62	1095	753			
65	1110	768			
70	1148	806			
75	1177	835			
80	1198	856			
88	1217	875			
95	1232	890			
100	1244	902			
105	1255	913			
115	1291	949			



Tablo 3.4. Sertleşmiş beton serilerine ait sünme deney sonuçları

C - 60 Serisi Kontrol betonu						D - 70 Serisi					
t (gün)	$\varepsilon$ $\times 10^{-6}$	$\varepsilon_s$ $\times 10^{-6}$	t (gün)	$\varepsilon$ $\times 10^{-6}$	$\varepsilon_s$ $\times 10^{-6}$	t (gün)	$\varepsilon$ $\times 10^{-6}$	$\varepsilon_s$ $\times 10^{-6}$	t (gün)	$\varepsilon$ $\times 10^{-6}$	$\varepsilon_s$ $\times 10^{-6}$
1	210	0	81	1535	1141	1	124	0	70	1350	939
2	324	114	82	1572	1178	2	192	68	71	1364	953
3	380	170	83	1610	1216	3	225	101	73	1372	961
4	425	215	85	1621	1227	5	265	141	77	1418	1007
7	536	326	87	1638	1244	7	315	191	80	1444	1033
10	590	380	90	1682	1288	8	326	202	85	1495	1084
13	642	432	95	1700	1306				90	1520	1109
15	672	462	98	1713	1319	8	462	202	96	1548	1137
18	715	505	105	1764	1370	9	528	268	100	1566	1155
20	748	538	107	1781	1387	10	600	340	105	1596	1185
25	782	572	110	1784	1390	13	683	423	110	1618	1202
						16	742	482	114	1631	1220
25	853	572	110	1728	1390	20	814	554			
26	918	637	111	1728	1390	25	874	614	114	1566	1220
27	950	669	113	1714	1376	28	893	633	115	1556	1210
30	1004	723	117	1716	1378	30	898	638	117	1528	1182
33	1025	744	120	1717	1379	33	925	665	120	1531	1185
35	1046	765	125	1727	1389	35	943	683	125	1535	1189
39	1076	795	132	1752	1414	38	955	695	130	1543	1197
40	1098	817	140	1770	1432	40	983	773	133	1542	1196
45	1124	843							138	1547	1201
46	1130	849	140	1576	1432	40	1042	723	143	1554	1208
50	1178	897	141	1523	1379	41	1052	733			
53	1199	918	143	1491	1347	43	1088	770	143	1348	1208
			148	1440	1296	45	1119	800	144	1320	1180
53	1243	918	152	1437	1293	48	1135	816	145	1295	1155
54	1281	956	160	1415	1271	50	1157	838	147	1227	1087
55	1293	968	175	1390	1246	53	1182	863	150	1218	1078
57	1304	979	180	1387	1243	56	1206	887	155	1176	1036
60	1325	1000	190	1383	1239	60	1232	913	165	1148	1008
65	1376	1051	200	1385	1241	65	1235	916	178	1134	994
68	1400	1075				70	1258	939	180	1133	993
72	1407	1082							200	1124	984
75	1439	1114									
80	1448	1123									
81	1466	1141									

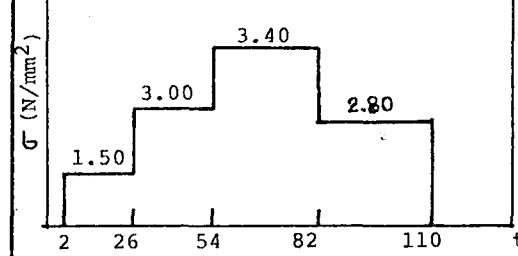
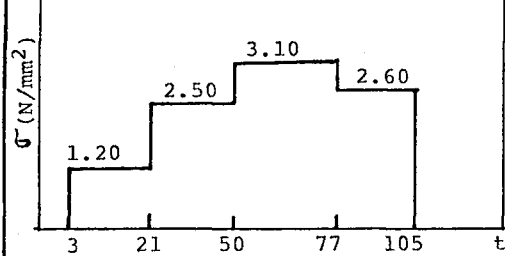


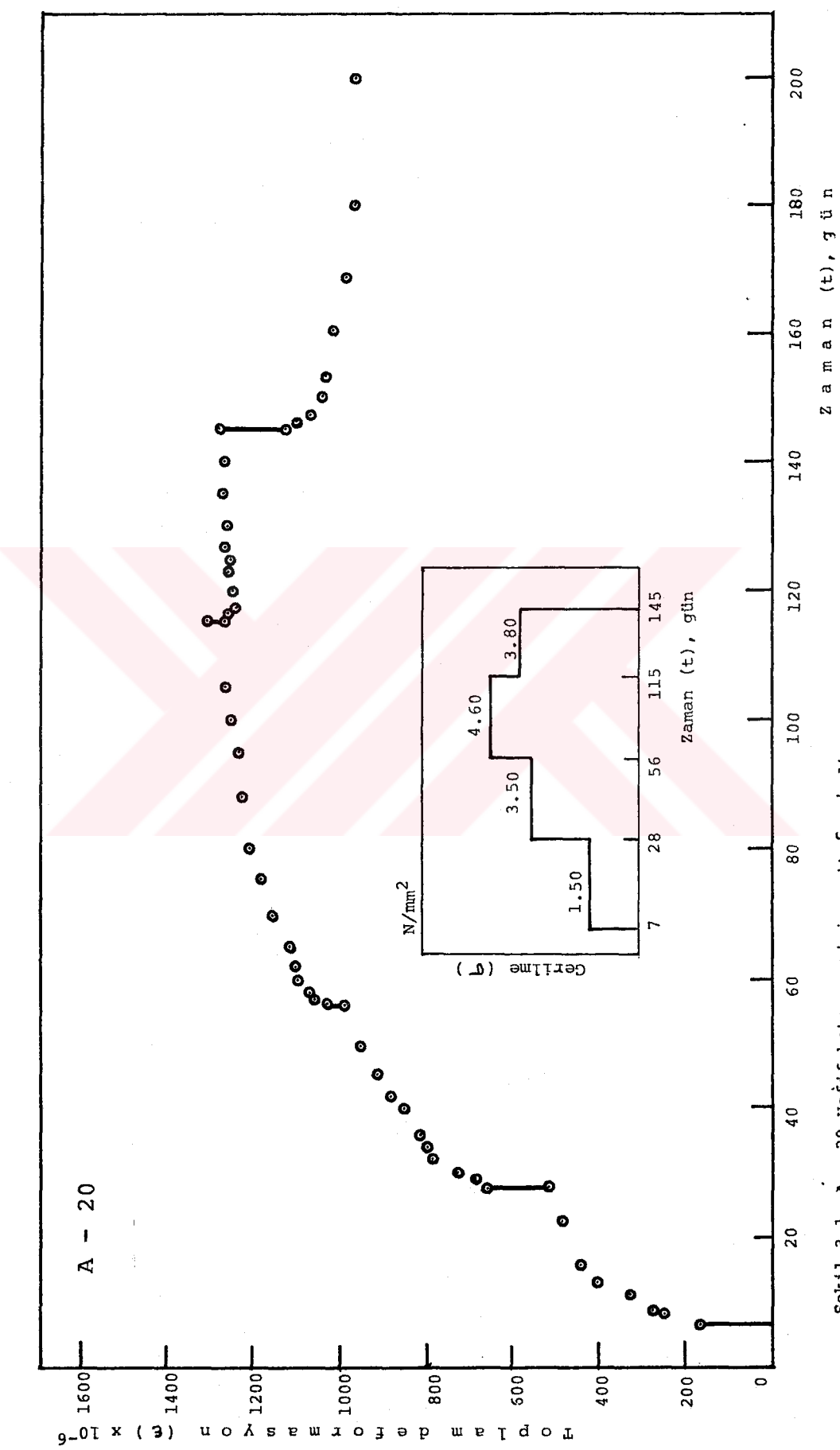
Tablo 3.5. Sertleşmiş beton serilerine ait sünme deney sonuçları

E - 95 Serisi						F - 20 Serisi					
$t$ (gün)	$\varepsilon$ $\times 10^{-6}$	$\varepsilon_s$ $\times 10^{-6}$	$t$ (gün)	$\varepsilon$ $\times 10^{-6}$	$\varepsilon_s$ $\times 10^{-6}$	$t$ (gün)	$\varepsilon$ $\times 10^{-6}$	$\varepsilon_s$ $\times 10^{-6}$	$t$ (gün)	$\varepsilon$ $\times 10^{-6}$	$\varepsilon_s$ $\times 10^{-6}$
1	92	0	63	1027	728	7	252	0	84	1519	1181
2	160	68	64	1053	754	8	415	163	85	1518	1180
3	188	96	65	1057	758	10	522	270	86	1516	1178
5	237	145	68	1105	806	12	620	368	88	1517	1177
7	257	165	70	1109	810	14	690	438	90	1520	1178
8	260	178	73	1134	835	18	770	518	94	1522	1173
			75	1156	857	21	818	566	96	1521	1178
8	364	178	78	1169	870	25	843	591	98	1520	1178
9	403	202	80	1177	878	28	862	610	102	1529	1180
10	456	255	84	1192	893				105	1530	1186
11	494	290	90	1203	904	29	1026	659	110	1538	1196
12	507	306	95	1219	920	30	1066	699	112	1550	1212
15	539	338	100	1231	932	32	1118	751	112	1349	1212
17	576	375	105	1262	963	35	1160	793	113	1515	1178
20	594	393	108	1280	981	38	1204	837	115	1282	1144
22	614	413				42	1221	854	118	1239	1102
25	641	440	108	1188	981	45	1262	895	121	1220	1083
30	653	452	109	1186	979	48	1293	926	125	1176	1039
35	715	514	110	1166	959	50	1298	931	130	1158	1021
			112	1163	956	52	1319	952	135	1154	1017
35	764	514	115	1126	919	56	1350	983	142	1151	1014
36	774	524	118	1148	941				150	1152	1015
37	804	556	120	1143	936						
38	824	574	125	1136	929	56	1391	983			
40	831	581	130	1132	925	57	1402	994			
42	858	598	137	1135	928	58	1414	1006			
45	887	637				60	1452	1044			
48	910	660	137	946	928	63	1480	1072			
50	922	672	138	884	866	65	1481	1073			
55	944	694	139	849	831	68	1519	1111			
60	961	711	140	819	801	71	1532	1124			
63	978	728	144	731	713	75	1547	1139			
			150	690	672	78	1553	1145			
			155	656	638	81	1562	1154			
			160	655	637	84	1589	1181			
			170	597	579						
			180	578	560						
			200	567	549						

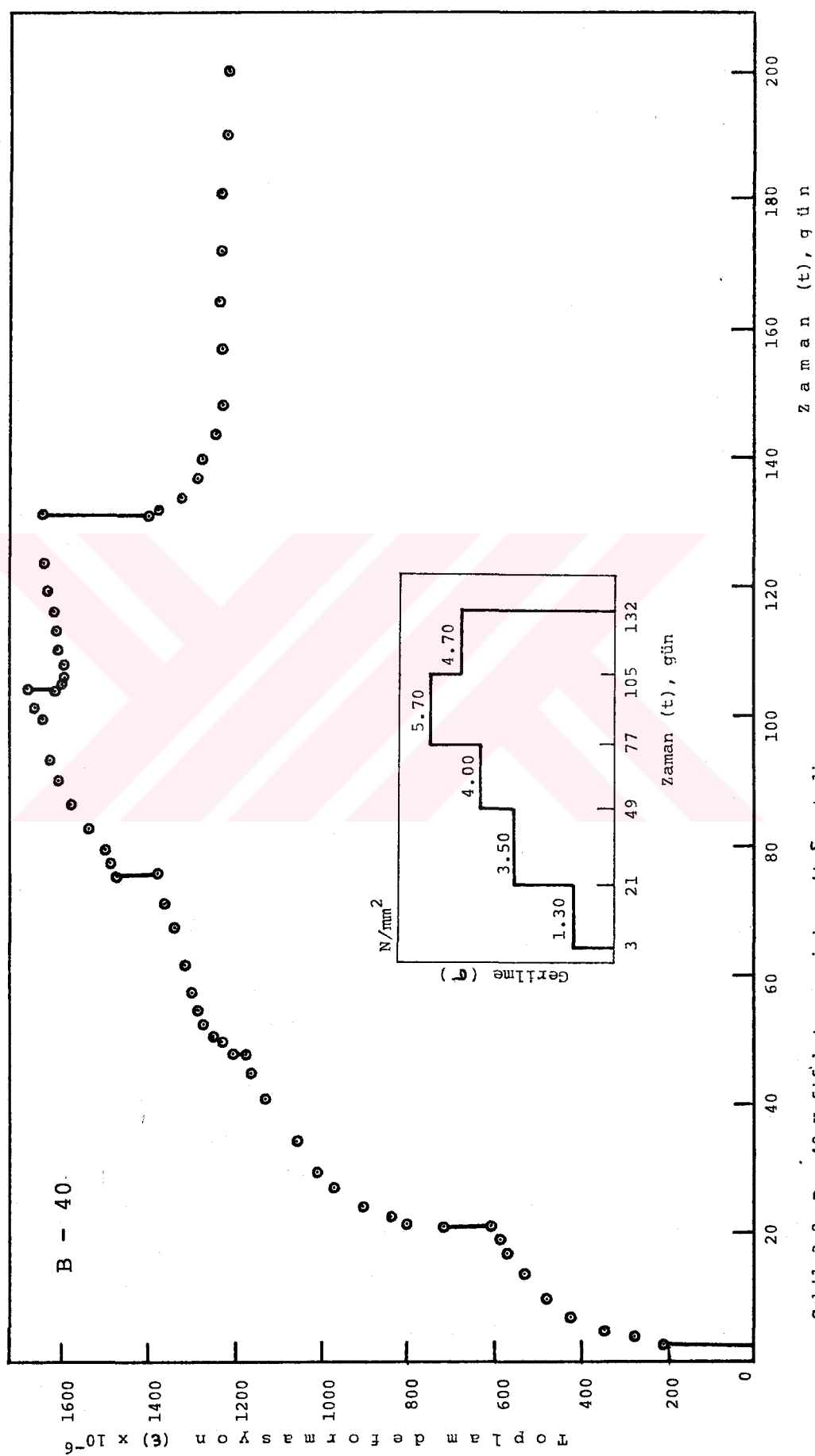
Tablo 3.6. Sertleşmiş beton serilerine ait sünme deney sonuçları

G - 50 Serisi						H - 80 Serisi					
t (gün)	$\epsilon$ $\times 10^{-6}$	$\epsilon_s$ $\times 10^{-6}$	t (gün)	$\epsilon$ $\times 10^{-6}$	$\epsilon_s$ $\times 10^{-6}$	t (gün)	$\epsilon$ $\times 10^{-6}$	$\epsilon_s$ $\times 10^{-6}$	t (gün)	$\epsilon$ $\times 10^{-6}$	$\epsilon_s$ $\times 10^{-6}$
3	225	0	77	1478	1108	2	265	0	82	1565	1193
4	313	88	78	1466	1096	3	364	99	83	1557	1185
5	397	172	79	1454	1084	5	520	255	85	1552	1180
7	448	223	80	1444	1074	7	570	305	90	1546	1174
10	543	318	83	1441	1071	10	635	370	93	1568	1196
14	588	363	85	1443	1073	12	700	435	100	1566	1194
18	615	390	90	1464	1094	15	714	449	104	1573	1201
21	680	455	94	1477	1107	18	768	503	108	1595	1223
			97	1489	1119	20	770	505	110	1603	1231
21	822	455	100	1500	1130	23	778	513			
22	864	497	102	1504	1134	26	840	585	110	1234	1231
23	935	568	105	1514	1144				111	1212	1209
25	974	607				26	1000	585	112	1172	1169
28	1049	682	105	1280	1144	27	1066	651	113	1114	1111
30	1072	705	106	1183	1047	28	1114	699	117	1070	1067
33	1097	730	107	1166	1030	30	1147	732	120	1027	1024
35	1119	752	110	1096	960	33	1183	768	125	1026	1023
38	1157	790	113	1081	945	36	1261	846	128	1013	1010
40	1178	811	115	1068	932	40	1299	884	132	981	978
45	1200	833	120	1024	888	43	1320	905	138	976	973
50	1250	883	124	1007	871	45	1336	921	145	973	970
			130	1015	879	50	1880	965	150	952	949
50	1292	883	138	1003	867	54	1419	1004			
51	1332	923	142	987	851	54	1439	1004			
52	1356	947	150	978	842	55	1474	1039			
54	1369	960				57	1499	1064			
57	1408	999				60	1527	1092			
60	1422	1013				62	1533	1098			
62	1452	1043				65	1547	1112			
65	1461	1052				70	1573	1138			
68	1481	1072				73	1593	1158			
70	1487	1078				77	1614	1179			
75	1508	1099				80	1630	1195			
77	1517	1108				82	1628	1193			

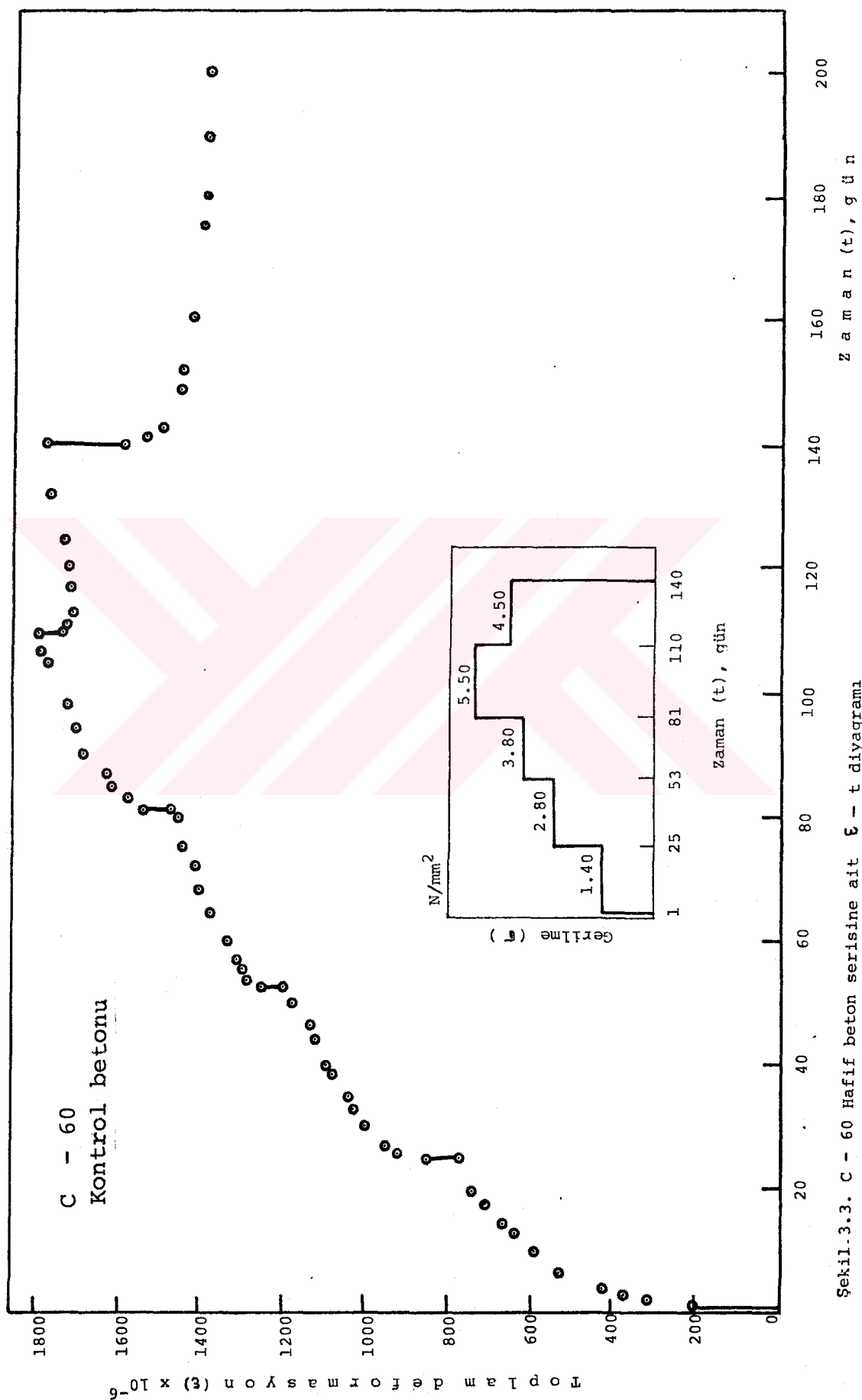




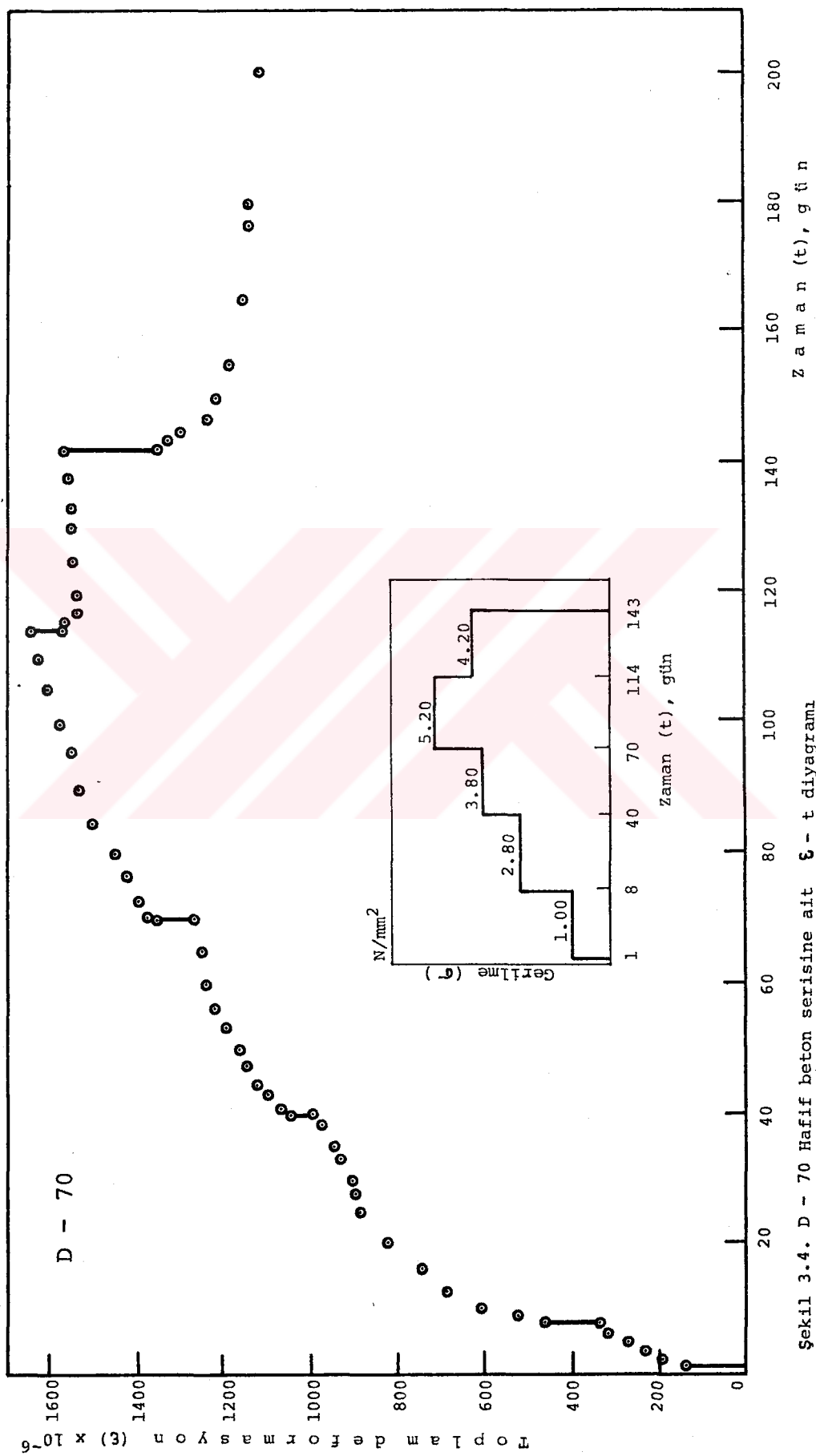
Şekil 3.1. A - 20 Hafif beton serisine ait  $\epsilon$  - t diyagramı



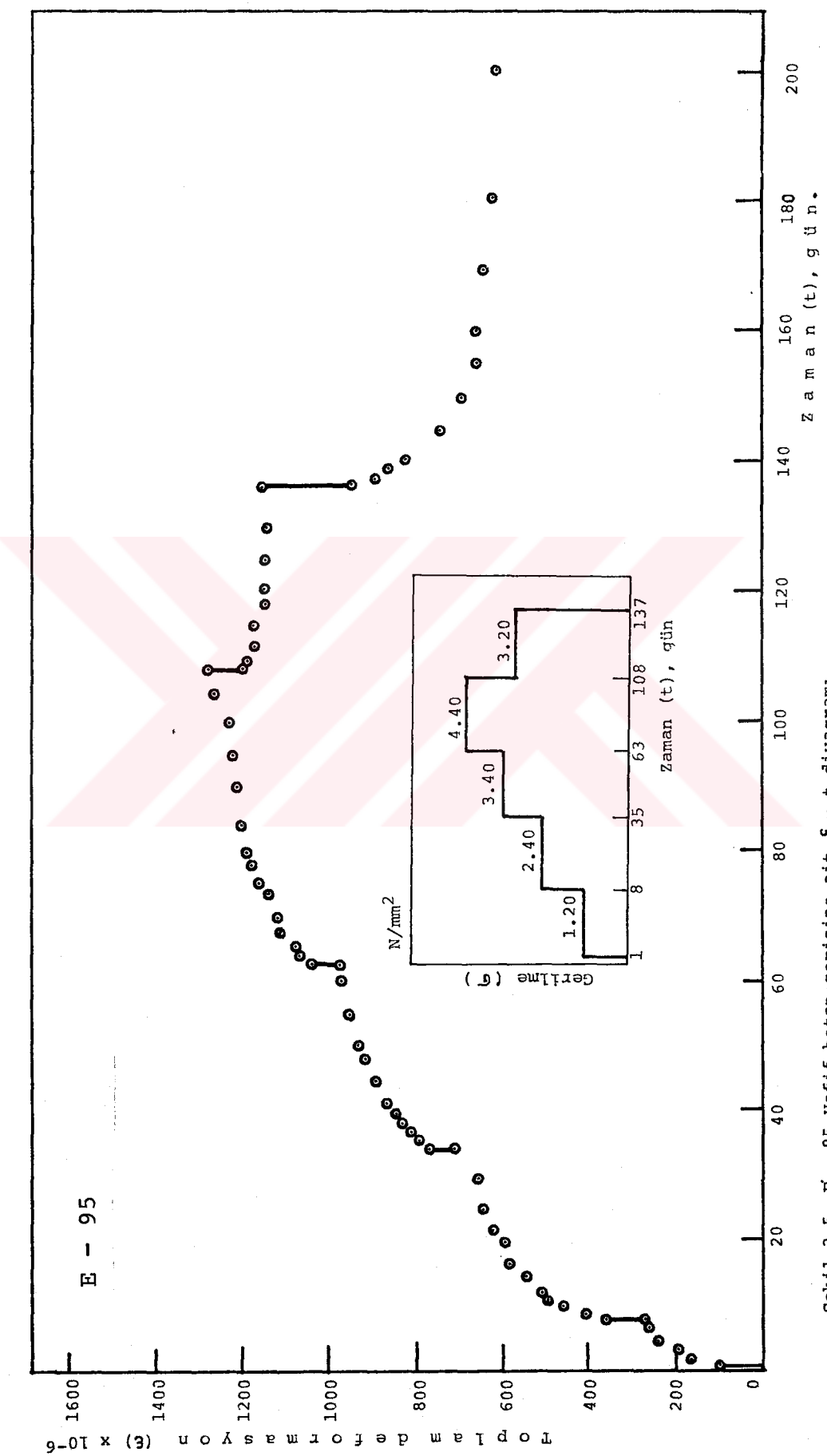
Şekil 3.2. B - 40 Hafif beton serisine ait  $\sigma - t$  diyagramı



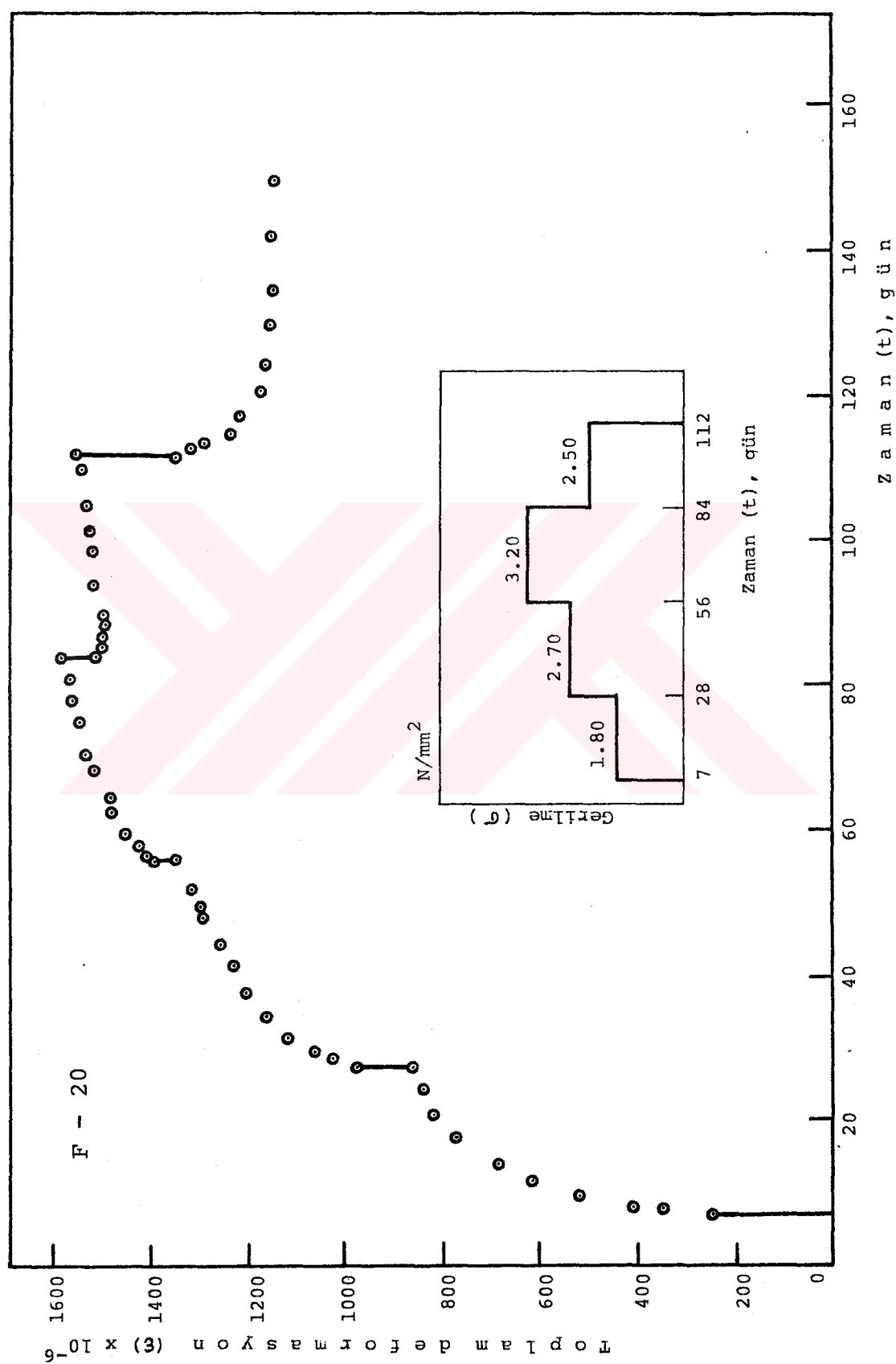
Sekil 3.3. C - 60 Hafif beton serisine ait  $\epsilon$  - t diyagramı



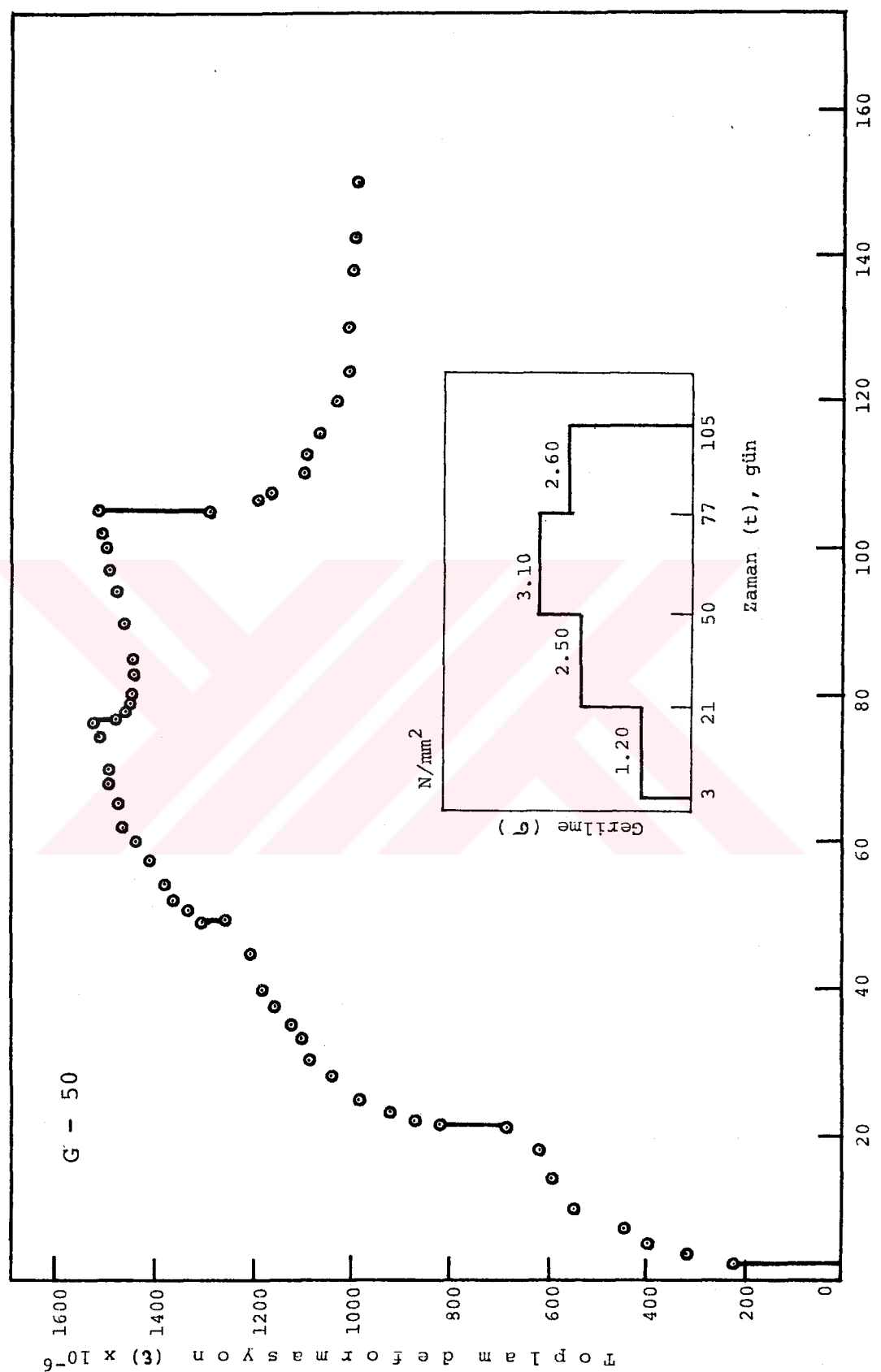
Sekil 3.4. D - 70 Hafif beton serisine ait  $E - t$  diyagramı



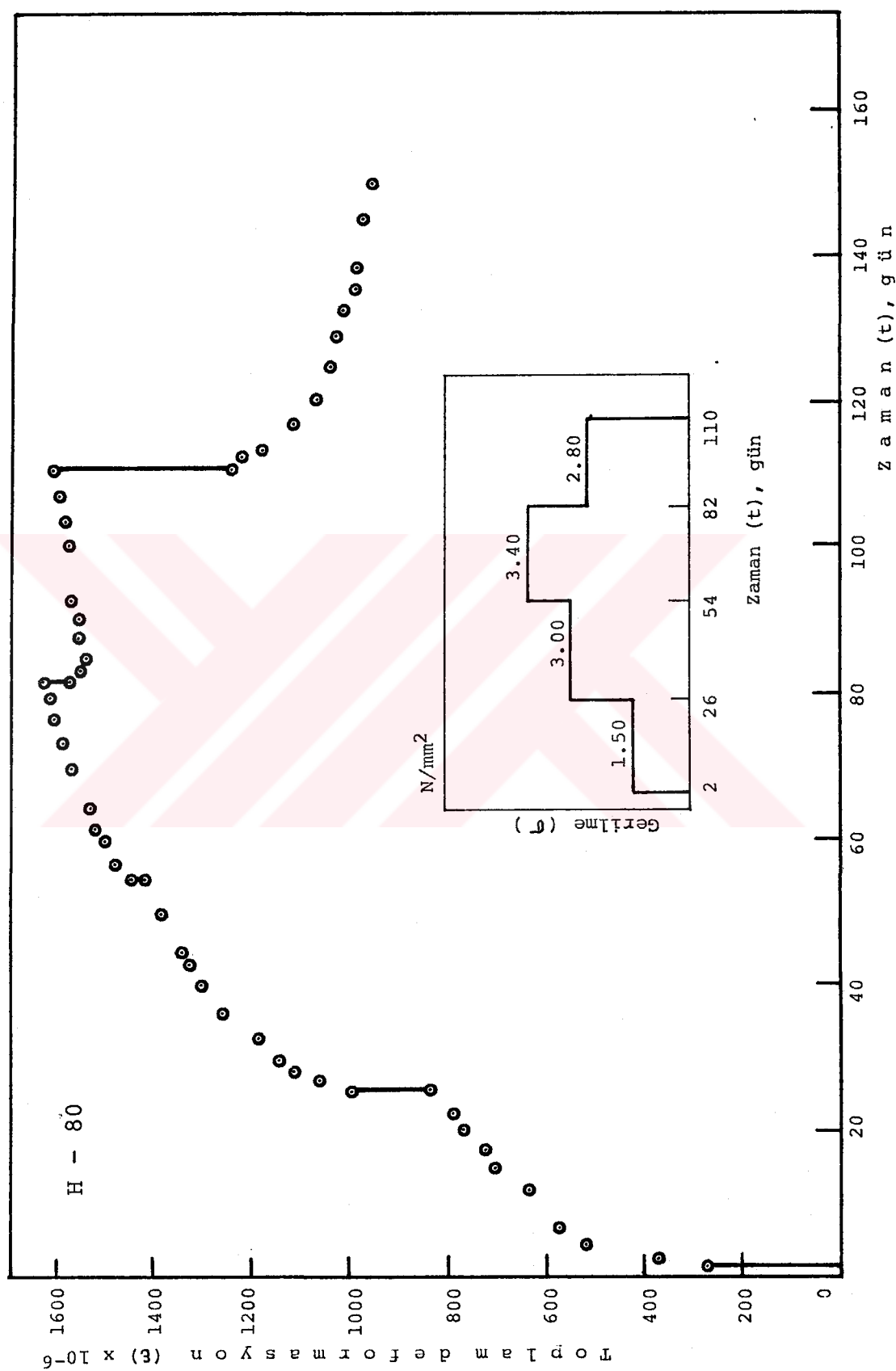
Sekil 3.5. E - 95 Hafif beton serisine ait  $\epsilon$  - t diyagramı



Sekil 3.6. F - 20 Hafif beton serisine ait  $\epsilon$  - t diyagramı



Şekil 3.7. G - 50 Hafif beton serisine ait  $\varepsilon - t$  diyagramı Zaman (t), gün



Sekil 3.8. H - 80 Hafif beton serisine ait  $\epsilon$ - $t$  diyagramı

T Tablo 3.7. Rötre deney sonuçları

1. Grup hafif beton serilleri ( $\cdot 10^{-6}$ )										2. Grup hafif beton serilleri ( $\cdot 10^{-6}$ )									
A - 20	B - 40	C - 60	D - 70	E - 95	F - 20	G - 50	H - 80	t	$\epsilon_r$	t	$\epsilon_r$	t	$\epsilon_r$	t	$\epsilon_r$	t	$\epsilon_r$	t	$\epsilon_r$
0	0	0	0	0	0	0	0	0	0	0	0	0	0	0	0	0	0	0	0
1	35	1	20	1	35	1	26	1	22	1	18	1	16	1	16	1	16	1	10
3	78	3	62	3	76	3	100	3	122	3	36	3	65	3	65	3	65	3	14
5	120	5	78	5	185	7	245	7	315	5	45	7	148	5	148	5	148	5	50
7	184	8	104	10	300	10	390	12	360	7	90	10	180	7	180	7	180	7	80
10	228	15	256	17	450	15	550	15	440	10	140	15	222	10	222	10	222	10	110
15	350	21	300	25	545	21	600	20	462	12	168	20	290	12	290	12	290	12	132
21	500	30	412	36	600	28	645	27	550	15	215	25	310	15	310	15	310	15	154
28	615	37	475	42	635	35	700	36	600	20	342	30	360	20	360	20	360	20	180
35	640	45	530	50	680	41	720	45	616	25	450	40	395	25	395	25	395	25	198
41	658	55	621	58	685	46	725	52	635	27	460	52	452	27	452	27	452	27	204
46	690	64	645	65	688	50	730	60	650	32	515	65	475	32	475	32	475	32	228
50	712	72	676	72	700	56	745	74	655	40	566	78	478	40	478	40	478	40	246
56	718	90	750	84	715	65	740	86	660	52	670	90	478	52	478	52	478	52	282
65	730	105	785	90	732	72	750	98	660	60	680	102	486	60	486	60	486	60	298
72	775	122	800	105	738	85	752	112	662	78	800	115	490	78	490	78	490	78	365
85	808	135	802	117	742	90	776	125	670	90	844	130	498	90	498	90	498	90	372
90	810	144	802	128	745	100	780	130	678	102	956	145	510	102	510	102	510	102	380
100	826	158	800	140	750	115	782	142	700	115	1006	160	510	115	510	115	510	115	395
115	850	171	810	148	760	123	782	160	690	121	1022	172	512	121	512	121	512	121	398
123	876	190	818	170	765	135	782	172	695	130	1035	180	514	130	514	130	514	130	410
135	884	205	820	178	770	150	776	180	698	145	1110	200	558	145	558	145	558	145	424
150	918	228	825	190	770	172	790	196	700	160	1212	230	565	160	565	160	565	160	426
172	930	250	840	205	785	180	795	220	700	180	1230	250	602	180	602	180	602	180	430
180	945	250	230	230	790	200	795	250	712	200	1280	200	1280	200	1280	200	1280	200	448
200	962	250	250	250	795	220	795	250	712	200	1320	230	1320	230	1320	230	1320	230	452
220	976	250	250	250	795	220	795	250	712	200	1320	230	1320	230	1320	230	1320	230	452
250	988	250	250	250	795	220	795	250	712	200	1320	230	1320	230	1320	230	1320	230	452

## BÖLÜM 4 - DENEY SONUCLARININ DEĞERLENDİRİLMESİ VE İRDELENMESİ

Bu bölümde çalışmanın deneysel sonuçları ışığında, ıslı işlem görmüş hafif betonların uzun süreli davranışları değerlendiriliip irdelenmiştir. Bu amaca yönelik olarak, taze betonların özellikleri ve kısa süreli yüklemeler altın-daki basınç dayanımları ile elastisite modüllerinin yükleme yaşıyla olan değişimleri irdelenmiştir.

### 4.1. Taze Betonun Özelliklerinin Değerlendirilmesi ve İrdelenmesi

Tablo 2.5'in incelenmesiyle görülebileceği üzere her iki grup betonda Ve-Be sürelerinin aynı olmasına karşın, çökme değerleri farklı çıkmaktadır. Birinci grup beton serilerinde çökme miktarı daha fazladır. Bu değerin aynı birim ağırlıktaki beton serilerinde benzer çıkması beton üretiminde gereken hassasiyetin gösterildiğini ifade etmektedir.

Ayrıca her iki beton grubunda ayırtma görülmemiştir. Bunun nedeni, üretilen betonların 0/2 mm.lik ince agregat bölümünde kum kullanılması ile taze beton kohezyonunun yüksek olması ve bunun yanında hafif betonda, birinci grup serilerde 16/25 mm.lik iri bölümde kısmen kırmatas, ikinci grup hafif beton serilerinde ise hiç kırmatas kullanılmaması buna neden olarak açıklanabilir.

### 4.2. Kısa Süreli Deney Sonuçlarının Değerlendirilmesi ve İrdelenmesi

Yapılan bu çalışma hafif betonların kısa süreli yükler altındaki davranışının belirlenmesi olmamakla birlikte, sünme deneyleri için yükleme yapılmadan önce, her yükleme basamağındaki beton basınç dayanımı ile elastisite

## BÖLÜM 4 - DENEY SONUÇLARININ DEĞERLENDİRİLMESİ VE İRDELENMESİ

Bu bölümde çalışmanın deneysel sonuçları ışığında, ıslık işlem görmüş hafif betonların uzun süreli davranışları değerlendirilip irdelenmiştir. Bu amaca yönelik olarak, taze betonların özellikleri ve kısa süreli yüklemeler altındaki basınç dayanımları ile elastisite modüllerinin yükleme yaşıyla olan değişimleri irdelenmiştir.

### 4.1. Taze Betonun Özelliklerinin Değerlendirilmesi ve İrdelenmesi

Tablo 2.5'in incelenmesiyle görülebileceği üzere her iki grup betonda Ve-Be sürelerinin aynı olmasına karşın, çökme değerleri farklı çıkmaktadır. Birinci grup beton serilerinde çökme miktarı daha fazladır. Bu değerin aynı birim ağırlıktaki beton serilerinde benzer çıkması beton üretiminde gereken hassasiyetin gösterildiğini ifade etmektedir.

Ayrıca her iki beton grubunda ayırtma görülmemiştir. Bunun nedeni, üretilen betonların 0/2 mm.lik ince agregat bölümünde kum kullanılması ile taze beton kohezyonunun yüksek olması ve bunun yanında hafif betonda, birinci grup serilerde 16/25 mm.lik iri bölümde kısmen kırmataş, ikinci grup hafif beton serilerinde ise hiç kırmataş kullanılmaması buna neden olarak açıklanabilir.

### 4.2. Kısa Süreli Deney Sonuçlarının Değerlendirilmesi ve İrdelenmesi

Yapılan bu çalışma hafif betonların kısa süreli yükler altındaki davranışının belirlenmesi olmamakla birlikte, sünme deneyleri için yükleme yapılmadan önce, her yükleme basamağındaki beton basınç dayanımı ile elastisite

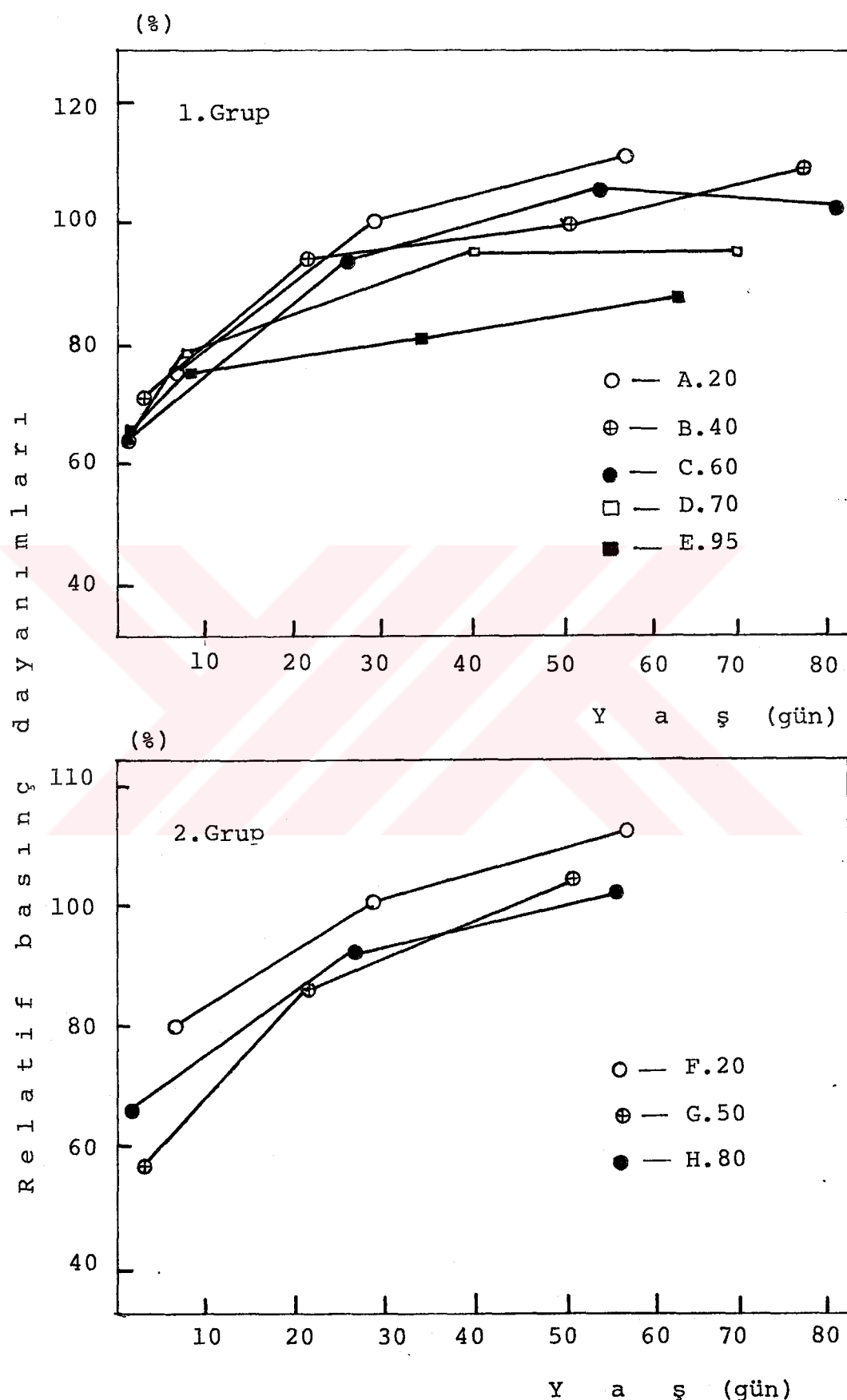
modülünün bilinmesi  $\sigma/f_c$  oranının belirlenmesi, lineer bölgdedeki yerin tesbiti bakımından daha gerçekçi bir yaklaşımındır [41].

Tüm beton serilerine ait yükleme basamaklarındaki beton yaşına karşı gelen kısa süreli deney sonuçları Tablo 3.1 de gösterilmiştir. Tablo 3.2 de ise birinci grup betonda A-20 serisinin 28.ci gündeki değerlerine oranlanarak, ikinci grup betonda ise F-20 serisinin 28.ci gündeki değerlerine oranlanarak gösterilmiştir. Hafif betonların değişik zamanlardaki basınç dayanımları ile elastisite modüllerinin sünme deneylerindeki beton yükleme yaşı ile olan bu değişimleri 20 °C de kür edilmiş betonun 28 günlük değerlerinin yüzdesi cinsinden Şekil 4.1 ve 4.2 de gösterilmiştir.

Şekil 4.1 in incelenmesinde basınç dayanımlarının beton yaşı ile değişimlerini her serideki beton için şu şekilde özetlemek mümkündür;

- Beton basınç dayanımı ilk günlerde işlem sıcaklığı ile artarken belli bir gün sonunda dayanım hızı kontrol beton dayanım hızına göre daha az olmaktadır. Relatif basınç dayanımındaki gidiş çizgisi incelendiğinde ilginç ve dikkati çeken yönün 95 °C sıcaklığındaki eğrinin, grafiğin en alt bölgesinde ve diğerlerinden oldukça uzakta bulunmasıdır. Bu durum, işlem sıcaklığındaki artışla beton basınç dayanımını ileri yaşlarda azaltabileceğini göstermektedir. Isıl işlem görmüş betonlarda ileri yaşlardaki dayanım kontrol beton dayanımının altında kalmaktadır.

- Isıl işlem sıcaklığının betonun dayanım kazanma hızında belli bir azalmaya neden olduğu söylenebilir. Bu azalma birim ağırlığı fazla olan betonda (1.Grup) daha çoktur.



Şekil 4.1. Basınç dayanımının yükleme yaşı ile değişimi

- 1. Grup hafif beton serilerinde ilk günlerde en büyük artış D.70 betonunda meydana gelirken artış hızı ileriki günlerde en aza inerek yatay asimetrik hale gelmektedir. Benzer durum E.95 serisinde daha alt düzeyde meydana gelmekteydi.

İsıl işlem uygulamasının hafif betonun erken yaşlarda dayanımını artırdığı, ileri yaşlarda potansiyel dayanım artışındaki azalmanın, normal beton için olandan daha az olduğu bilinmektedir [3].

Bu değerlendirmenin ışığında buradaki sonuçlarla karşılaştırıldığında her iki sonucun benzer olduğu görülmektedir.

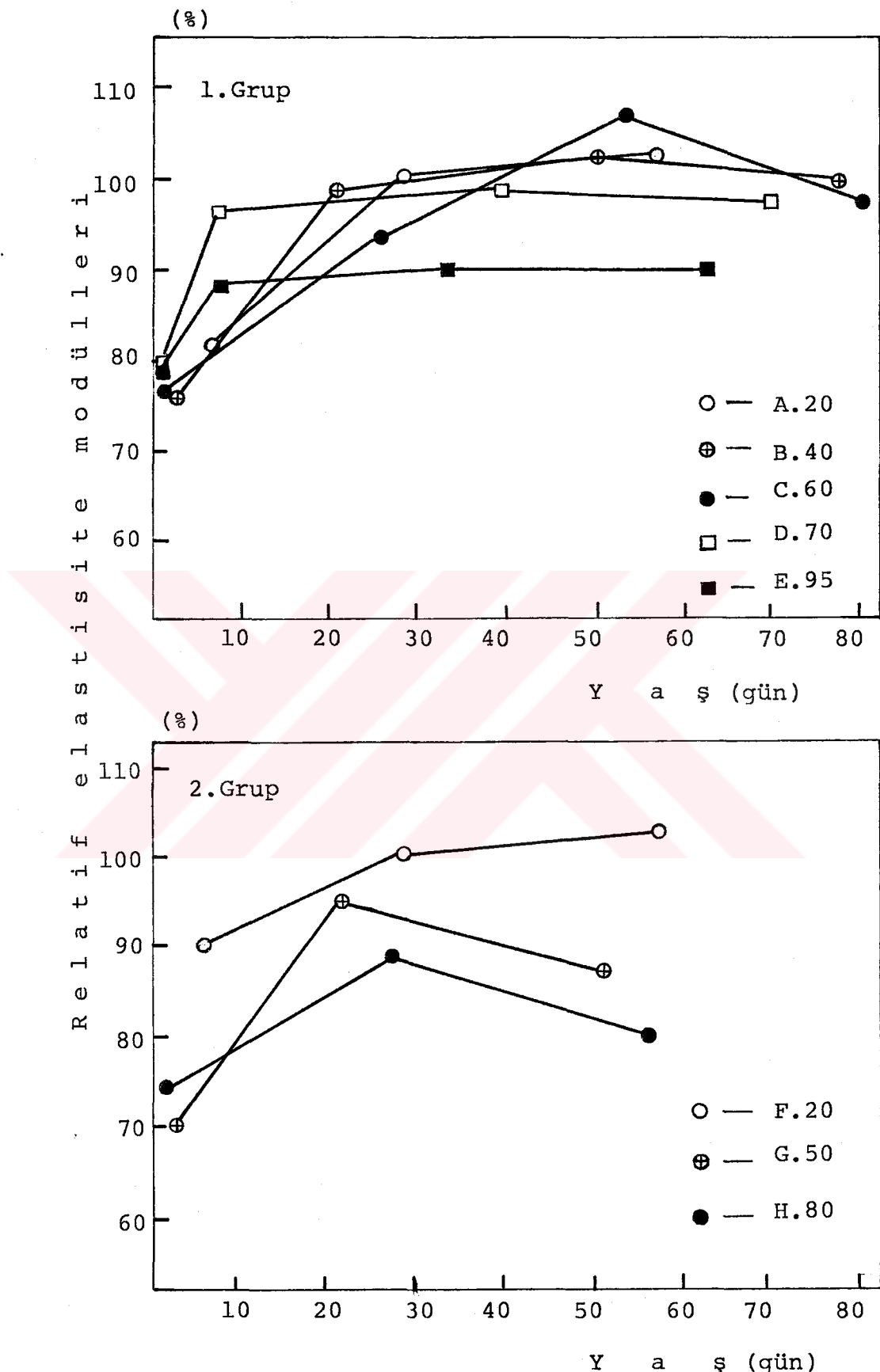
İşlem sıcaklığını çok yüksek tutmanın ileri yaşlarda hafif beton dayanımını isıl işlem görmemiş betonlara göre azalttığı bir yana, ilk yaşlarda orta sıcaklık derecelerine ( $40-65^{\circ}\text{C}$ ) kıyasla önemli sayılabilecek bir artış meydana getirmediği buradan açıkça görülmektedir. Kaldı ki uygulamada yüksek sıcaklık derecesi ile üretim yapmanın enerji maliyetine getireceği artış gözardı edilemez. Bu sonuç literatür [34] de belirtilen aynı hususları bir kez daha vurgular niteliktedir.

Şekil 4.2 nin incelenmesinde elastisite modülleri nin beton yaşı ile değişimlerini her serideki beton için şu şekilde özetlemek mümkündür;

- Elastisite modülü ile zaman arasındaki ilişkide en istikrarlı artış A.20 kontrol betonunda olmaktadır. Bu durum isıl işlem görmüş hafif betonun ileriki günlerde elastisite modülünde farklı miktarlarda olmak üzere azalma meydana gelebileceğini göstermektedir.

- İleri yaşlarda sıcaklık artışı ile relativ yüzdelerde azalma görülmekte, bu azalma  $60^{\circ}\text{C}$  sıcaklıkta daha fazla nisbettedir. 50-60.çı yaşı civarında elastisite modülü en yüksek değerini  $60^{\circ}\text{C}$  sıcaklıkta almaktadır.

- Elastisite modülü C.60 serisinde bir maksimumdan geçerek azalmakta,  $95^{\circ}\text{C}$  sıcaklıkta ise elastisite modülünün gidiş çizgisi diğerlerinden biraz daha aşağıda bulunmaktadır.



Şekil 4.2. Elastisite modülünün yükleme yaşı ile değişimi

- 2. Grup hafif betonlarda 50-80 °C de elastisite modülü bir maksimumdan gereklük azalırken, 20 °C sıcaklıkta artış zamanla devam etmektedir.

Buradan çıkarılan sonuç, sıcaklığın artışı ile ileri yaşlarda elastisite modülünün azalmakta olduğunu göstermektedir. Bu sonuç aynı zamanda hafif betonların yükleme altında daha fazla deformasyon yapabileceğini göstermektedir.

#### 4.3. Uzun Süreli Deney Sonuçlarının Değerlendirilmesi ve İrdelenmesi

Araştırmada deney serilerine ait uzun süreli deney sonuçları toplam ve sümme deformasyonları şeklinde bulunarak Bölüm 3 de verilmiştir. Aynı bölümde yüksüz durumda meydana gelen rötre deformasyonları tüm seriler için bulunarak gösterilmiştir.

Sümme deney sonuçları kullanılarak hafif betonun sümme seçilen logaritmik bir fonksiyonla irdelenmiştir. Elde edilen sonuçlar tablo ve şekiller halinde verilecektir.

##### 4.3.1. Betonun Zamana Bağlı Davranışı ve Değişken Yüklemeler Altındaki Sümnesinin Tahmini

Bir malzemenin belli bir  $\sigma(\tau)$  eksenel yükleme programına göre zamana bağlı şekil değiştirmesi,

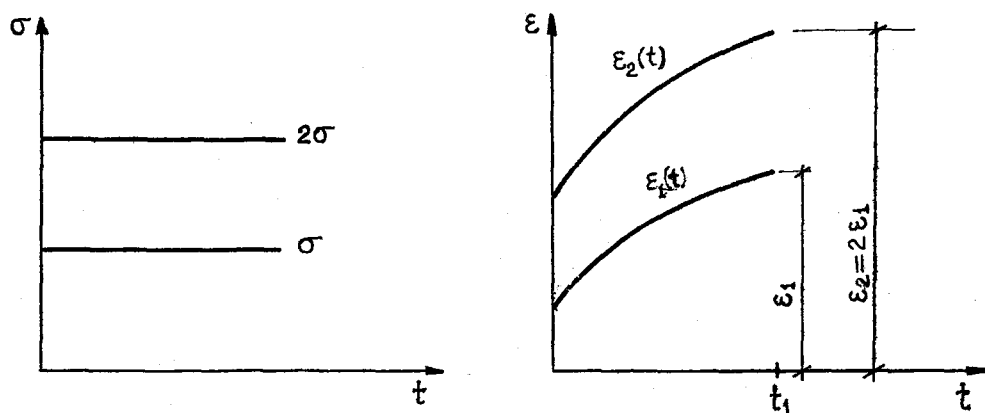
$$\epsilon(t) = f[\sigma(\tau)] \quad (4.1)$$

şeklinde bir fonksiyonelle gösterilir. Malzemenin lineer viskoelastik bir davranış göstermesi halinde (beton servis yüklerinde lineer viskoelastik olduğu varsayılarak) süperpozisyon ilkesi geçerlidir, başka değişle yukarıdaki fonksiyonel doğrusaldır.

$$f[c\sigma(\tau)] = cf[\sigma(\tau)] \quad (4.2)$$

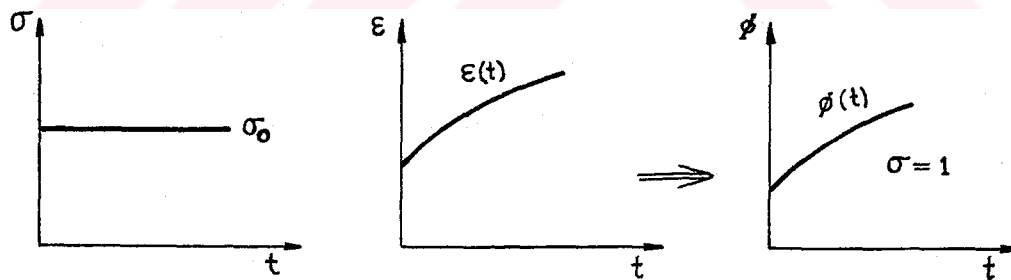
$$f[\sigma_1(\tau) + \sigma_2(\tau)] = f[\sigma_1(\tau)] + f[\sigma_2(\tau)] \quad (4.3)$$

Lineerliğin deneysel yoldan saptanması Şekil 4.3 de verilmiştir;



Şekil 4.3. Lineer viskoelastik bir malzemenin davranışını gösteren yükleme programı ve  $\varepsilon-t$  diyagramı

Bu lineer davranış koşullarından yararlanılarak  $\sigma_0$  sabit gerilmesi altında birim sümme fonksiyonu aşağıdaki diyagramda görüldüğü şekilde,

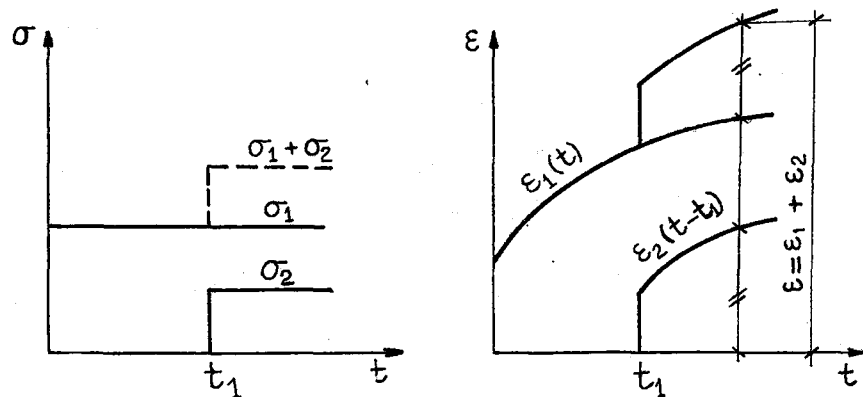


Şekil 4.4. Sabit gerilme altında sümme fonksiyonu grafiği

$$\phi(t) = \frac{\varepsilon(t)}{\sigma_0} \quad , \text{buradan} \quad \varepsilon(t) = \sigma_0 \cdot \phi(t) \quad (4.4)$$

olarak elde edilir. Bu denklemdeki birim sümme fonksiyonu veya kısaca sümme fonksiyonu diğer malzemelerden farklı olarak betonun yaşıının da bir fonksiyonudur.

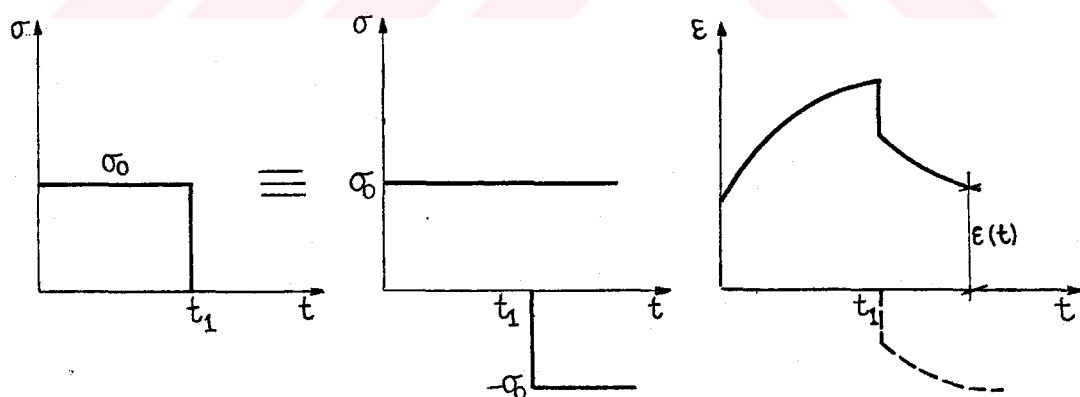
Uygulamada betona gelen gerilmeler kademeli olarak değişir. Bu durumda değişken gerilmelere maruz betonun zamana bağlı şekil değiştirmesinin tahmini için süperpozisyon ilkesi uygulanarak deformasyonlar hesaplanır.



Şekil 4.5. Gerilmenin zamana bağlı değişimini gösteren bir yükleme programı ve  $\varepsilon$ -t diyagramı

$$\varepsilon(t) = \varepsilon_1(t) + \varepsilon_2(t-t_1) = \sigma_1 \phi_1(t) + \sigma_2 \phi_2(t-t_1) \quad (4.5)$$

Süperpozisyon yönteminde gerilme azalması negatif işaretli bir artma olarak varsayılmaktadır.

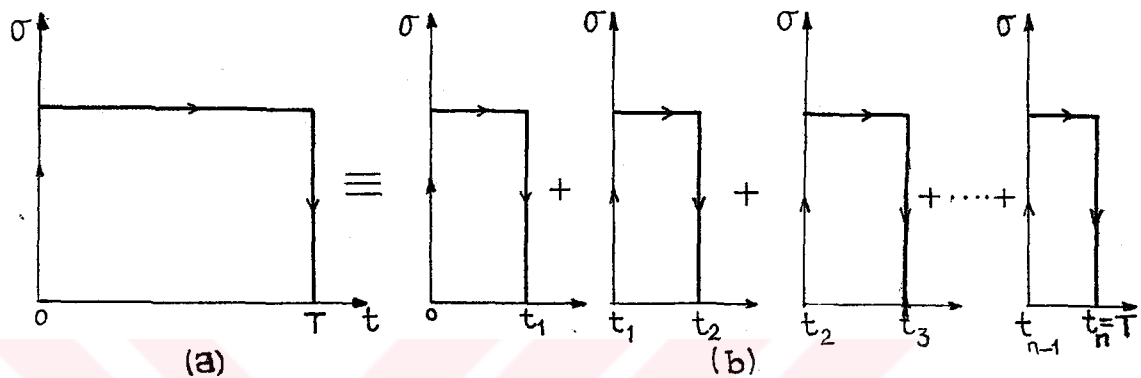


Şekil 4.6. Gerilmenin kademeli azalmasını gösteren bir yükleme programı ve  $\varepsilon$ -t diyagramı

$$\varepsilon(t) = \sigma_0 \phi_0(t) - \sigma_1 \phi_1(t-t_1) \quad (4.6)$$

$\phi_0$ ,  $\phi_1$ ; sırasıyla yükleme ve boşaltma yaşlarına karşı gelen sünme fonksiyonlarıdır.

Herhangi iki ardışık yükleme arasında  $\phi$  deki değişim  $\epsilon(t)$ 'yi etkilemez.  $\epsilon(t)$ ' yalnız yükleme basamaklarındaki değişen sünme fonksiyonlarının etkisindedir. Bunu göstermek için Şekil 4.7 a ve b deki yükleme programını gözönüne almak yeterlidir.



Şekil 4.7. Yüklemenin süperpozisyon ilkesi gereği özdeşliğini gösteren yükleme programı.

Bu durumda  $t > T$  için  $\epsilon(t)$  şekil değiştirmesi,

$$\begin{aligned} \epsilon(t) &= [\sigma_0 \cdot \phi_0(t-0) - \sigma_0 \cdot \phi_1(t-t_1)] + [\sigma_0 \cdot \phi_1(t-t_1) - \sigma_0 \cdot \phi_2(t-t_2)] + \dots + \\ &\quad + [\sigma_0 \cdot \phi_{n-1}(t-t_{n-1}) - \sigma_0 \cdot \phi_n(t-T)] = \sigma_0 \cdot \phi(t) - \sigma_0 \cdot \phi_n(t-T) \end{aligned} \quad (4.7)$$

olarak elde edilir.

Elde edilen (4.7) denkleminden de görüleceği üzere şekil değiştirme sünme fonksiyonunun  $(0, T)$  aralığında yaşa bağlı değişiminin etkisinde olmayıp ardışık iki yükleme anındaki sünme fonksiyonuna ( $\phi$ ) bağlıdır.

Şekil değiştirmenin yalnız yükleme basamaklarındaki sünme fonksiyonlarının etkisi altında olması dolayısıyle, betonun herhangi bir yaşındaki sünme fonksiyonunun diğer malzemelerin sünme fonksiyonlarının yapılarına benzemeceğini öne sürmek doğaldır. Günümüzde beton dahil tüm malzemelerin en çok kullanılan sünme fonksiyonlarının yapıları aşağıda belirtilmektedir [41, 52].

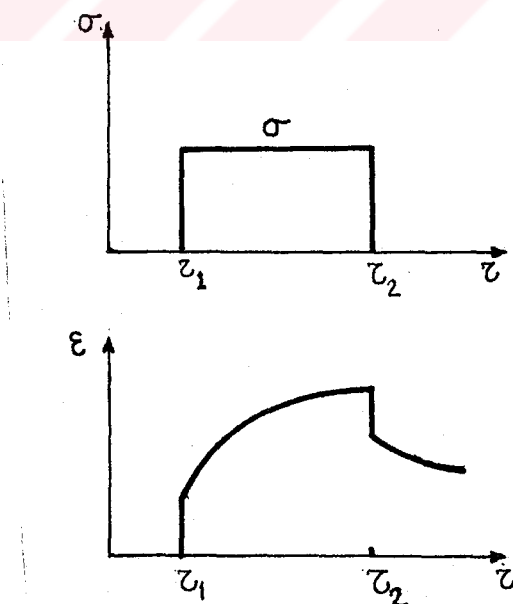
- a) Kuvvet fonksiyonu :  $\phi_t = a + bt^n$   
 b) Üstel fonksiyon :  $\phi_t = a(1 - e^{-kt})$  (4.8)  
 c) Hiperbolik fonksiyon:  $\phi_t = A + \frac{t}{a - bt}$   
 d) Logaritmik fonksiyon:  $\phi_t = a + b \log_e(t+1)$

Bu çalışmada, hafif betonların davranışına uygunluk gösteren logaritmik sünme fonksiyonu kullanılmıştır. Bu fonksiyondaki katsayılar, seçilen beton parametrelerine ve betonun yaşına bağlıdır.

Logaritmik sünme fonksiyonundaki katsayılar belli bir tip için beton yükleme yaşıının bir fonksiyonu olarak aşağıdaki gibi yazılabılır.

$$\phi(t-\tau, \tau) = a(\tau) + b(\tau) \log_e(t-\tau+1) \quad (4.9)$$

Burada  $\tau$ , herhangi bir andaki betonun yükleme yaşıını gösterir.



Sekil 4.8. İki zaman aralığında  $\sigma$  gerilmesi altında oluşan şekil değiştirme.

Şekil 4.8 de görüldüğü üzere  $\tau_1 \leq t \leq \tau_2$  aralığında,

$$\xi(t) = [a_1 + b_1 \log_e (t - \tau_1 + 1)] \sigma(\tau_1) \text{ den,} \quad (4.10)$$

$a_1$  ve  $b_1$  hesaplanır.  $t > \tau_2$  ise,

$$\xi(t) = [a_1 + b_1 \log_e (t - \tau_1 + 1)] \sigma(\tau_1) - [a_2 + b_2 \log_e (t - \tau_2 + 1)] \sigma(\tau_2) \quad (4.11)$$

den de  $a_2$  ve  $b_2$  sabitleri hesaplanır.

Bu denklemle, değişken gerilmeli bir yükleme programı için her yükleme aralığına ait "a" ve "b" katsayıları hesaplanır. Yükleme yaşına göre bunların değişimleri log-log ölçeğinde gösterilmesi halinde  $a(\tau)$  ve  $b(\tau)$  nun değişimleri,

$$a(\tau) = k_1 \cdot \tau^{k_2} \text{ ve } b(\tau) = k_3 \cdot \tau^{k_4} \quad (4.12)$$

biçiminde yazılabildiği görülmüştür [79]. Burada  $k_1$ ,  $k_2$ ,  $k_3$ ,  $k_4$  birer katsayıdır ve zaman dışında kalan diğer parametrelerle bağlıdır. Bu çalışmada yukarıdaki katsayılar diğer tüm parametreler sabit tutulduğu için yalnız ıslık işlem sıcaklığına ( $T^{\circ}\text{C}$ ) bağlıdır.

#### 4.3.2. Sünme deney sonuçlarından yararlanarak yükleme basamaklarındaki logaritmik sünme fonksiyonlarının hesaplanması

Lineer viskoelastik bir varsayımla değişken gerilmeler etkisindeki hafif betonun sünmesini ifade etmek için seçilen fonksiyonun, deney sonuçları ile daha iyi uyum sağladığı Bölüm 4, paragraf 4.3.2 de açıklanmıştır.

Bu çalışmada seçilen logaritmik sünme fonksiyonu,

$$\phi(t) = a + b \log_e (t + 1) \quad (4.13)$$

şeklindedir. Burada "a" sabiti uzun süreli yüklemektedeki ani deformasyonu, "b" sabiti ise uzun süreli yüklemektedeki sünme deformasyonunu ifade etmektedir.

"a" ve "b" sabitleri betonun yükleme yaşı ile değişken seçilen işlem sıcaklığının bir fonksiyonu olduğu kabul

edilerek aşağıdaki şekilde yazılabilir;

$$\phi(t, \tau, T) = a(\tau, T) + b(\tau, T) \cdot \log_e(t - \tau + 1) \quad (4.14)$$

Burada  $\tau$ , betonun yükleme yaşını,  $T$  ise işlem sıcaklığını göstermektedir.

Yapılan bu çalışmada deney sonuçlarından ~~yararlanı-~~larak yükleme basamaklarına karşı gelen "a" ve "b" katsayılarının hesaplanması Tablo A.1, A.2, A.3, A.4, A.5, A.6, A.7 ve A.8 de gösterilmiştir. Hesap şu şekilde düşünülecek gerçekleştirilemiştir.

Önce 1.ci basamak yüklemedeki deformasyonların oluşumunda yer alan  $a_1$  ve  $b_1$  katsayıları,

$$\varepsilon_1 = [a_1 + b_1 \log_e(t - \tau_1 + 1)] \sigma_1 \quad (4.15)$$

$$\phi_1 = a_1 + b_1 \log_e(t - \tau_1 + 1)$$

denkleminde görüldüğü gibi hesaplanmıştır. ( $\varepsilon_1$ ) toplam deformasyonuna karşı gelen zaman fonksiyonunun  $\log_e(t - \tau_1 + 1)$  değerleri bulunarak doğrusal korelasyonla yükleme yaşına karşı gelen bu sabitler hesaplanmıştır.

Daha sonra değişken yüklemenin 2.ci basamağına ait  $a_2$  ve  $b_2$  sabitlerini hesaplamak için,

$$\varepsilon_2 = \varepsilon_t - [a_1 + b_1 \log_e(t - \tau_1 + 1)] \sigma_1$$

$$\varepsilon_2 = [a_2 + b_2 \log_e(t - \tau_2 + 1)] \sigma_2$$

$$\phi_2 = \frac{\varepsilon_2}{\sigma_2} \quad (4.16)$$

denklemi kullanılarak önce  $\varepsilon_2$  deformasyonları hesaplanmış

daha sonra basamaktaki sabitler bulunmuştur. Burada,

$\varepsilon_t$  : Basamakdaki toplam deformasyonu

$\varepsilon_2$  : 2.ci Basamak yüklemesine ait toplam deformasyon

$\tau_2$  : Basamakdaki yükleme yaşıını

$\sigma_2$  : 2.ci basamakta uygulanan gerilme artışı veya kısaca basamak gerilmesini

$\phi_2$  : 2.ci basamakdaki sünme fonksiyonunu

$a_2, b_2$ : 2.ci basamakdaki logaritmik sünme fonksiyonunu göstermektedir.

2.ci basamak yüklemeye ait  $\varepsilon_2$  deformasyonları bulunduktan sonra bu değerler karşı gelen  $\log_e(t - \tau_2 + 1)$  değerleri basamakdaki zaman dilimlerinde hesap edilmiştir.

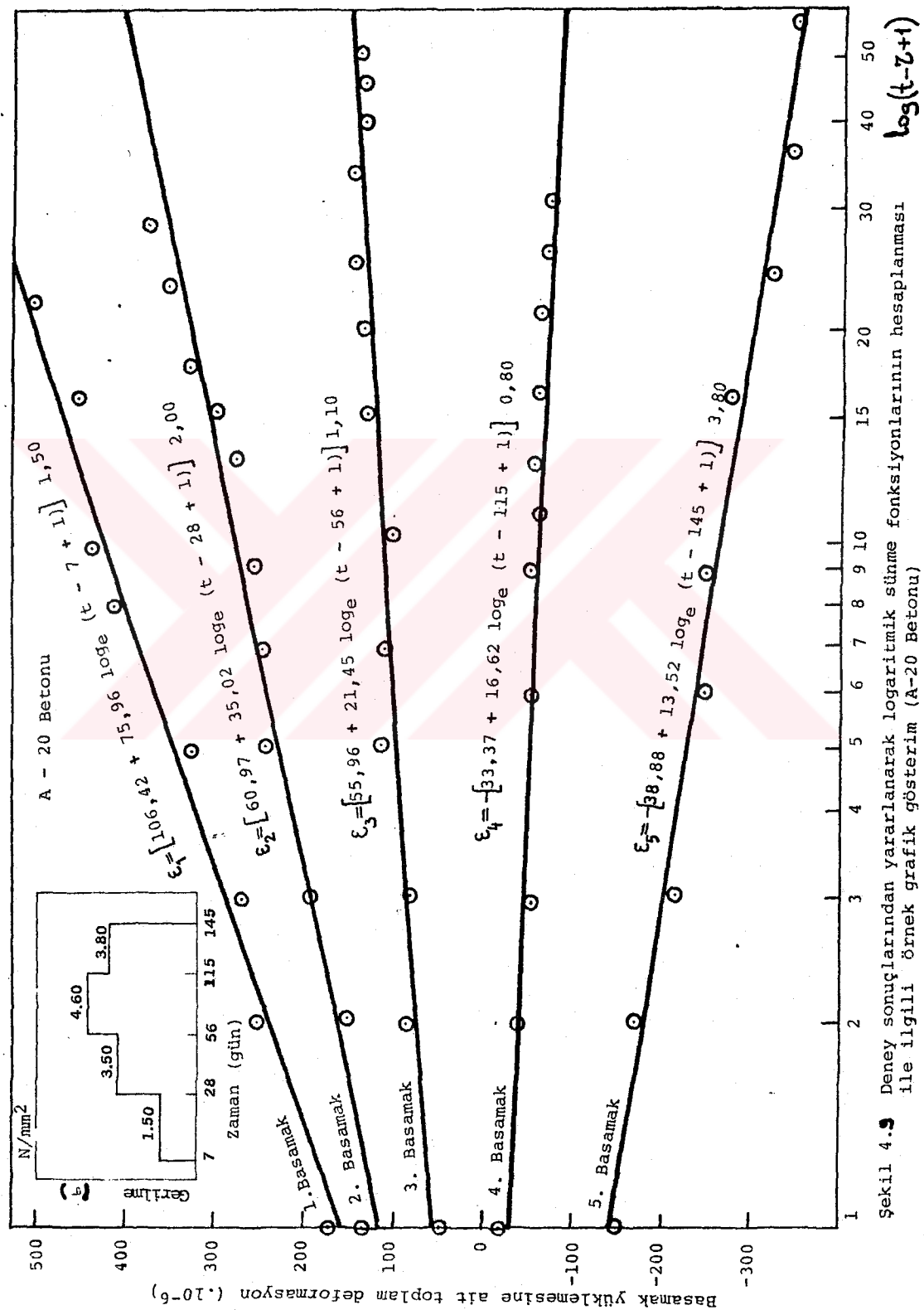
Daha sonra lineer korelasyonla bu basamakdaki  $a_2$  ve  $b_2$  katsayıları bulunmuştur. Ayrıca bu katsayılar ait korelasyonlar hesap edilerek gösterilmiştir.

Diğer basamaklardaki katsayılar benzer şekilde hareket edilerek hesaplanmıştır. Boşaltmalarda gerilmeler eksi işaretli bir yükleme olarak kabul edilmiştir. Deney sonuçlarından yararlanarak yükleme basamaklarındaki "a" ve "b" katsayılarının hesaplanması ifadelendirdiği örnek grafik gösterim Şekil 4.9 da gösterilmiştir.

Buna göre 4 ila 5.ci basamak aralarındaki bir  $(t)$  süresinde toplam deformasyon yazılacak olursa,

$$\begin{aligned}\varepsilon(t) &= \varepsilon_1 + \varepsilon_2 + \varepsilon_3 - \varepsilon_4 \\ \varepsilon(t) &= \sigma_1 \cdot \phi_1 + \sigma_2 \cdot \phi_2 + \sigma_3 \cdot \phi_3 - \sigma_4 \cdot \phi_4\end{aligned}\tag{4.17}$$

ifadesi elde edilir. Bu denklemde 4 ayrı sünme fonksiyonu ve 8 adet denklem sabiti mevcuttur. (4.17) denklemindeki ( $\phi$ ) ler açık olarak yazıldığında (4.15) denkleminde görüleceği üzere  $a_1, a_2, a_3, a_4$  ile  $b_1, b_2, b_3, b_4$  katsayıları yukarıdaki denklem sabitleri olduğu görülür.



Şekil 4.3 Deney sonuçlarından yararlanarak logaritmik sümme fonksiyonlarının hesaplanması ile ilgili örnek grafik gösterim (A-20 Betonu)

Tüm beton serilerinde, "a" ve "b" katsayılarının farklı yükleme yaşlarına karşı gelen değerleri bulunduktan sonra log-log ölçüğünde beton yükleme yaşı ile olan değişimleri Şekil 4.10, 4.11, 4.12, 4.13, 4.14, 4.15, 4.16, 4.17 de ve bulunan sonuçlar Tablo 4.1 ve 4.2 de gösterilmiştir. Bu değişimde "a" ve "b" nin korelasyon değerleri yine hesaplanarak tabloda verilmiştir.

Şekillerin incelenmesinde görüleceği üzere "a" ve "b" nin logaritmalarıyla yükleme yaşıının logaritması arasında iyi bir korelasyon vardır. Bu katsayıların logaritmaları yükleme yaşıının logaritmasıyla azalmaktadır, fakat bu azalma farklı eğimlerde olmaktadır. "b" nin eğimi "a" ya oranla daha fazladır. "b" nin bu değişimdeki korelasyonu "a" nin korelasyonundan daha yüksek olmakla birlikte her ikisi de çok iyi bir düzeydedir.

Konunun amacında da belirtildiği gibi "a" ve "b" nin yükleme yaşıyla olan bu değişimini belirlendikten sonra, herhangi bir yaştaki betonun sünme fonksiyonu bu değişimden yararlanarak bulunabilir. Sünme fonksiyonu bulunan betonun belli bir gerilme altında yapacağı toplam ve sünme deformasyonları büyük bir yaklaşımla kestirilebilmektedir [ 79 ].

Böylece elde edilen  $a(\tau_i)$  ve  $b(\tau_i)$  nin yükleme yaşıyla olan değişimleri,

$$\begin{aligned} a(\tau) &= k_1 \cdot \tau^{k_2} \\ b(\tau) &= k_3 \cdot \tau^{k_4} \end{aligned} \quad (4.18)$$

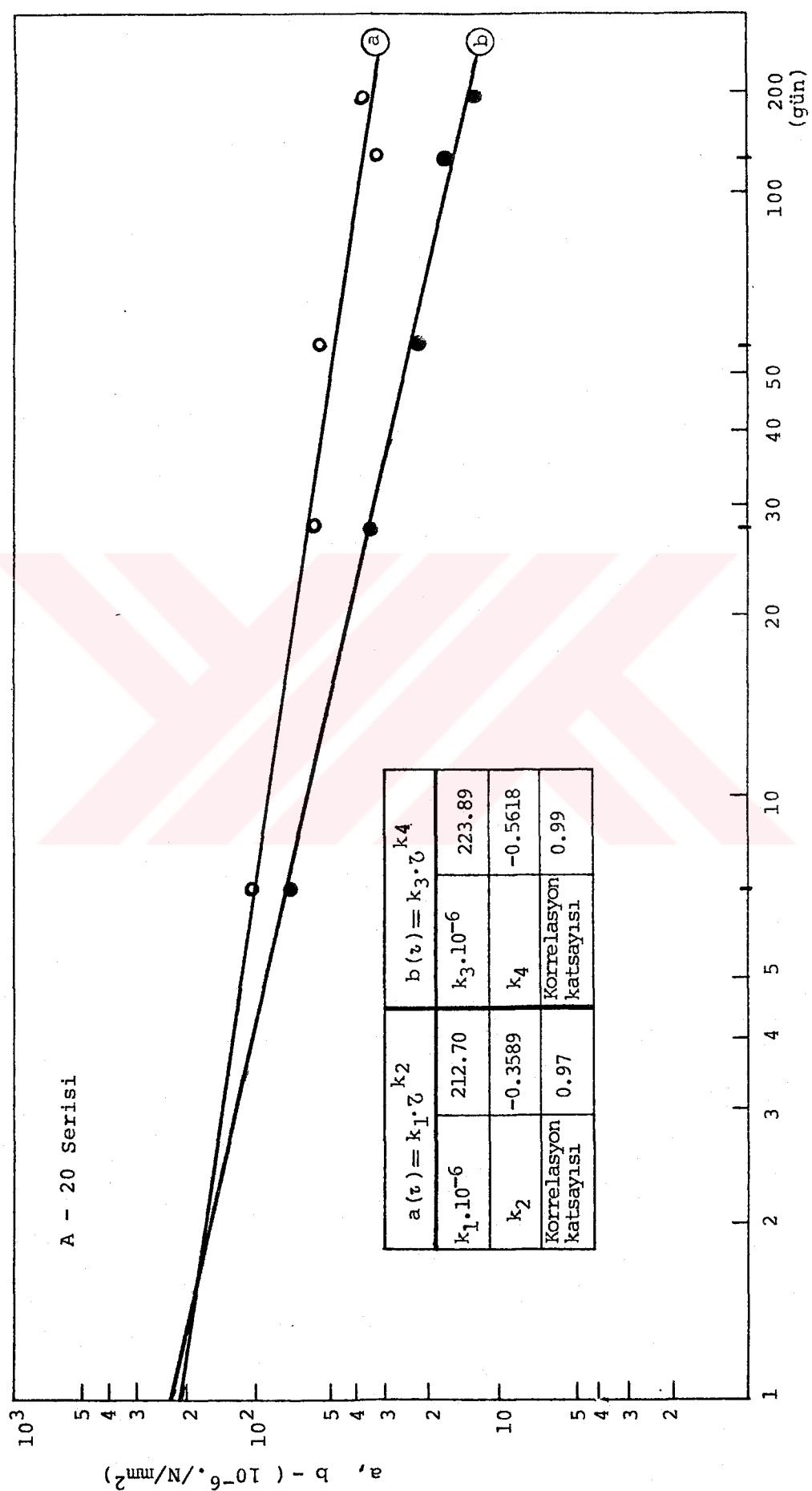
biçiminde yazılabilir. Burada  $k_1, k_2, k_3, k_4$  yükleme yaşından bağımsız hale getirilmiş birer katsayıdır. Bu katsayılar genelde saklama koşulu, işlem sıcaklığı, su/çimen-to, vb. gibi parametrelerle bağlıdır. Bu çalışmada işlem sıcaklığı dışındaki bütün parametreler sabit tutulduğu için söz konusu katsayılar yalnız işlem sıcaklığına bağlı olur. "a" ve "b" lerin yükleme yaşına bağlı gidiş diyagramlarından yararlanılarak bulunan "k" katsayıları Tablo 4.3 de gösterilmiştir. Sonuçta (4.18) denklemindeki

Tablo 4. 1. Sünme deney sonuçlarından hesaplanan logaritmik sünme fonksiyon sabitleri (1.grup betonlar)

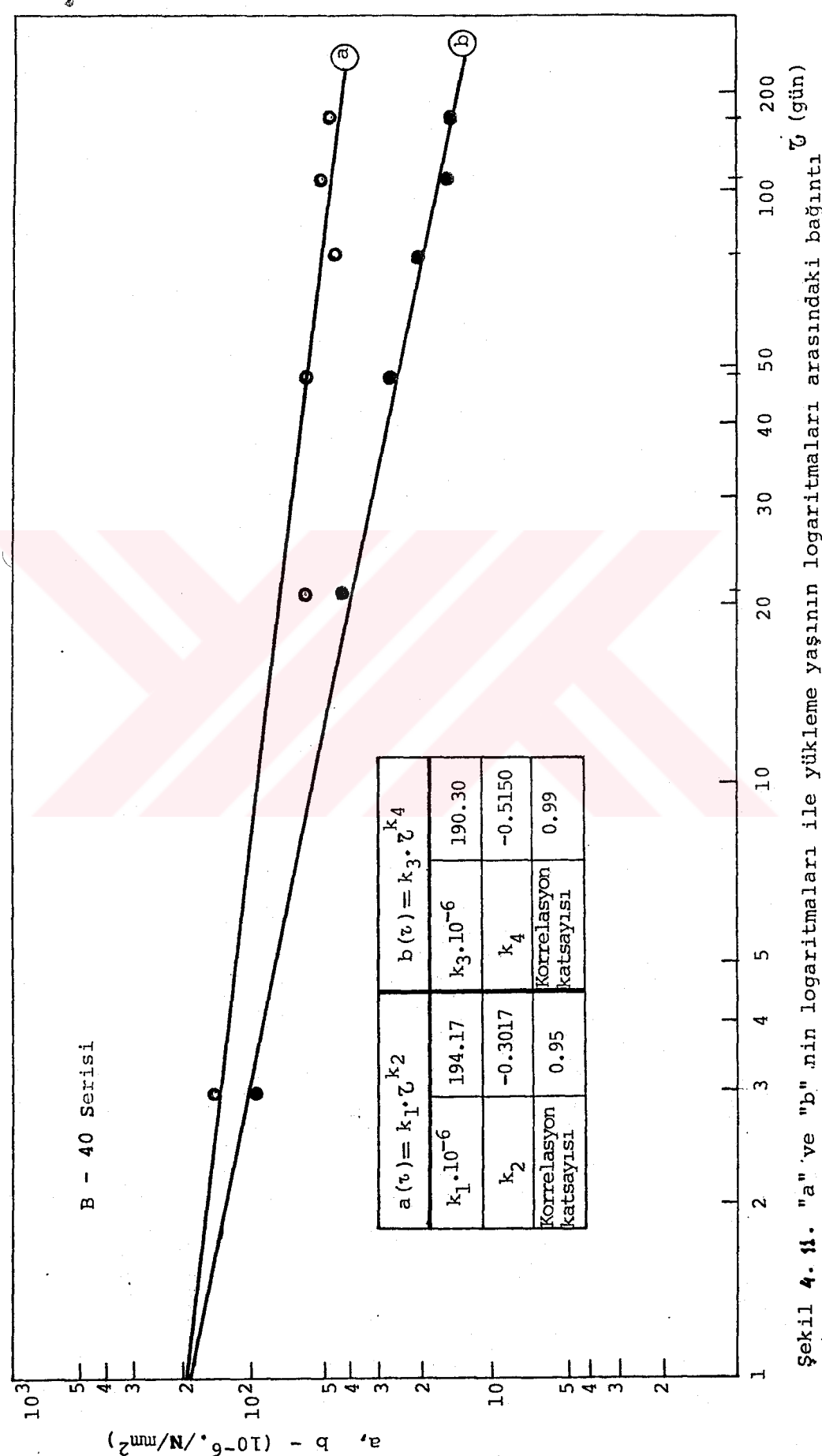
Beton kodu	1. Grup hafif beton serilerine ait "a" ve "b" katsayıları ( $\times 10^{-6} \text{ N/mm}^2$ )						
A - 20	t (gün)	7	28	56	115	145	-
	a	106.42	60.97	55.93	33,37	33.88	-
	b	75.96	35.02	21.45	16.62	13.52	-
	Korrelasyon katsayısı	0.99	0.98	0.97	0.96	0.99	-
B - 40	t (gün)	3	21	49	77	105	132
	a	154.33	63.20	62.08	46.33	52.73	48.75
	b	102.26	43.83	26.44	20.46	16.21	15.11
	Korrelasyon katsayısı	0.99	0.98	0.90	0.97	0.95	0.98
Kontrol C - 60	t (gün)	1	25	53	81	110	140
	a	137.74	69.23	64.05	47.83	53.53	41.76
	b	127.85	38.28	29.62	25.63	19.30	15.70
	Korrelasyon katsayısı	0.99	0.97	0.97	0.98	0.98	0.99
D - 70	t (gün)	1	8	40	70	114	143
	a	123.07	74.41	61.66	42.64	53.04	46.65
	b	95.53	57.68	31.62	30.50	25.82	18.60
	Korrelasyon katsayısı	0.99	0.98	0.97	0.96	0.98	0.99
E - 95	t (gün)	1	8	35	63	108	137
	a	85.39	79.88	56.55	49.25	55.80	57.91
	b	66.56	53.31	39.11	32.48	29.87	33.41
	Korrelasyon Katsayısı	0.93	0.98	0.97	0.97	0.97	0.99

Tablo 4.2. Sünme deney sonuçlarından hesaplanan logaritmik sünme fonksiyon sabitleri (2.grup betonlar)

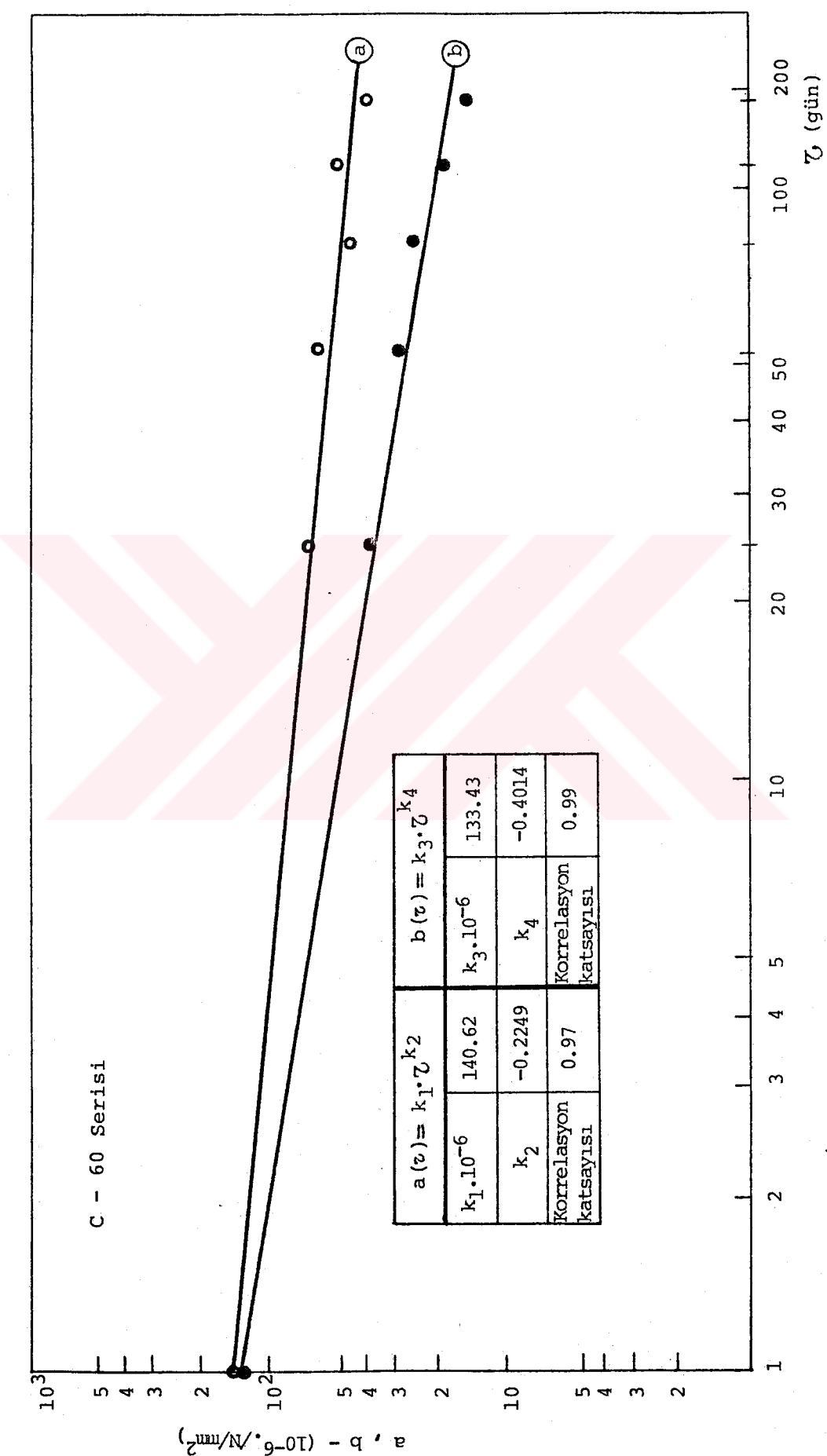
Beton kodu	2.Grup hafif beton serilerine ait "a" ve "b" katsayıları ( $\times 10^{-6} \text{./N/mm}^2$ )					
20 I F	t (gün)	7	28	56	84	112
	a	145.33	112.68	91.56	81.06	73.48
	b	111.16	65.41	42.42	33.90	31.69
	Korrelasyon katsayısı	0.99	0.99	0.94	0.96	0.99
50 I G	t (gün)	3	21	50	77	105
	a	183.47	117.97	97.72	113.66	91.59
	b	124.72	65.14	49.57	36.96	37.37
	Korrelasyon katsayısı	0.99	0.99	0.98	0.91	0.99
80 I H	t (gün)	2	26	54	82	110
	a	173.15	116.30	118.57	116.71	119.66
	b	116.90	54.12	40.85	32.10	35.99
	Korrelasyon katsayısı	0.99	0.99	0.93	0.95	0.99



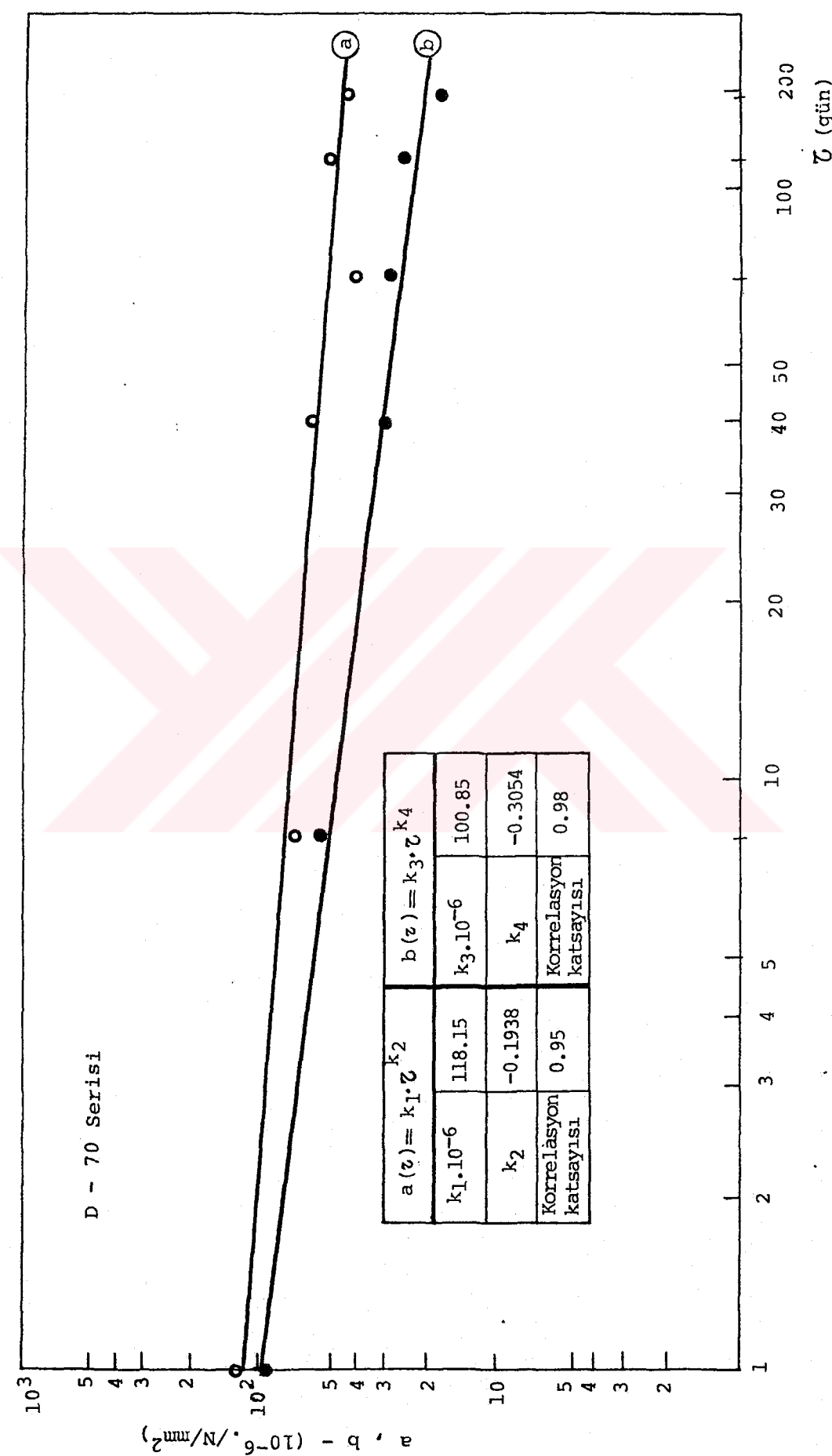
Şekil 4. "a" ye "b" nin logaritmaları ile yükleme yaşının logaritmaları arasındaki bağıntı



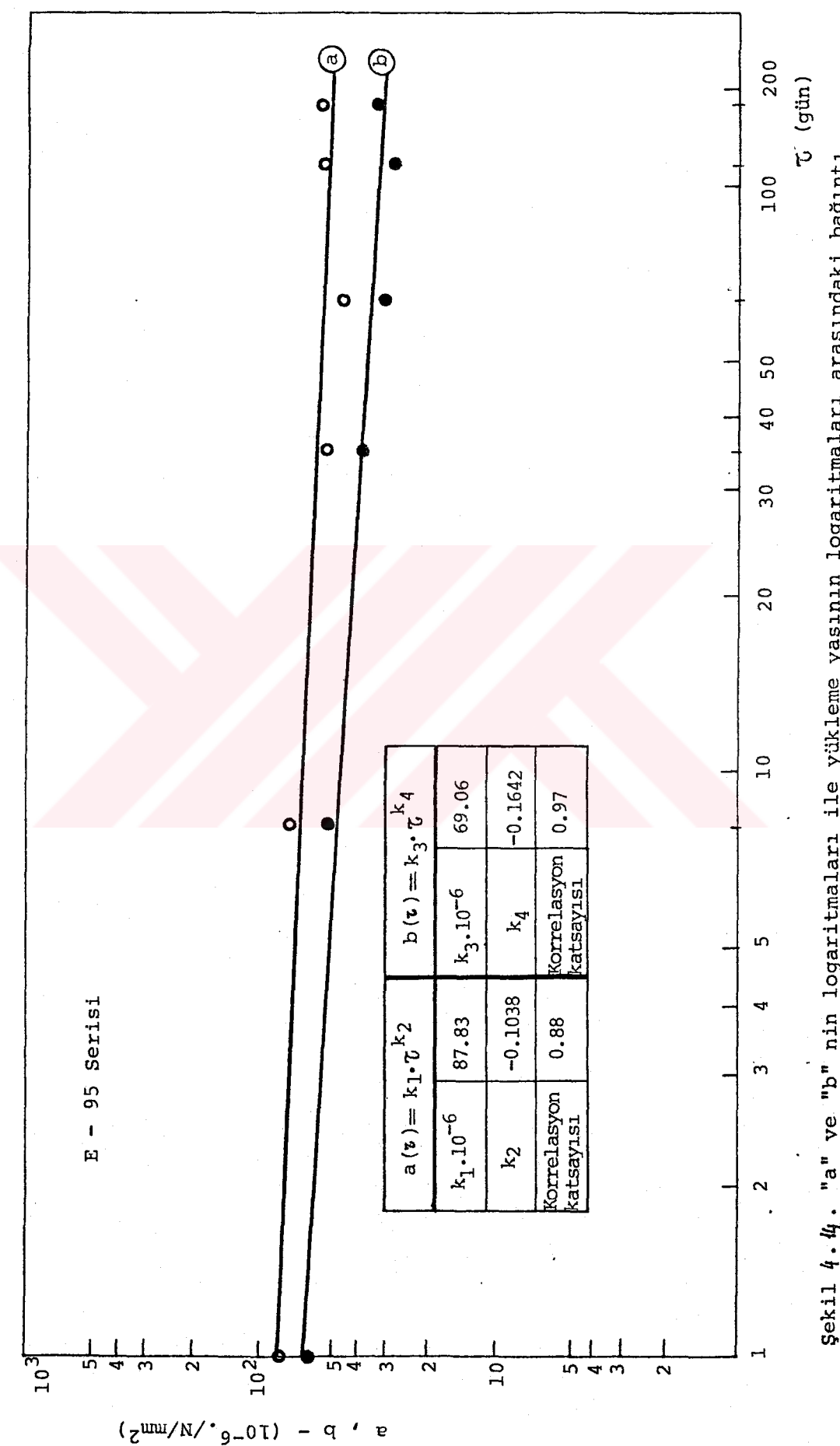
Sekil 4. 11. "a" ve "b" nin logaritmaları ile yükleme yaşının logaritmaları arasındaki bağıntı  $\tau$  (gün)



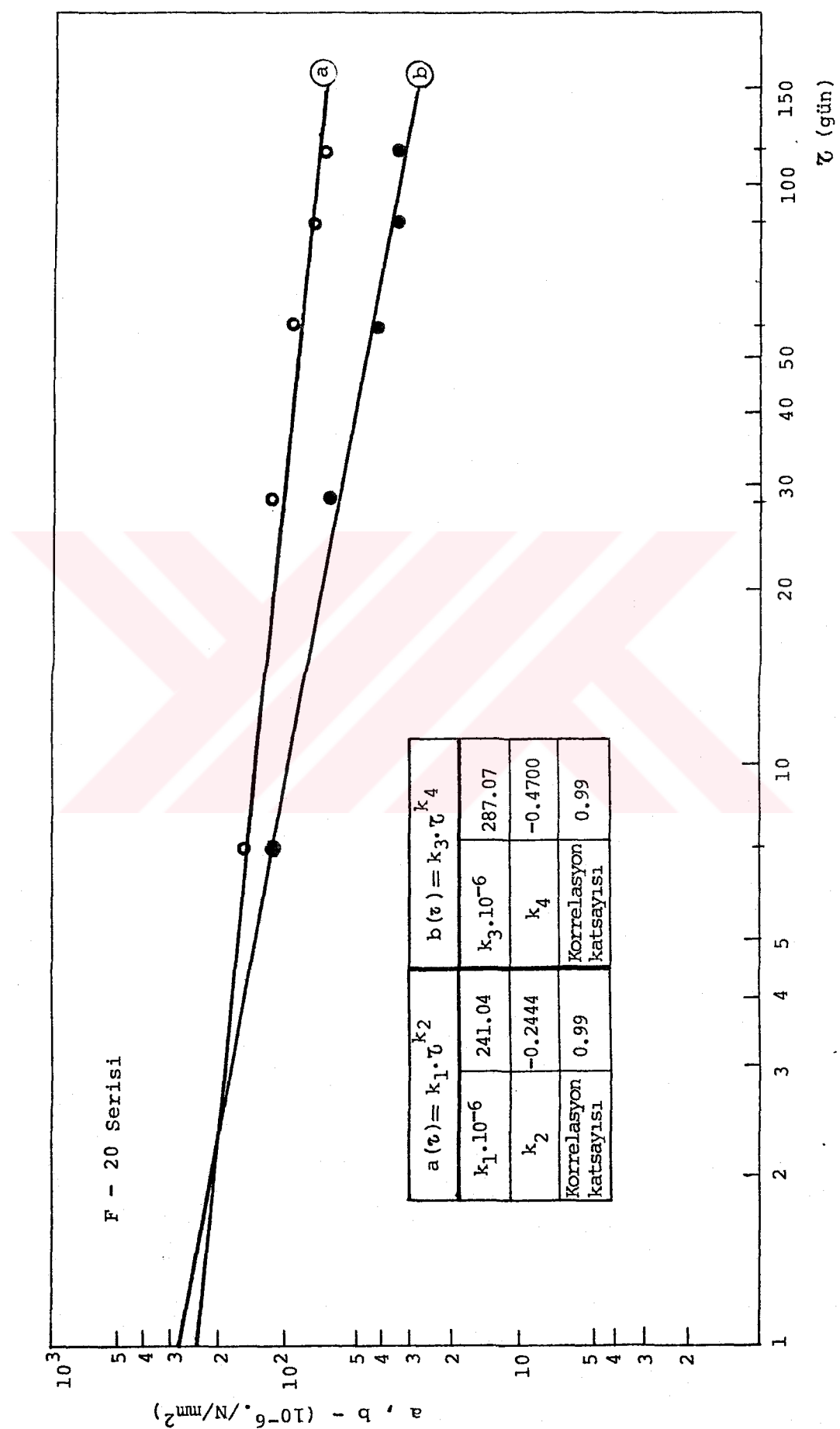
Şekil 4. "a" ve "b" nin logaritmaları ile yükleme yaşının logaritmaları arasındaki bağıntı



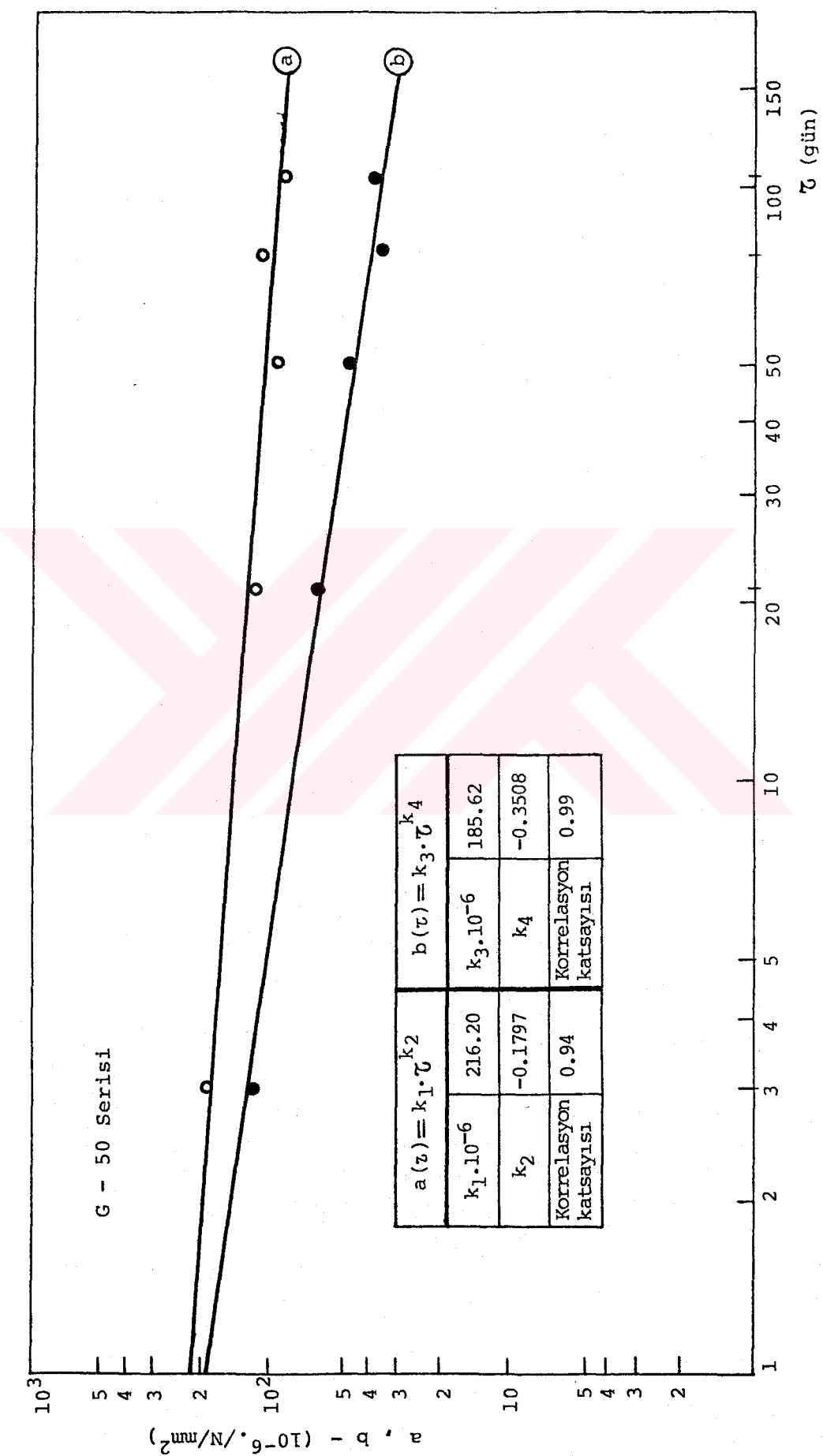
Sekil 4. 13. "a" ve "b" nin logaritmaları ile yükleme yaşıının logaritmaları arasındaki bağıntı



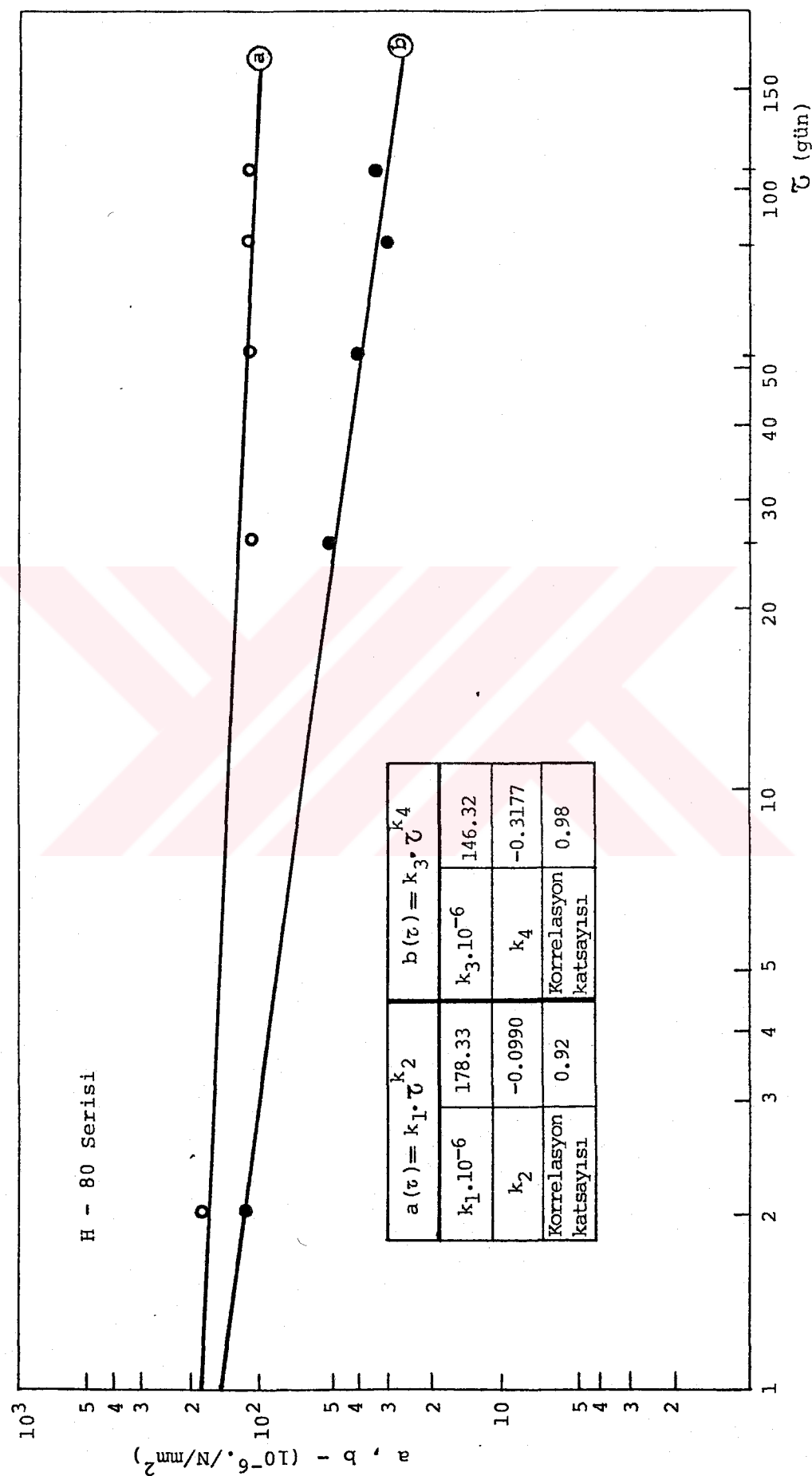
Sekil 4.4. "a" ve "b" nin logaritmaları ile yaşının logaritmaları arasındaki bağıntı



Şekil 4 • 15. "a" ve "b" nin logaritmaları ile yükleme yaşının logaritmaları arasındaki bağıntı



Sekil 4.16. "a" ve "b" nin logaritmaları ile yükleme yaşının logaritmaları arasındaki bağıntı



Sekil 4. 47. "a" ve "b" nin logaritmaları ile yükleme yaşının logaritmaları arasındaki bağıntı

"a" ve "b" katsayıları aynı beton için yalnız yükleme ya-  
şına bağlı bir bilinmiyenli denklem haline dönüştürülmüş-  
tür. Sonuçta lineer viskoelastik bir varsayımla belli  
bir gerilme altında meydana gelen deformasyonları herhan-  
gi bir yükleme yaşına göre iyi bir yaklaşımla tahmin etmek  
olanak dahilindedir.

#### 4.3.3. Logaritmik sünme fonksiyonlarından elde edilen "k" katsayılarının ıslıl işlem sıcaklığıyla değişiminin irdelenmesi

Bölüm 1 de açıklandığı gibi yapılan bu çalışma hafif betonun zamana bağlı davranışının değişken seçilen ıslıl işlem sıcaklığıyla irdelenmiştir. Kür koşullarından işlem sıcaklığı parametresi beton serisi olarak isimlendirilmiştir.

Sünme deney sonuçlarından viskoelastik bir varsayımla yararlanılarak süperpozisyon ilkesi uygulanmış ve seçilen logaritmik sünme fonksiyon-sabitleri yükleme yaşına bağlı olarak önceki paragrafta hesaplanmıştır. Yine bu sabitler yalnız yükleme yaşına bağlı bir fonksiyon haline dönüştürülerek (4.18) denkleminde gösterilmiştir. Bu denklemdeki (a) sabitine ait  $k_1$ ,  $k_2$ , (b) sabitine ait  $k_3$ ,  $k_4$  katsayıları yükleme yaşından bağımsız, yalnız işlem sıcaklığına bağlı birer katsayıdır.

Tüm beton serilerinde bu katsayıların işlem sıcaklığıyla değişimleri Şekil 4.18, 4.19, 4.20, 4.21 de gösterilmiştir.

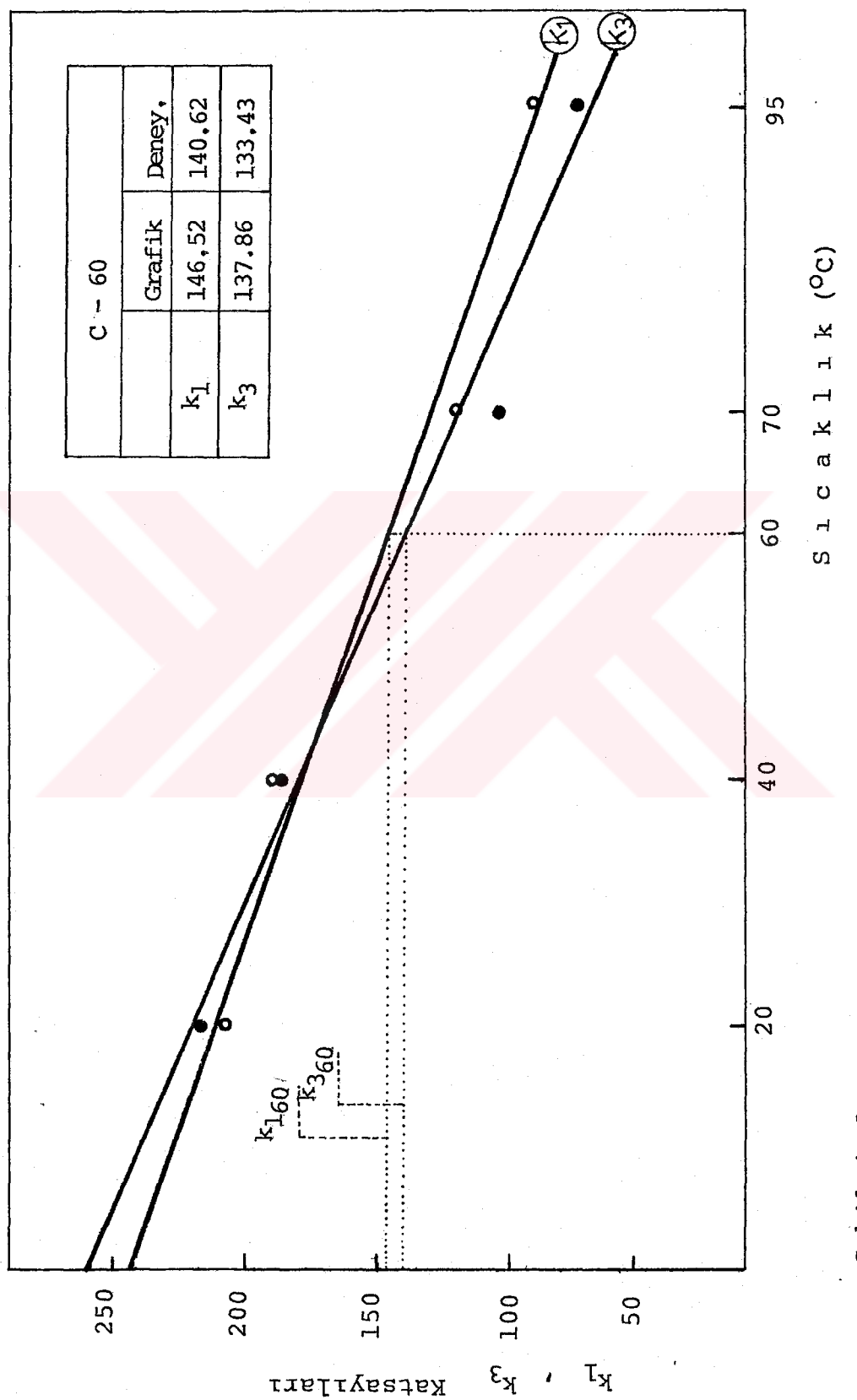
Bu şekillerin incelenmesinden görüleceği gibi, 1.ci grup hafif betonlarda "k" katsayılarının işlem sıcaklığıyla olan değişiminde C-60 serisi bu değerlendirmenin dışında tutulmuştur. "k" gidiş doğruları A-20, B-40, D-70, E-95 serileri dikkate alınarak çizilmiş, C-60 serisi kontrol amacıyla kullanılmıştır. Grafikten  $60^{\circ}\text{C}$  ye karşı gelen "k" katsayıları ile deney sonuçlarından bulunan "k" katsayıları anılan şekillerde gösterilmiştir. Tablo 4.3 deki "k" katsayıları 1.ci grup için A-20 deki, 2.ci grup için F-20 deki değerlere oranlanarak bulunan relatif deney sonuçları Tablo 4.4 de gösterilmiştir.

Tablo 4. 3 . Hafif beton serilerine ait sünme deney sonuçlarından elde edilen "k" katsayıları

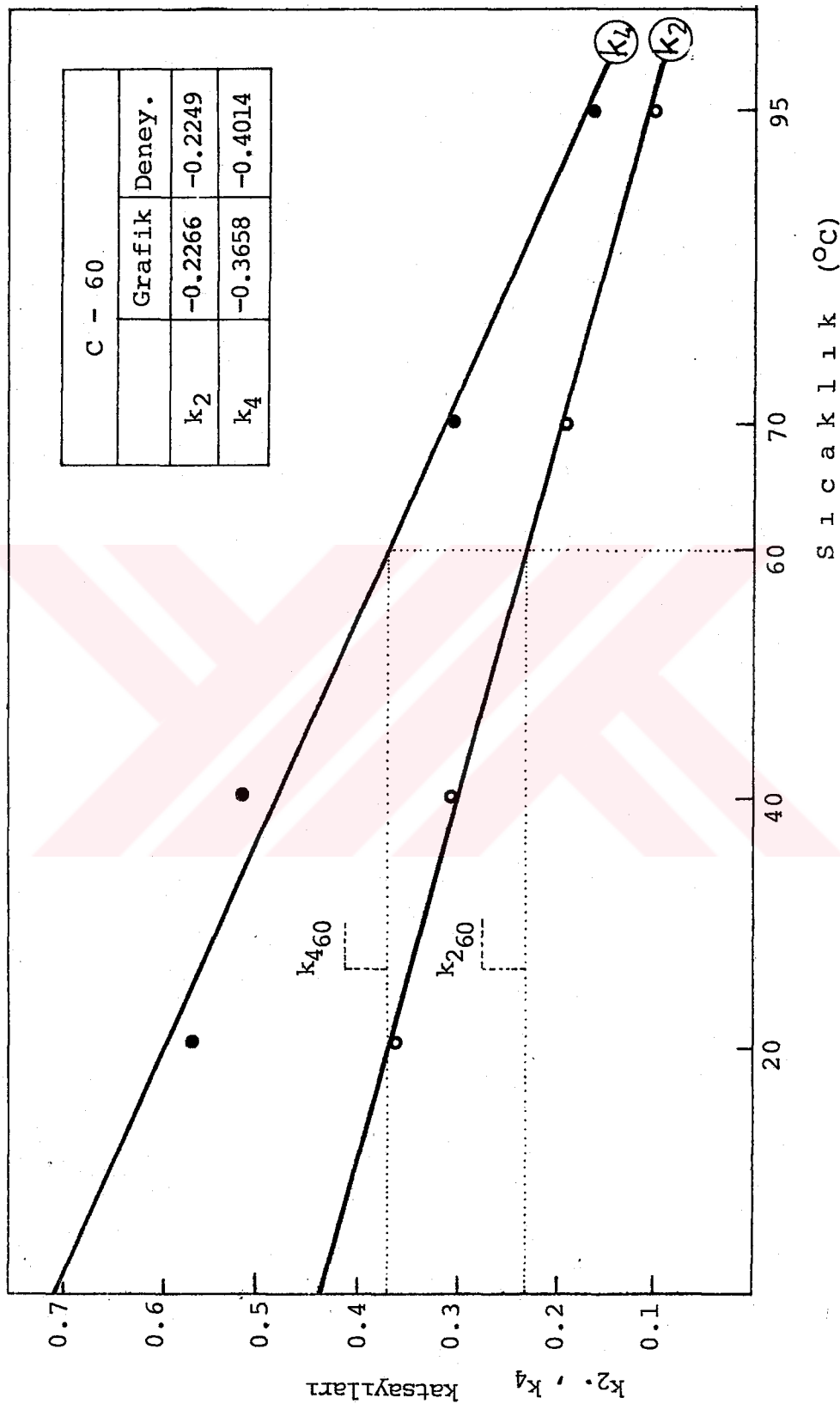
Beton kodu	$a(\tau) = k_1 \cdot \tau^{k_2}$			$b(\tau) = k_3 \cdot \tau^{k_4}$		
	$k_1 \cdot 10^{-6}$ ./N/mm <sup>2</sup>	$k_2$	Korrelas. katsayısı	$k_3 \cdot 10^{-6}$ ./N/mm <sup>2</sup>	$k_4$	Korrelas. katsayısı
A - 20	212.70	-0.3589	0.97	223.89	-0.5618	0.99
B - 40	194.17	-0.3017	0.95	190.30	-0.5150	0.99
C - 60	140.62	-0.2249	0.97	133.43	-0.4014	0.99
D - 70	118.15	-0.1938	0.95	100.85	-0.3054	0.98
E - 95	87.83	-0.1038	0.88	69.06	-0.1642	0.97
F - 20	241.04	-0.2444	0.99	287.07	-0.4700	0.99
G - 50	216.20	-0.1797	0.94	185.62	-0.3508	0.99
H - 80	178.33	-0.0990	0.92	146.32	-0.3177	0.98

Tablo 4.4. Hafif beton serilerine ait sünme deney sonuçlarından hesaplanan relatif "k" değerleri

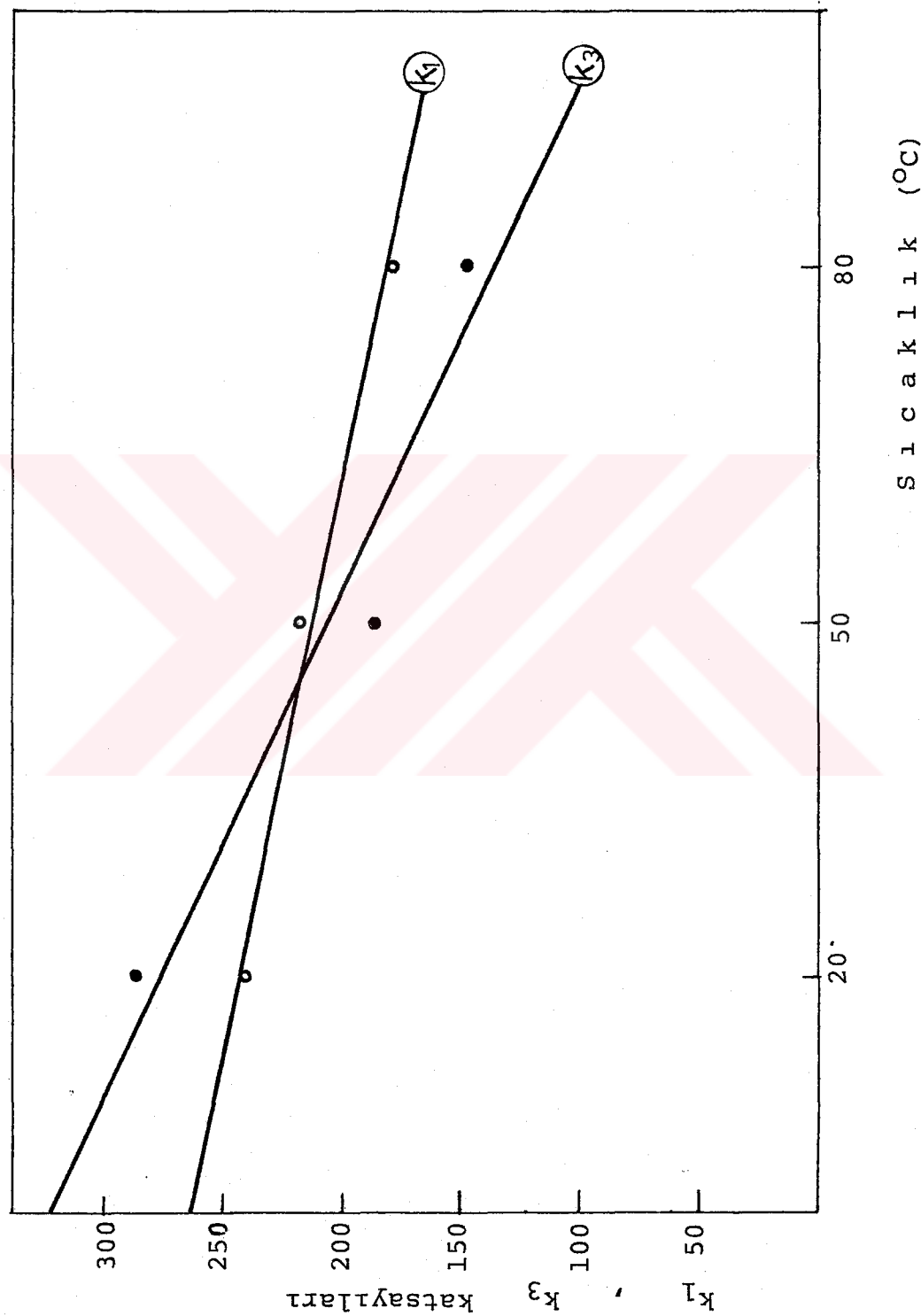
Beton kodu	$a(\tau)/a(\tau)_{20}$			$b(\tau)/b(\tau)_{20}$		
	$k_1^*/k_1$	$k_2^*/k_2$	Korelas kats.	$k_3^*/k_3$	$k_4^*/k_4$	Korelas kats.
A-20	1.00 <sup>*</sup>	1.00 <sup>*</sup>	0.97	1.00 <sup>*</sup>	1.00 <sup>*</sup>	0.99
B-40	0.91	0.84	0.95	0.85	0.92	0.99
C-60	0.66	0.63	0.97	0.60	0.71	0.99
D-70	0.56	0.54	0.95	0.45	0.54	0.98
E-95	0.41	0.29	0.88	0.31	0.29	0.97
Beton kodu	$k_1^*/k_1$	$k_2^*/k_2$	Korelas kats.	$k_3^*/k_3$	$k_4^*/k_4$	Korelas kats.
F-20	1.00 <sup>*</sup>	1.00 <sup>*</sup>	0.99	1.00 <sup>*</sup>	1.00 <sup>*</sup>	0.99
G-50	0.90	0.73	0.94	0.65	0.74	0.99
H-80	0.74	0.41	0.92	0.51	0.68	0.98



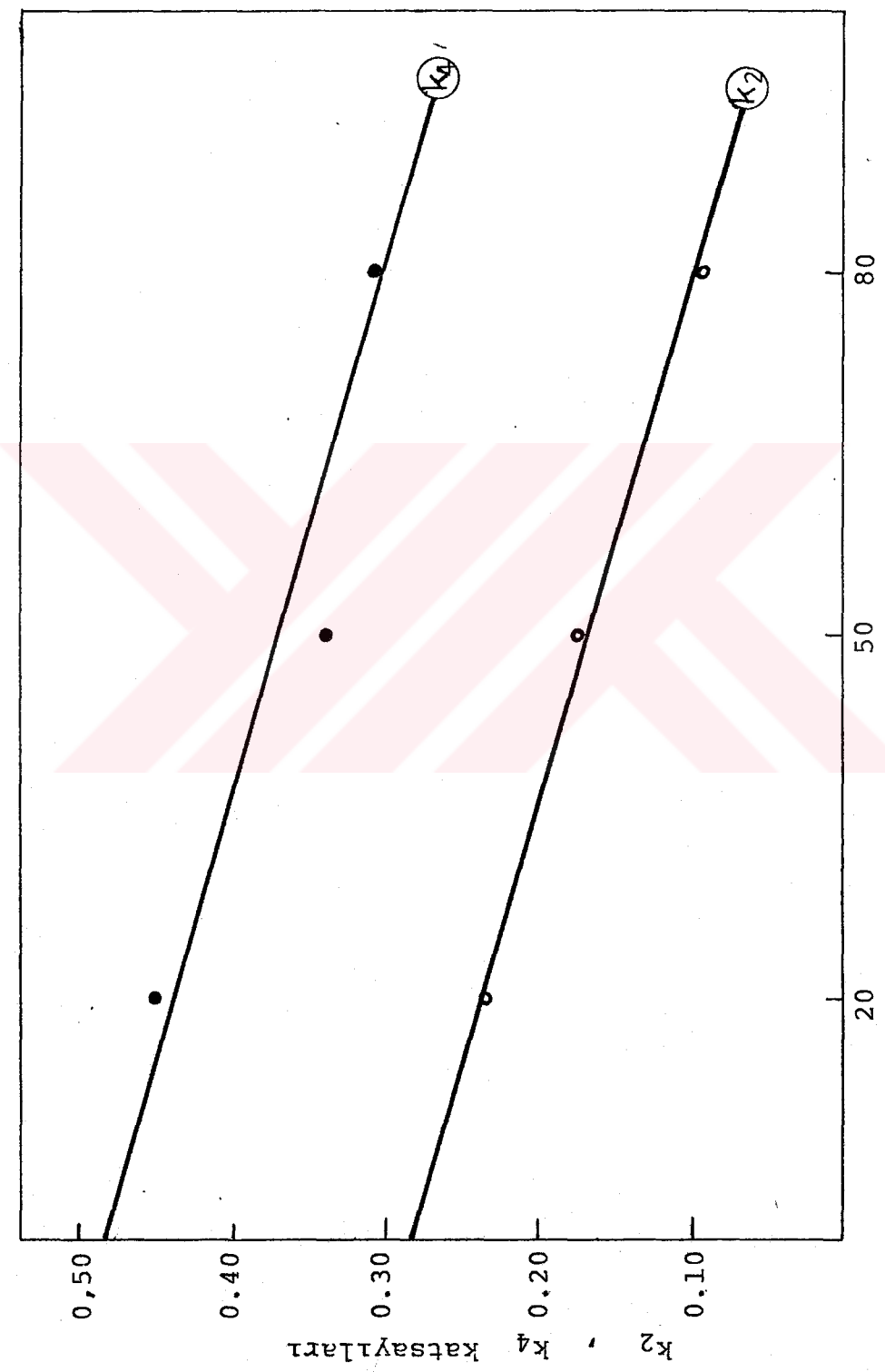
Sekil 4.18. 1-ci Grup betonlarda " $k_1$ " ve " $k_3$ " katısaylarının işlem sıcaklığı ile değişimini



Şekil 4.19. 1.ci Grup hafif betonlarda " $k_2$ " ve " $k_4$ " katsayılarının işlem sıcaklığı ile değişimi



Şekil 4.20. 2.ci Grup hafif betonlarda " $k_1$ " ve " $k_3$ " katsayılarının işlem sıcaklığı ile değişimi



Şekil 4.21. 2. ci Grup hafif betonlarda "k<sub>2</sub>" ve "k<sub>4</sub>" katsayılarının işlem sıcaklığı ile değişimi

Bu tablo ve şekillerin incelenmesinde şu sonuçlara varılmıştır:

a) 1.ci grup hafif betonda "k" katsayılarının işlem sıcaklığı ile değişiminde iyi bir doğrusal korelasyon mevcuttur. Kontrol olarak seçilen ve  $k_1$ ,  $k_2$ ,  $k_3$ ,  $k_4$  katsayılarının belirlenmesinde ve dolayısıyle "a", "b" sabitlerinin hesaplanması gözönüne alınmayan C-60 kontrol serisinde grafikten bulunan değerlerle deney sonuçlarından elde edilen değerler arasındaki farkın oldukça az olduğu görülmüştür. Bu değerlerin birbirine oldukça yakın çıkması işlem sıcaklığının hafif betonlarda "k" katsayıları ile iyi bir korelasyonda olduğunu göstermektedir. Buradan herhangi bir işlem sıcaklığındaki betonun sünmesinin grafikle verilen ilişkideki "k" katsayıları ile tahmin etmenin önemli bir hataya neden olmayacağı söylenebilir.

b) Her iki hafif beton grubunda " $k_1$ " ve " $k_3$ " sıcaklık derecesindeki artışla azalmaktadır. Fakat bu azalma " $k_3$ " ün eğimi " $k_1$ " e oranla daha fazladır. Bu sonuç sünme deformasyonun yükleme yaşı ile olan azalma ilişkisinin ani deformasyonun benzer ilişkisine oranla daha yüksek olduğunu göstermektedir.

c) Tablodaki relatif deney sonuçlarından görüldüğü gibi "k" katsayılarındaki en büyük azalma " $k_2$ " ve " $k_4$ " olmaktadır. İşlem sıcaklığının 95 °C olması halinde bu değerler ( $k_1$ ,  $k_2$ ,  $k_3$ ,  $k_4$ ) 20 °C ye oranla sırası ile yüzde 59, 71, 69 ve 71 oranında azalmaktadır.

d) 2.ci grup hafif betonda "k" katsayıları aynı şekilde işlem sıcaklığı ile azalmaktadır. Genelde bu azalma diğer beton grubuna oranla daha yavaştır. 50 °C de en fazla azalma " $k_3$ " katsayısında olup 20 °C'ye oranla yüzde 65 nisbetindedir. 80 °C deki en fazla azalma ise " $k_2$ " katsayısında olmaktadır.

Buradan "k" katsayılarının işlem sıcaklığına duyarlılığı 1.ci grup betonlarda, yani birim ağırlığı fazla olan betonlarda daha yüksek olduğu görülür. Bu sonuç birim ağırlığı düşük olan betonların değişken gerilmeler

Tablo 4. 5. Hafif beton serilerinin grafikten hesaplanan sünme fonksiyon sabitleri

t (gün) Beton kodu	"a" Katsayıları ( $\times 10^{-6}$ /N/mm <sup>2</sup> )				"b" Katsayıları ( $\times 10^{-6}$ /N/mm <sup>2</sup> )			
	1	7	28	90	200	1	7	28
A - 20	212.70	105.79	64.32	50.15	42.30	31.76	223.89	75.03
B - 40	194.17	107.96	71.06	57.65	49.96	39.27	190.30	69.85
C - 60	140.62	90.77	66.46	56.86	51.11	42.71	133.43	61.10
D - 70	118.15	81.03	61.94	54.15	49.40	42.31	100.85	55.66
E - 95	87.83	71.76	62.14	57.83	55.05	50.67	69.06	50.17
F - 20	241.04	149.82	106.76	90.13	80.26	66.03	287.07	115.02
G - 50	216.20	152.40	118.80	104.88	96.31	83.43	185.62	93.94
H - 80	178.33	147.08	128.22	119.71	114.22	105.54	146.32	78.85

Tablo 4.6. Hafif beton serilerinin grafikten hesaplanan relativ sunme fonksiyon sabitleri

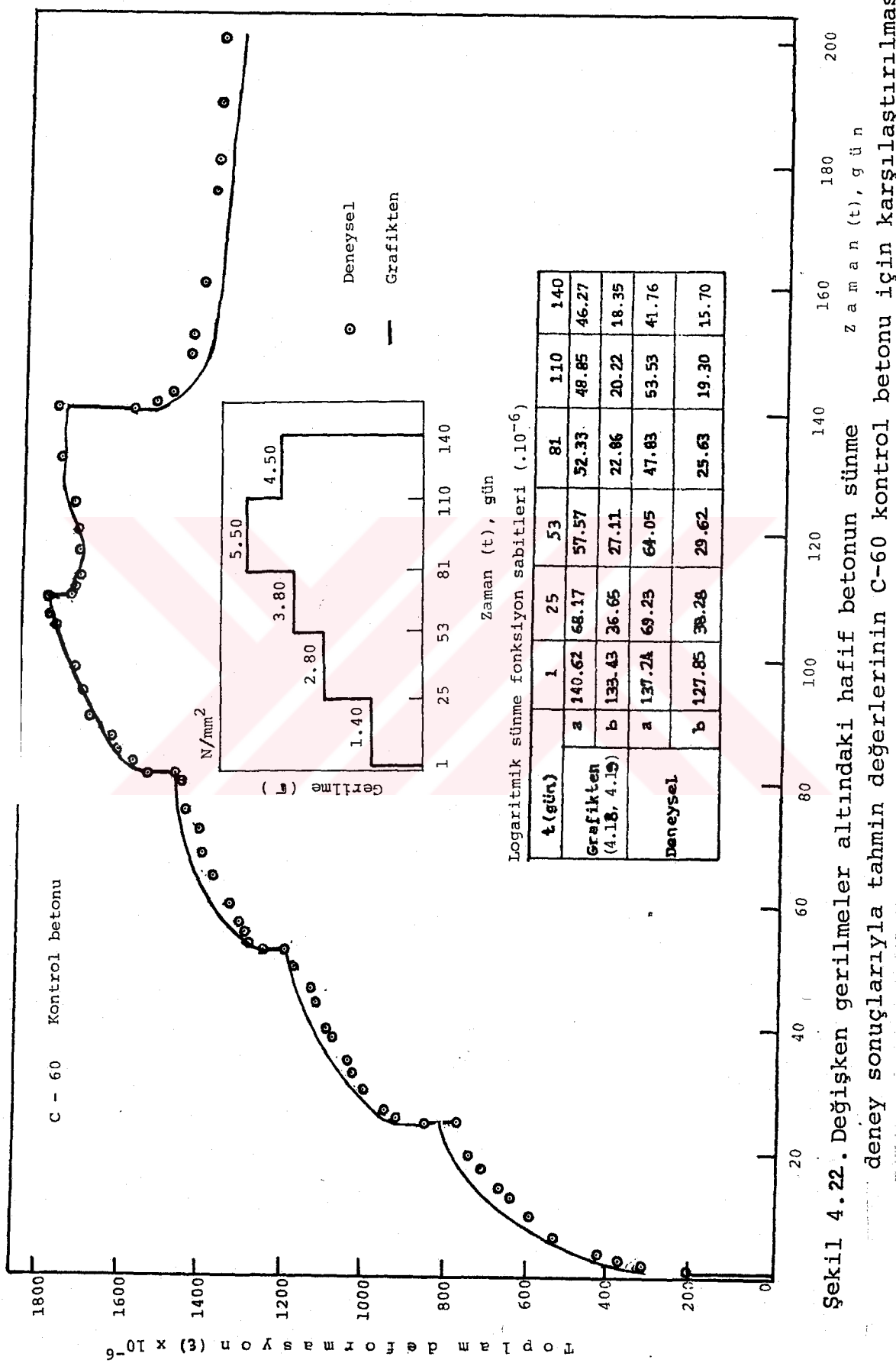
t (gün)	Relatif "at/a <sub>28</sub> " değerleri						Relatif "b <sub>t</sub> /b <sub>28</sub> " değerleri					
	1	7	28	56	90	200	1	7	28	56	90	200
Beton kodu												
A - 20	3.30	1.64	1.00 <sup>*</sup>	0.78	0.66	0.49	6.50	2.18	1.00 <sup>*</sup>	0.68	0.52	0.33
B - 40	3.02	1.68	1.10	0.90	0.78	0.61	5.53	2.03	0.99	0.70	0.54	0.36
C - 60	2.19	1.41	1.03	0.88	0.79	0.66	3.88	1.77	1.02	0.77	0.64	0.46
D - 70	1.84	1.26	0.96	0.84	0.77	0.66	2.93	1.62	1.06	0.86	0.74	0.58
E - 95	1.36	1.12	0.97	0.90	0.86	0.79	2.00	1.46	1.16	1.04	0.96	0.84
F - 20	2.25	1.40	1.00 <sup>⊕</sup>	0.84	0.75	0.62	4.79	1.92	1.00 <sup>●</sup>	0.72	0.58	0.40
G - 50	2.02	1.43	1.11	0.98	0.90	0.78	3.09	1.57	0.96	0.76	0.64	0.48
H - 80	1.67	1.38	1.20	1.12	1.07	0.99	2.44	1.32	0.85	0.68	0.58	0.45

altında zamanla daha fazla sünme yapacağını ifade eder. Aynı şekilde bu betonlarda ani deformasyonlarında fazla olacağı sonucuna varılır. Öte yandan işlem sıcaklığının bu deformasyonlara olan etkime şekli zamanla değişiklik gösterir. Bu deformasyonlar yüklemenin ilk yaşlarında işlem sıcaklığındaki artışla azalırken ileri yaşlardaki yüklemelerde bu durum aksi yönde bir ilişki göstermektedir.

**4.3.4. Değişken gerilmeler altındaki hafif betonun sünmesinin, işlem sıcaklığıyla değişiminin tahmini ve sonuçların irdelenmesi**

İsıl işlem görmüş hafif betonların değişken gerilmeler altında zamana bağlı davranışını tesbit için "k" katsayılarının işlem sıcaklığıyla değişimini gösteren Şekil 4.18, 4.19, 4.20 ve 4.21 deki grafiklerden yararlanılarak sünmenin tahminine çalışılmıştır. Bunun için seçilen altı zaman diliminde (1, 7, 28, 56, 90, 200 gün) geri dönüş gerçekleştirilerek hem "a" ve "b" nin tahminine olanak sağlanmış, hem de sünme deney sonuçlarının istenen şekilde irdelenmesine çalışılmıştır.  $60^{\circ}\text{C}$  işlem sıcaklığı için deney sonuçlarıyla bulunan tahmin değerlerinin karşılaştırılması Şekil 4.22 de gösterilmiştir. Bu diyagramdan görüldüğü üzere deney sonuçlarıyla grafikten bulunan tahmini değerler arasında oldukça iyi bir yaklaşım mevcuttur. Grafikten hesaplanan değerler, deney sonuçlarıyla karşılaştırıldığında, yükleme basamaklarında tahmin değerleri deney sonuçlarının biraz üstünde kalmakta, boşaltmalarda ise bu durum tersine dönmektedir. Her iki durumda da deformasyonların nisbeten birbirine yakın olduğu görülmüştür.

Tablo 4.5 de bulunan sonuçlar 1.ci grup beton için A-20 serisi 28.ci günündeki değerlerine, 2.ci grup beton için F-20 serisinin aynı gündeki değerlerine oranlanarak bulunan relatif sonuçlar Tablo 4.6 da gösterilmiştir. Elde edilen bu sonuçlar Şekil 4.23, 4.24, 4.25, 4.26 de görülmektedir.



**Şekil 4.22.** Değişken gerilmeler altındaki hafif betonun sinme deney sonuçlarıyla tahmin değerlerinin C-60 kontrol betonu için karşılaştırılması

Bu tablo ve şekillerin incelenmesinden özetle şu sonuçlar çıkarılmıştır;

"a"nın relativ değerleri Şekil 4.23 ve 4.24 ün incelenmesinden görüleceği gibi,

- 1.ci günde işlem sıcaklığının artışı ile  $a_t/a_{28}$  oranı belirgin olarak sürekli bir azalma göstermektedir. Bu dikkati çeken azalma farklı eğimlerde olmak üzere her iki grup beton için söylenebilir. Bu sonuç ısıl işlemin daha önce bilinen bir doğal sonucu olduğunu gösterir.

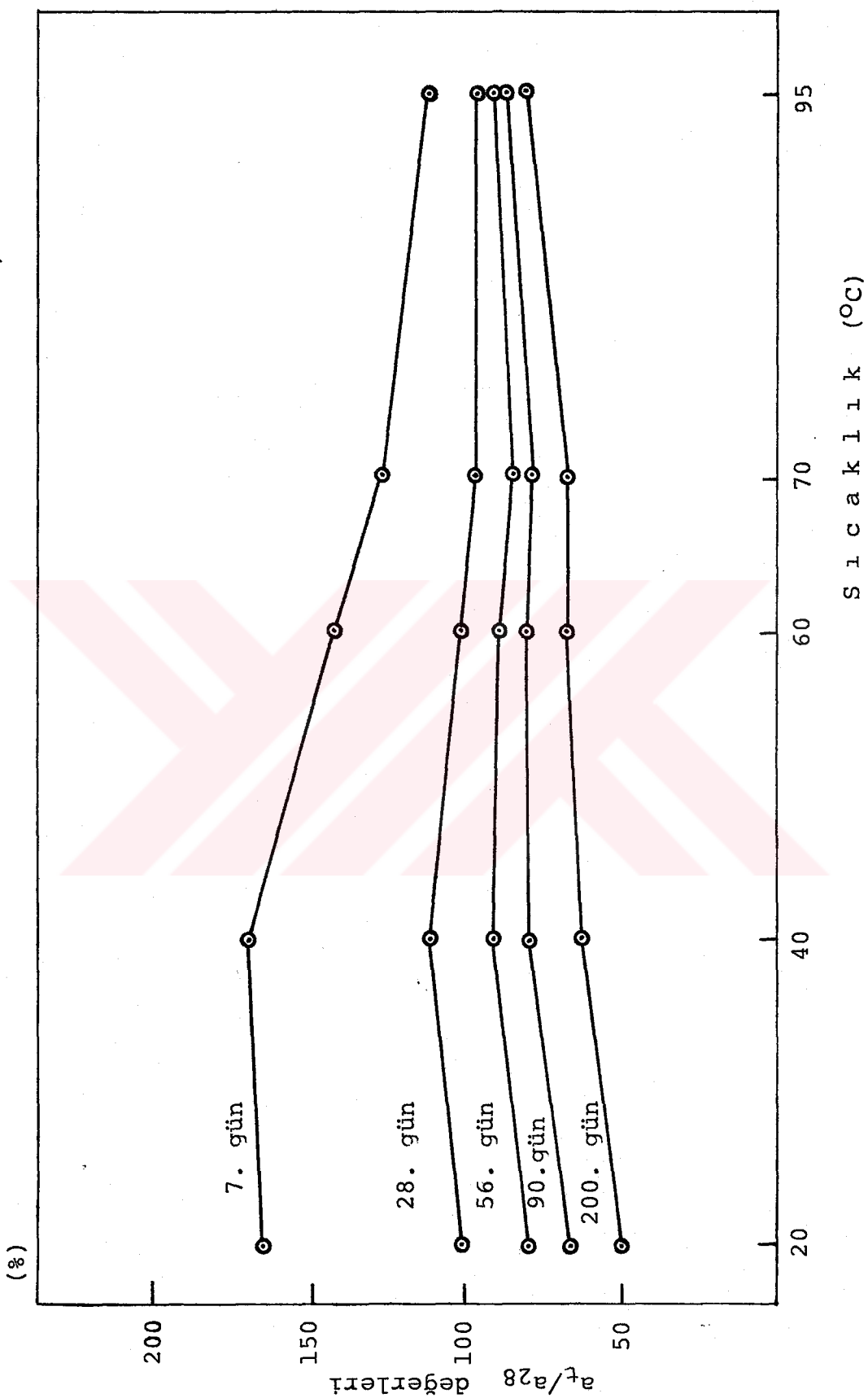
- 7.ci gün, 1.ci grup betonda ısıl işlem sıcaklığıyla bu oran artarken bir maksimumdan geçerek  $95^{\circ}\text{C}$  ye kadar azalmaktadır. 2.ci grup beton için belirgin bir eğilim görülmemiştir.

- 28 ve 56.ci günlerde, 1.ci grup betonlar için 7.ci gündekine benzer gidiş gösteriyorsa da, işlem sıcaklığı yükseldikçe "a" değerinde artış gözlenmektedir. 2.ci grup betonlarda işlem sıcaklığıyla sürekli artış durumundadır.

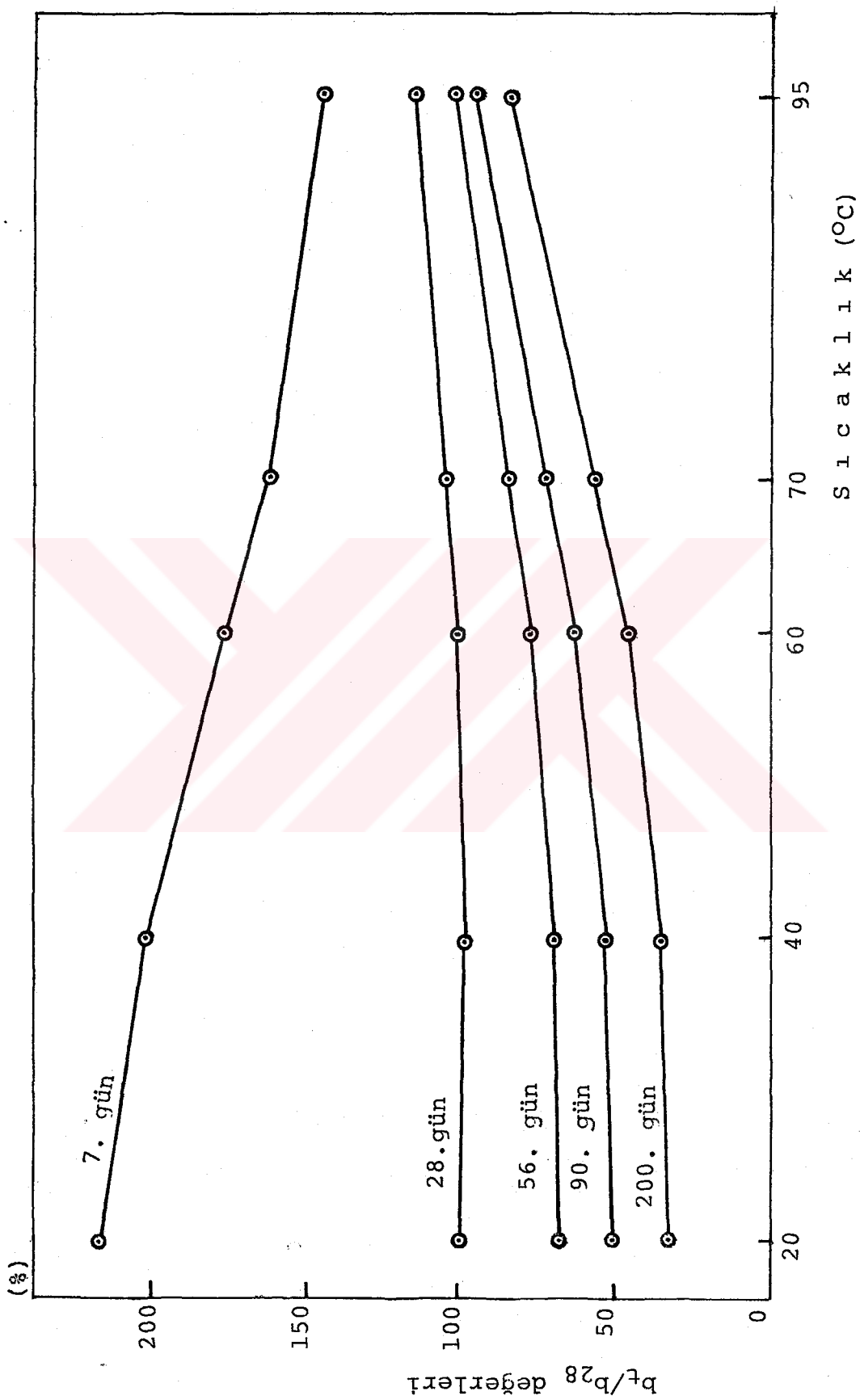
- 90 ve 200.cü günlerde ise, işlem sıcaklığıyla " $a/a_{28}$ " oranının değişimi her iki betonda benzer olarak artış eğiliminde olduğu görülmektedir.

Buradan şu sonucun çıkarılması mümkündür. Birçok araştırmada belirtildiği gibi işlem sıcaklığı betonun ilk yaşlardaki dayanımına olumlu etki yapmasına karşın, ileri yaşlarda ısıl işlem görmemiş betonlara kıyasla dayanımında bir azalma görülmektedir [34]. Bilindiği gibi "a" kat sayısı betonun ani deformasyonunu ifade eden sünme fonksiyonundaki bir sabittir. ısıl işlemin ileri yaşlarda sıcaklık derecesine bağlı meydana getirdiği bu dayanım kaybı nedeni ile aynı gerilme altında daha fazla deformasyon yapacağı açıklıdır. Bu sonuç kısa süreli deney sonuçlarından da bilinmektedir.

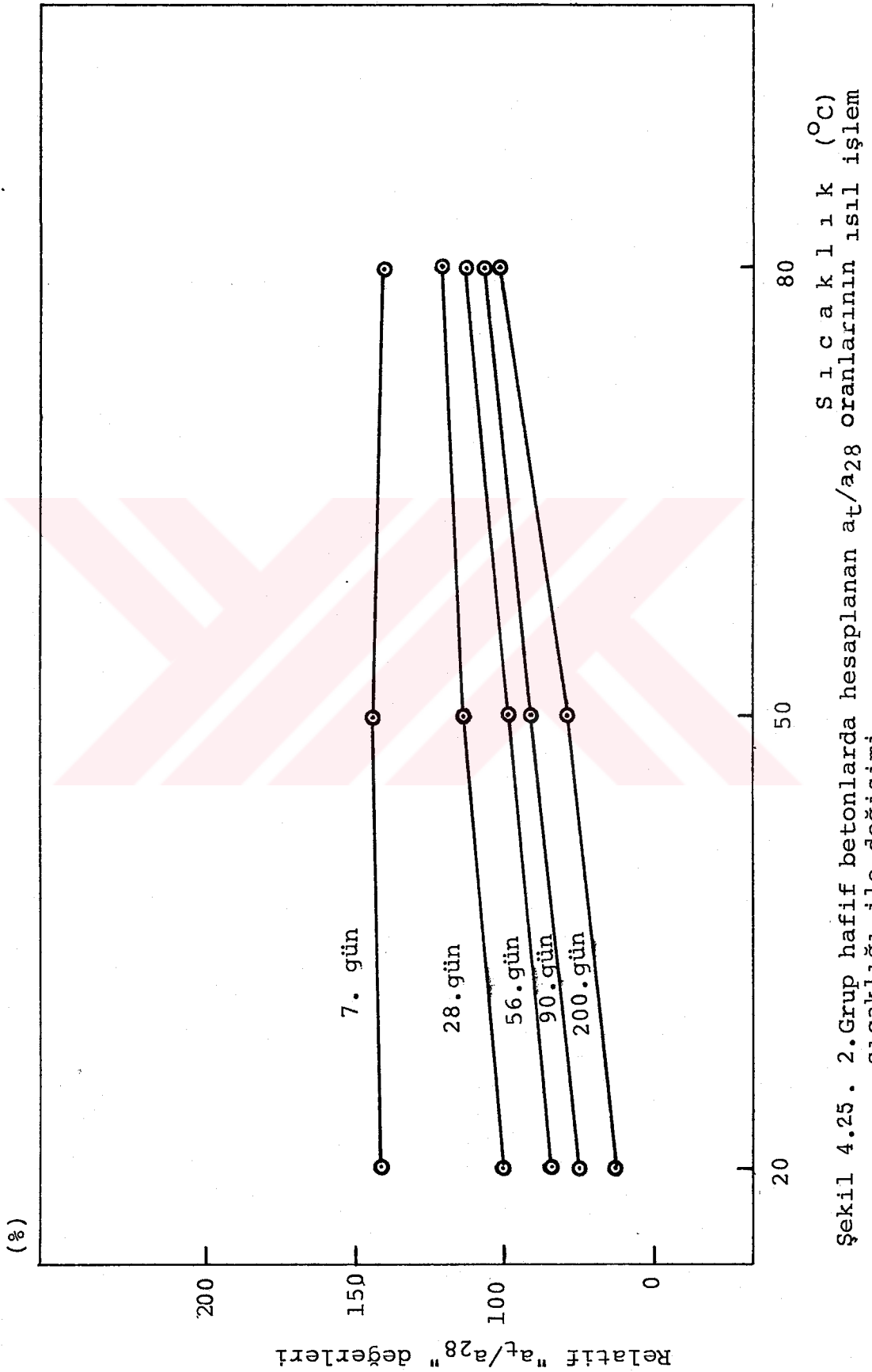
Diğer çalışmalarında da belirtilen bu sonuç yapılan bu çalışmada varılan sonuçla uyum halindedir. Bu sonuca göre hafif betonlarda logaritmik sünme fonksiyonundaki  $a/a_{28}$  oranı yüklemenin ilk yaşlarında işlem sıcaklığının

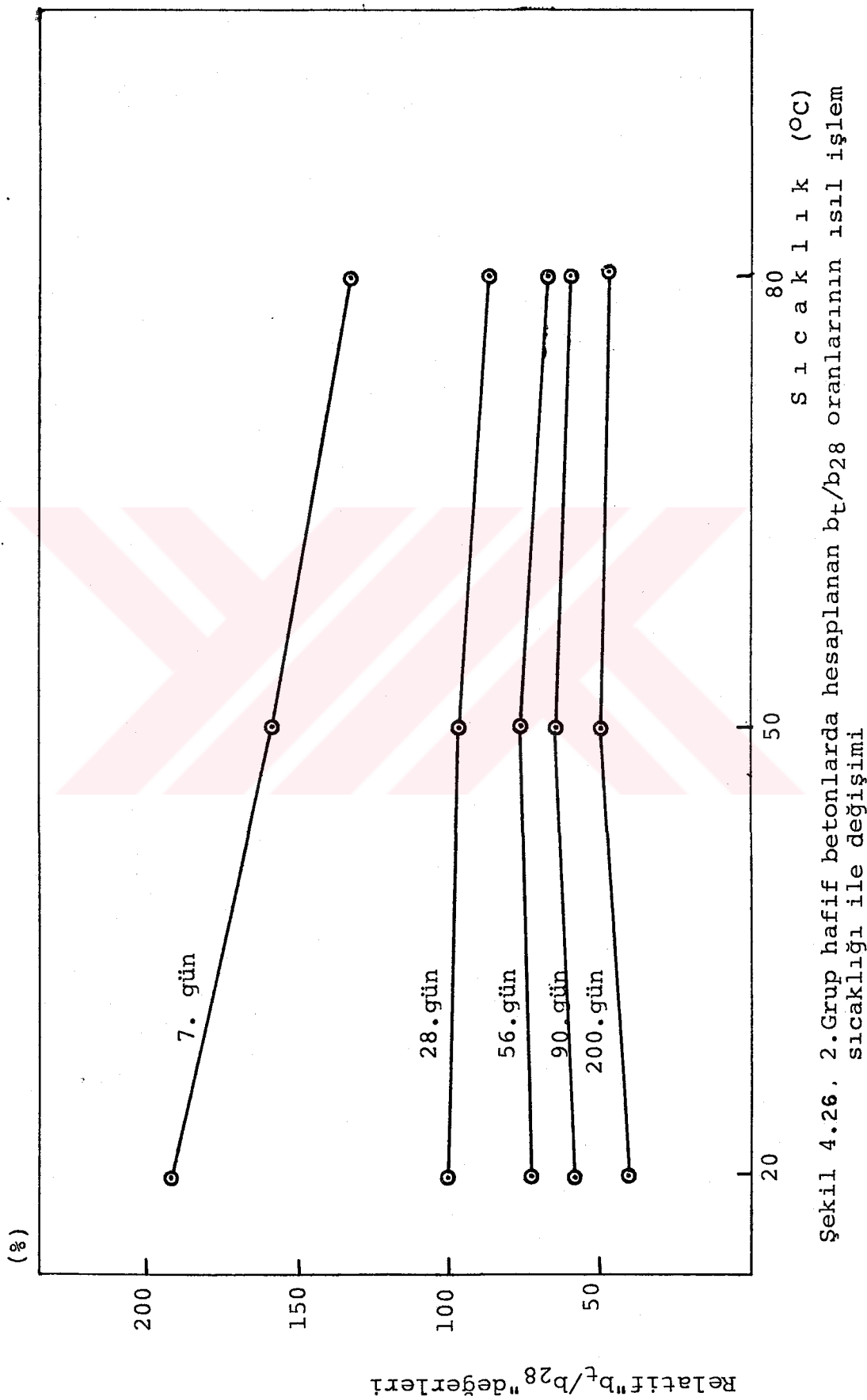


Sekil 4.23. 1.ci Grup hafif betonlarda hesaplanan  $a_t/a_{28}$  oranlarının işlem sıcaklığı ile değişimi



Şekil 4.24 1.ci Grup hafif betonlarda hesaplanan  $b_t/b_{28}$  örenlerinin işlem sıcaklığı ile değişimi





Sekil 4.26. 2.Grup hafif betonlarda hesaplanan  $b_t/b_{28}$  oranlarının sıcaklığı ile değişimini

artmasıyla birlikte azalırken, ileri yaşlarda aynı sıcaklık artışına karşın artma eğilimi görülmüştür. Bu sonuç işlem sıcaklığının ileri yaşlarda dayanım kaybına neden olduğu sonucu ile açıklanabilir.

b/b<sub>28</sub> oranının Şekil 4.23 ve 4.25'in incelenmesinden varılan sonuçlar ise,

- 1.ci günde her iki grup betonda işlem sıcaklığına bağlı azalma daha belirgin olarak görülmektedir. Bu azalmadaki eğim 1.ci grup betonda daha fazladır. Buradan b/b<sub>28</sub> oranındaki nisbi fazlalık a/a<sub>28</sub> dekine göre çok yüksektir. a/a<sub>28</sub> de oran 3,30 iken b/b<sub>28</sub> de 6.50 kat olmaktadır.

- 7.ci günde bu katsayı işlem sıcaklığındaki artışla giderek azalmakta fakat bu azalmanın hızı ileri sıcaklıklarda düşmektedir.

- 28 ve 56.ci günlerde, 1.ci grup betonlarda b/b<sub>28</sub> oranının düşük sıcaklıklardaki eğilimi pek açık olmamış, sıcaklık arttıkça bu değerin arttığı ve artışın sıcaklığın ilerleyışı ile daha belirginleştiği görülmektedir. 2.ci grup betonlarda herhangi bir şey söylemek mümkün görülmemektedir.

- 90 ve 200.cü günlerde ise bu katsayı 1.ci grup betonlarda yine bir önceki yaşlardaki davranış biçimini devam ettirmektedir, fakat bir miktar artma mevcuttur. 2.ci grup betonlarda ise yine işlem sıcaklığındaki artışla benzer durum biraz daha düşük eğilimde görülmektedir.

Bu değerlendirmeler özetlenerek şu sonuçlar çıkarılabilir;

Betonun anı deformasyonunu ifade eden "a" katsayısının işlem sıcaklığı ile olan değişimine benzerlik gösteren "b" katsayı, daha önce açıklandığı gibi betonun sün-deformasyonunu ifade etmektedir. Bu deformasyon uygulanın gerilmeden ziyade gerilme/basınç dayanımı oranına bağlı bir değişim içerisindeidir [41] savıyla uyuşmaktadır. Yani aynı gerilme altında tutulan iki betondan basınç dayanımı düşük olanın yapacağı sünme deformasyonu da fazla olmaktadır. Buradan hareketle "a" katsayısının değerlendirilmesinde kısa süreli deney sonuçlarıyla olan benzer

davranış şekli, "b" katsayısının yorumu içinde söylenebilir. Bu sonuca göre ileri yaşlarda "b" katsayısı işlem sıcaklığındaki artışa paralel yönde artmaktadır. Bu artış birim ağırlığı düşük hafif betonlarda biraz daha yavaş seyir göstermektedir.

Öte yandan kürleme anında farklı kuruma koşullarından kaynaklanan iç yapıdaki bir takım kılcal çatlaklar ve kusurlar betonun sünmesini etkileyen diğer bir önemli neden olarak söylenebilir.

#### 4.4. Rötre Deformasyonlarının Değerlendirilmesi ve İrdelenmesi

Zamana bağlı diğer bir deformasyon türü olan rötre deformasyonları tüm beton serilerinde bulunarak Bölüm 3, Tablo 3.7 de gösterilmiştir.

Çalışma, hafif betonun sünmesi ağırlıklı bir araştırmakla birlikte bu betonların serbest halde yaptıkları deformasyonların bilinmesi birçok yönlerden gerekmektedir. Ayrıca sünme deformasyonlarındaki mertebesini ve gelişme seyrini takip açısından da önemli sayılabilir.

Rötre değerleri deformasyon-zaman diyagramında çizildikten sonra sünme deformasyonlarında olduğu gibi belli günlerdeki (1, 7, 28, 56, 90, 200 gün) değerleri alınarak Tablo 4.7 de gösterilmiştir. Bölüm 3 de belirtildiği gibi rötre deformasyon ölçümleri her beton serisinde sünme deformasyonları ile aynı anda başlatılmıştır.

Bulunan bu sonuçlar 1.ci grup betonlarda A-20 serisinin 28.ci günündeki değerine, 2.ci grup hafif betonlarda ise F-20 serisinin 28.ci günündeki değerine oranlanarak bulunan relativ değerler Tablo 4.8 de bunların işlem sıcaklığı ile değişimi Şekil 4.27 ve 4.28 de gösterilmiştir. Bu sonuçlardan şu değerlendirmeleri yapmak mümkündür;

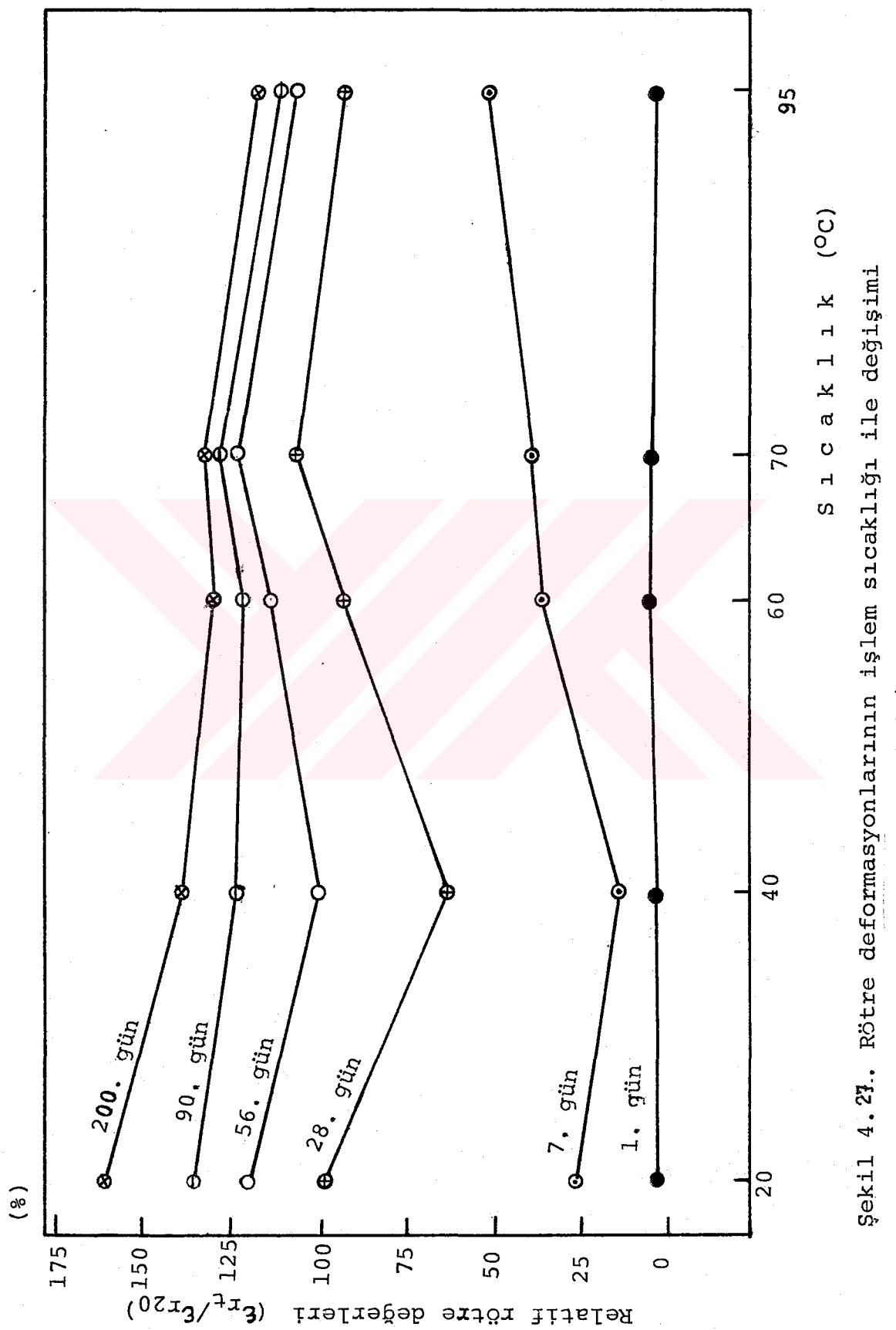
- Rötre deformasyonları zamanla artmaktadır. Bu artışta rötre hızı giderek azalmaktadır.
- İşlem sıcaklığı ile rötre deformasyonları arasındaki ilişkide 1.ci gününde bir belirginlik yoktur.

Tablo 4.7. Deney sonuçlarından bulunan rötre deformasyonları

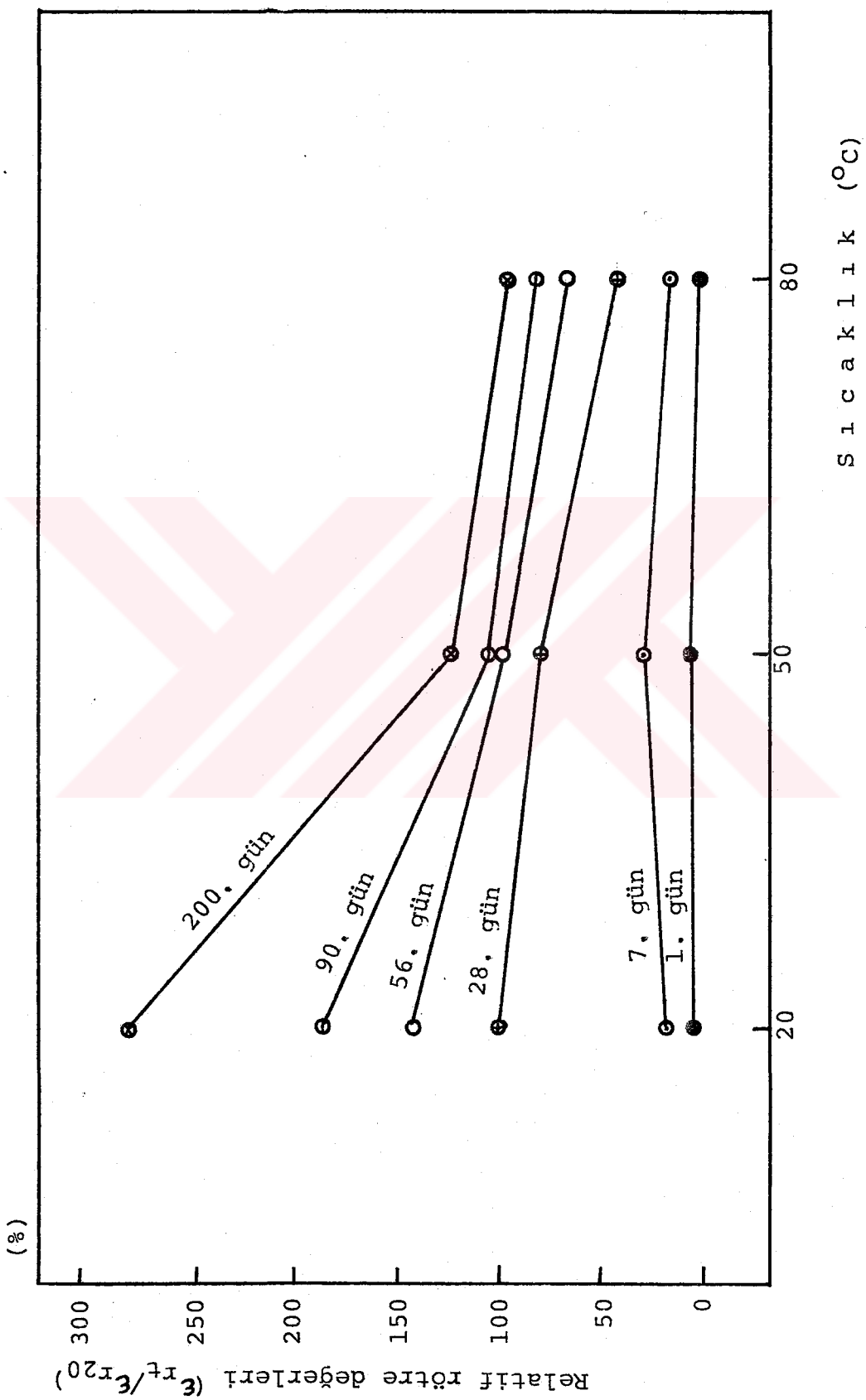
Beton kodu	Rötre Deformasyonu ( $\epsilon_r$ ): $10^{-6}$					
	1	7	28	56	90	200
A-20	35	184	615	718	810	962
B-40	20	96	380	600	750	820
C-60	35	220	560	682	732	780
D-70	26	245	645	745	776	795
E-95	22	315	530	640	660	700
F-20	18	90	470	675	844	1280
G-50	16	148	350	460	478	558
H-80	10	80	210	290	372	448

Tablo 4.8. Deney sonuçlarından bulunan relativ rötre değerleri

Beton kodu	$\epsilon_r/\epsilon_{r28}$ değerleri					
	1	7	28	56	90	200
A-20	0.05	0.30	1.00	1.17	1.32	1.56
B-40	0.03	0.16	0.62	0.98	1.22	1.33
C-60	0.05	0.36	0.91	1.10	1.19	1.27
D-70	0.04	0.40	1.05	1.21	1.26	1.29
E-95	0.03	0.51	0.86	1.04	1.07	1.14
F-20	0.03	0.19	1.00*	1.44	1.80	2.72
G-50	0.03	0.31	0.74	0.98	1.02	1.18
H-80	0.02	0.17	0.45	0.62	0.79	0.95



Şekil 4.24. Rötre deformasyonlarının işlem sıcaklığı ile değişimini  
(1. Grup betonlar için)



Şekil 4.28 , Rötre deformasyonlarının işlem sıcaklığı ile değişimi  
(2.Grup betonlar için)

- 7.ci günde 20 ila 40 °C arasında azalırken daha sonra artış eğilimi görülmektedir. Bu artış kontrol değerin %51'ine ulaşmaktadır.

- 28 ve 56.ci günlerde rötre deformasyonları sıcaklık artışı ile farklı değişimler göstermektedir. Önce belirgin bir azalma gösterirken, belli bir minimumdan gereklidir artmakta ve en sonda tekrar azalma eğilimine dönüşmektedir.

- 90 ve 200.cü günlerde ise benzer eğilim daha düşük seviyede olmaktadır. 60 ve 70 °C civarında, ileri yaşlarda rötre deformasyonlarında bir benzerlik dikkati çekmektedir.

İkinci grup betonlarda ise,

- 1.ci ve 7.ci günlerde tam bir belirginlik görülmemektedir.

- 28 ve 56.ci günlerde rötre deformasyonları işlem sıcaklığı ile birlikte azalmaktadır. Bu azalmada sıcaklık dereceleri arasındaki eğimler farklıdır.

- 90 ve 200.cü günlerde ise, sıcaklığa bağlı bu azalmanın 20-50 °C arasında daha yüksek eğimde olduğu görülmektedir. Fakat 50-80 °C arasında eğim düşmektedir.

Genel bir değerlendirme yapmak gerekirse, 1.ci grup betonlarda sıcaklık artışı ile rötre deformasyonları azalırken, ileri yaşlarda belirgin olmayan iniş ve çıkışlar göstermektedir. 2.ci grup betonlarda ise bu azalma daha fazla nisbettte olup 200.cü günde 20 °C deki beton serisinde rötre deformasyonları belli miktarda artarken 50 °C ve 80 °C deki serilerde ise artışın hemen hiç olmadığı söylenebilir. Bu sonuç sıcaklığın rötre deformasyonlarına, düşük birim ağırlıktaki betonda daha etkin olduğunu gösterir.

Rötrenin işlem sıcaklığı ile değişiminde 1.Grup betonlarda 90.ci günden itibaren, 2.Grup betonlarda ise 28.ci günden itibaren genel bir azalma karakteri göstermesi, sıcaklığın bu betonların iç yapılarındaki etkisinin belirtilen günlerden itibaren daha kararlı bir hal kazandığı ile açıklamak mümkündür.

## BÖLÜM 5 - SONUÇLAR

Bu araştırmada elde edilen bazı önemli sonuçları aşağıdaki maddelerde özetlemek mümkündür;

- 1) Hafif betonlarda ısıl işlem uygulamasının erken yaşlarda beton dayanımını artırdığı, ileri yaşlarda ise dayanım kaybına neden olduğu görüşü bu çalışmada bir kez daha vurgulanmıştır.
- 2) Hafif betonun sünmesini ifade etmek için seçilen logaritmik fonksiyondaki "a" ve "b" sabitlerinin yükleme yaşı ile değişimleri azalan yönindedir. Bu değerlerin logaritmaları ile yükleme yaşıının logaritması arasında iyi bir korelasyon olduğu görülmüştür.

Belirtilen ilişkide "b" sabitinin eğimi "a" ya oranla daha fazladır. Bu durum hafif betonun değişken yüklemeler altındaki sünme deformasyonun, ani deformasyona oranla zamanla daha çok azaldığını göstermektedir. Beton yükleme yaşı arttıkça, sünme deformasyonundaki bu azalma hızının ani deformasyondaki azalma hızına oranla yüksek olması, normal betonlara benzer şekilde hafif betonların sünmesinde de zamanla büyük azalma görüleceği ve bu azalma nisbetinin kısa süreli yüklemelerdeki ani deformasyonlara göre daha fazla olacağı saptanmıştır.

- 3) ısıl işlem sıcaklığındaki artışın ilk yükleme yaşlarında betonun sünmesini azalttığı görülmektedir. Bu azalma çalışılan sıcaklıklarda birinci grup betonlar için maksimum %70, ikinci grup betonlar için ise maksimum %50 nisbetindedir. İleri yaşlarda ise bu durum aksi yönde gerçekleşmektedir. Aynı oranlar bu kez artış yönünde olmak üzere birinci grup betonlar için maksimum %60, ikinci grup betonlar için ise maksimum %16 lik nisbi bir artış görülmüştür.

4) Yükleme yaşına bağımlı olarak düşünülen sünme fonksiyonundaki "a" ve "b" sabitleri,

$$\begin{aligned} a(\tau) &= k_1 \cdot \tau^{k_2} \\ b(\tau) &= k_3 \cdot \tau^{k_4} \end{aligned} \quad (4.18)$$

şeklinde ifade edilerek işlem sıcaklığı ile "k" katsayıları arasında iyi bir ilişki kurulabileceği gösterilmiştir. Bu ilişkiye göre "k" katsayıları ile işlem sıcaklığı arasında iyi bir doğrusal korelasyon mevcuttur. Bu doğrusal ilişkiden yararlanılarak herhangi bir sıcaklıkta işlem görmüş hafif betonun değişken yükler altındaki zamana bağlı davranışları iyi bir yaklaşımla tahmin edilebilmektedir. Bu sonucu göstermek amacıyla verilen ilişkinin dışında tutulan C-60 kontrol betonu için hesap edilen tahmini değerlerle deneysel değerler Şekil 4.22 de gösterilmiştir. Bu grafikten görüleceği üzere değişken gerilmeler altında deneysel olarak bulunan sünme deformasyonları ile hesapla bulunan sünme deformasyonları oldukça birbirine yakın çıkmaktadır. Bu iki deformasyonlar arasında maksimum %17 lik bir fark görülmüştür.

5) Deneyel çalışmada kullanılan iki farklı birim ağırlıktaki hafif betonun sünmesi karşılaştırıldığında birim ağırlığı düşük olanı sünmesinin daha çok olduğu sonucuna varılmıştır. Bu iki beton grubunda sünme değerleri yüklemenin ilk zamanlarında daha az olduğu fakat yükleme yaşı arttıkça bu farkın giderek arttığı görülmüştür. Her iki grup beton için normal ortam koşullarında 20 °C de kür edilmiş (A.20- F.20) betonun sünmesi dikkate alınlığında, birim ağırlığı büyük olanın (A.20) sünmesi daha düşük birim ağırlıktaki betonun (F.20) sünmesinin yaklaşık %78-48'i oranında olduğu ve bu aralıkta kalarak yükleme yaşı ile değiştiği saptanmıştır.

6) Elde edilen gözlemlere dayanarak hafif betonları servis yükleri altında lineer viskoelastik varsayıminın önemli bir hataya neden olmayacağı söylenebilir.

7) Rötre deformasyonları ısil işlem sıcaklığı ile azalmaktadır. Fakat bu azalmada belirgin bir değişim karakteri görülmemiştir. Bu sonucu, ısil işlem anında ısının beton kütlesine üniform olarak yayılmamasından kaynaklanabilecegi ile açıklamak olasıdır.

Bu çalışmada varılan sonuçlar, hafif beton araştırıcılığı içerisinde bağımsız bir bilgi birikiminin oluşmasına neden olacağı düşünülerek gerçekleştirilmiştir. Ancak belirtilmesi lazım ki betonun uzun süreli davranışındaki işlevinin tüm yasalarının bir tek araştırmada belirlenebileceği düşünülemez. Elde edilen sonuçlarla bu yasalar hiç değilse bir ölçüde açıklanabilir.

#### İleriki Araştırmalar İçin Öneriler

Bu çalışmanın kapsamı dışında olan, fakat incelenen konu ile bütünlük oluşturacağı düşünülerek eksikliği hissedilen ve bu araştırmamanın devamı olabileceği düşünülen hususlar şunlardır;

a) Betonda sünmenin oluşumuna neden kabul edilen çimento miktarı, etkin su/çimento bazında değiştirilerek, bu oranın değişimi ile ısil işlemin aynı beton özelliklerine etkime şekli ve derecesi incelenmelidir.

b) Bu araştırmada kullanılan 10x10x50 cm.lik prizmatik numunelere ek olarak daha farklı biçim ve boyutta hafif beton üzerine ısil işlem uygulanarak, boyut ve biçim etkisi benzer olay içerisinde ortaya çıkarılmalıdır.

c) Aynı beton bileşiminde, hafif agregat miktarı değiştirilerek farklı birim ağırlıktaki hafif betonlarda sünmenin işlem sıcaklığıyla değişimine hafif beton birim ağırlığının etkisi daha ayrıntılı olarak incelenmelidir.

d) Yukarıda alınan ileri araştırmalarda bulunacak deney sonuçları, gerek bu çalışmada kullanılan bağıntı, gerekse başka bağıntı veya modellerle ifade edilip edilemeyeceği saptanmalıdır. Parametrelerin değişimini ifade eden bir bağıntı mevcutsa buda belirtilmelidir.

## K A Y N A K L A R

- [1] NEVILLE, A.M., "Properties of Concrete", Pitman Publishing, London, (1975).
- [2] PRICE, W.H. and CORDAN, W.A., "Tests of Lightweight Aggregate Concrete", ACI Journal, Proceedings, Vol. 45, No.8, pp.581-600, April (1949).
- [3] KARAGÜLER, M., "Isıl İşlem Parametrelerinin Hafif Beton Özelliklerine Etkisi", Doktora Tezi, İ.T.Ü. Fen Bilimleri Enstitüsü, Mayıs (1988).
- [4] CANSUN, O., "Türkiye'de Prefabrik Yapı Parçaları Üretmek Üzere Kurulacak Fabrikaların Dağılımı ve Birleşsel Kapasiteleri", Doktora Tezi, İ.T.Ü. Mimarlık Fakültesi, (1979).
- [5] KULAKSIZOĞLU, E., "Mimarlık Alanında Çağdaş İnşaat Sistemleri, Gelişimi ve İlgili Tasarım Olanakları", Doçentlik Tezi, İ.T.Ü. Mimarlık Fakültesi, (1973).
- [6] TAPAN, M., "Betonarme Büyük Boyutlu Prefabrik Elemlarla Çok Katlı Konut Üretiminde Tasarım Kısıtlamaları Üzerine Bir Araştırma", Doktora Tezi, İ.T.Ü. Mimarlık Fakültesi, (1973).
- [7] TAŞDEMİR, M.A., "Taşıyıcı Hafif Agregalı Betonların Elastik ve Elastik Olmayan Davranışları", Doktora Tezi, İ.T.Ü. İnşaat Fakültesi, (1982).
- [8] POSTACIOĞLU, B., "Yapı Malzemeleri Dersleri-Bağlayıcı Maddeler, Agregalar, Beton", İ.T.Ü. Matbaası, Gümüşsuyu-İstanbul, (1975).
- [9] AKMAN, M.S., "Yapı Malzemeleri", İ.T.Ü. İnşaat Fakültesi Ders Notları, İ.T.Ü. Kütüphanesi, sayı:1336, İ.T.Ü. İnşaat Fakültesi Matbaası, (1987).
- [10] AKMAN, M.S., "Hafif Betonlar", Türkiye Mühendislik Haberleri, pp. 30-35, Haziran (1962).
- [11] "Overseas Building Notes, Manufacture and Application of Lightweight Concrete", No.152, October (1973).
- [12] AKMAN, M.S., TAŞDEMİR, M.A., "Taşıyıcı Malzeme Olarak Perlit Betonu", I.Uluslararası Perlit Kongresi, 20-22 Aralık, Ankara, pp. 40-48, (1977).
- [13] ASTM C 330-69, "Standart Specification for Lightweight Aggregates for Structural Concrete
- [14] ÇETMELİ, E., "Yeni Alman Betonarme Şartnamesi (DIN 1045, 1972), Betonarme Hesap Esasları, Kesitlerin Boyutlandırılması ve Donatının Yerleştirilmesi", Uluğ Kitabevi, İstanbul, (1974).

- [15] TS 3234, "Bimsbeton Yapım Kuralları, Karışım Hesabı ve Deney Metodları", T.S.E., Ankara, Eylül (1978).
- [16] TS 2823, "Bimsbetondan Mamül Yapı Elemanları", T.S.E., Ankara, Eylül (1986).
- [17] SPRATT, B.H., "The Structural Use of Lightweight Aggregate Concrete", Cement and Concrete Association, December (1974).
- [18] SÜKAN, T., ERMUTLU, E., "Doğal Hafif Agregalarla Hafif Beton Araştırması", TÜBİTAK, Proje No:MAG-31 Ankara, (1966).
- [19] "Türkiye'de Diyatomit Envanteri", Maden Teknik Araştırma Enstitüsü Yayınlarından, No.138, Ankara, (1968).
- [20] SCHÜTZ, F.R., "Bims und Bimsbau", Sonderdruck aus "Der Dachdecker-Meister", pp. 1-12, Ausgabe, April (1965).
- [21] NEUNAST, A., THEINER, J., "Bims-Bauen mit Bimsbau-Stoffen", Verlagsgesellschaft Rudolf Müller, Köln-Braunsfeld, (1981).
- [22] İHTİYAROĞLU, E., "Tabii Hafif Agregalarla İmal Edilen Hafif Beton Blokların Duvar Elemani Olarak Özeliliklerinin Tayini Üzerinde Araştırmalar", İmar ve İskan Bakanlığı Yayınları, No: 5-76, Ankara, (1974).
- [23] ERCİYES, Y., "Bims ve Bims Betonu Üzerine Araştırmalar", İmar ve İskan Bakanlığı Yayınları, No: 5-17, Ankara, (1963).
- [24] YILMAZ, Z., "Kayseri Sünger Taşı İle Hafif Beton Araştırması", İ.T.Ü. Maçka İnşaat Fakültesi, M.M.L. Tezi, İstanbul, (1980).
- [25] SCHÜTZ, F.R., "Voll-und Hohlblocksteine der Gütekasse 50 aus Naturbims", Sonderdruck aus "Betonstein-Zeitung", Heft 10/65, 31. Jahrgang, (1965).
- [26] NEUNAST, A., "Wandbaust offe aus Naturbims Verarbeitung und Bauphysikalische Eigenschaften", Sonderdruck aus der Zeitschrift "Das Baugewerbe", Heft 2, (1970).
- [27] NEUNAST, A., "Der Schallschutz Von Wänden aus Bimsbaustoffen", Sonderdruck aus, "Industrie-Anzeiger", Nr.70, Ausgabe, "Industrie und Bauwesen" (3. Heft), Verlag W. Girardet, Essen, vom 22 August (1969).
- [28] NEUAST, A., "Bimsbaustoffkunde" Verband Rheinischer Bimsbaustoffwerke e.v., Januar (1970).

- [29] UYAN, M., "Isıl İşlem Uygulaması ile Birlikte Katkı Kullanımının Beton Özelliklerine Etkileri", Doçentlik Tezi, İ.T.Ü. İnşaat Fakültesi, Mart (1982).
- [30] UYAN, M., "Betona Isıl İşlem Uygulamasının Beton Özelliklerine Etkisi ve Beton Borular İçin Isıl İşlem Uygulama Esasları", Beton Semineri, D.S.İ., Araştırma Sitesi-Ankara, pp. 139-150, Şubat (1984).
- [31] ÖZTEKİN, E., "Beton Sertleşmesinin Hızlandırılmasında Kullanılan Isıl İşlemler-Eğilme Dayanımına Etkileri", Doçentlik Tezi, K.T.Ü. İnşaat-Mimarlık Fakültesi Trabzon, (1977).
- [32] CANSUN, O., "Beton Bünyeli Panolarla Prefabrikasyonda Prizin Hızlandırılması", Dizayn Konstrüksiyon, sayı: 24, pp. 17-20, Mart (1987).
- [33] COPELAND, L.E., KANTRO, D.L., VERBECK, G., "Chemistry of Hydration of Portland Cement", Int. Symp. on the Chemistry of Cement, Washington, (1960).
- [34] ÖZTEKİN, E., "Beton Sertleşmesinin Hızlandırılmasında Kullanılan Isıl İşlemler", Türkiye İnşaat Mühendisliği 7. Teknik Kongresi, Ankara, (1978).
- [35] ACI Committee 517, "Low Pressure Steam Curing", Journal of the ACI, Proceed. v. 60, August, pp. 953-986, (1963).
- [36] State-of-the Art Report, "Heat Treatment of Concrete", Draft, July 1985, Betonwerk-Fertigteil-Techink, Heft 9, pp. 610-617, (1985).
- [37] WADDEL, J.J., "Concrete Construction Handbook", Mc Graw-Hill Book Company, second Edition, (1974).
- [38] ACI Committee 516, "High Pressure Steam Curing: Modern Practice and Properties of Autoclaved Products", Journal of the ACI, Proceedings, v. 62, August, pp. 869-907, (1965).
- [39] ACI Committee 517, "Recommended Practice for Atmospheric Pressure Steam Curing of Concrete", Journal of the ACI, Proceed, Vol. 66, pp. 629, (1969).
- [40] POSTACIOĞLU, B., "Cisimlerin Yapısı ve Özellikleri-Cilt I", İ.T.Ü. Kütüphanesi, sayı 1176, İ.T.Ü. Matbaası, (1981).
- [41] NEVILLE, A.M., "Creep of Concrete", North-Hollanda, (1970).
- [42] LORMAN, W.R., "The Theory of Concrete Creep", ASTM Proc. 40, pp. 1082-1102, (1940).

- [43] State-of-Art Report on "Creep and Shrinkage of Concrete: Mathematical Modeling", by Rilem Committee TC 69 Chaired by Z P Bazant, in Preprints 4 th Rilem Intern. pp. 39-456, (1986).
- [44] COOK, D.J., HAQUE, M.N., "The Tensile and Fracture of Dried Concrete and Mortar on Water Sorption. Materials and Structures", No: 39, (1974).
- [45] BROWNE, R.D., BLUNDEL, R., "The Influence of Loading Age and Temperature on the Long Term Creep Behaviour of Concrete in a Sealed, Moisture Stable, State", Rilem. Vol. 2, No: 8, pp. 133-145, (1969).
- [46] MARECHAL, J.C., "Le Fluage du Béton en Fonction de la Température Materials and Structures", No: 8, (1969).
- [47] GAMBLE, B.R., PARROTT, L.J., "Creep of Concrete in Compression During Drying and Wetting", Magazine of Concrete Research, Vol. 30, No. 104, pp. 129-138, September (1978).
- [48] HERMITE, R.L., MAMILLON, M., "Retrait et Fluage des Bétons", Annales de l'ITBTP. September (1968).
- [49] ROSS, A.D., "Creep of Concrete Under Variable Stress", ACI, Journal, Vol. 54, pp. 739-758, (1958).
- [50] TROXELL, G.E., RAHAEL, J.M. and DAVIS, R.E., "Long-Term Creep and Shrinkage tests of Plain and Reinforced Concrete", Proc. ASTM 58, pp. 1101-1120, (1958).
- [51] BAZANT, Z.P., OSMAN, E., "Double Power law for basic Creep of Concrete", Mat. et constr. Vol. 9, pp.3-11, (1976).
- [52] FINDLEY, W.N., LAI, J.S., and ONARAN, K., "Creep and Relaxation of Nonlinear Viscoelastic Materials", North-Holland Applied Mathematics and Mechanics, Amsterdam, (1976).
- [53] HIGGINSON, E.C., "Effect of Steam Curing on the Important Properties of Concrete", ACI Journal, Proceeding, Vol.58, sept., pp.281-296, (1961).
- [54] Recommended Practice for Atmospheric Pressure Steam Curing of Concrete", ACI 517-70, (1970).
- [55] POSTACIOĞLU, B., "Beton-Bağlayıcı Maddeler, Agregalar, Beton, Cilt I, Bağlayıcı Maddeler", Matbaa Teknisyeni-leri Basımevi, İstanbul, (1986).

- [56] ÖZKAN, L., "Isıl İşlem Uygulaması ile Birlikte Uçucu Kül Kullanımının Beton Özelliklerine Etkisi", Y.L. Tezi, İ.T.Ü. Fen Bilimleri Enstitüsü, Haziran (1986).
- [57] SARIBAŞ, P., "Isıl İşlem Uygulaması ile Birlikte Doğal Puzolan Kullanımının Beton Özellikleri Üzerine Etkisi", Y.L. Tezi, İ.T.Ü. Fen Bilimleri Enstitüsü, Haziran (1987).
- [58] REINSDOREF, S., "Leichtbeton", band I, "Leichtbetone aus Porigen Zuschlagstoffen, VEB Verlag für Bauwesen-Berlin, pp.276-292, (1961).
- [59] HANSON, J.A., "Optimum Steam Curing Procedures for Structural Lightweight Concrete", Journal of ACI, Proceedings Vol. 60, pp.661-672, Sept. (1963).
- [60] SHORT, A., KINNBURGH, W., "Lightweight Concrete", CR Books Ltd (AMaclaren Company), London, (1968).
- [61] CEB/FIB, Manual of Design and Technology, "Lightweight Aggregate Concrete", The Construction Press, (1977).
- [62] SOROKA, I., JAEGERMAN, C.H., "Steam-Curing of Lightweight Aggregate Concrete Under Atmospheric Pressure", Building Research Station-Faculty of Civil Engineering, Technion Israel, Institute of Technologie, Haifa, Israel Prepared for Submission to the 8 th International Congress of the Precast Industry (BIBM), Stresa, Italy, May (1975).
- [63] KARAGÜLER, M., ÖZKUL, H., "Atmospheric Pressure Steam Curing of Lightweight Concrete Made With Pozzolana Substituted Cement", Proceeding of the Second International Conference, Vol.1, pp.3.33-3.46, Tripoli, October (1986).
- [64] COUTINHO, A. de SOUSA, A., "A Contribution to the Mechanism of Concrete Creep Materials and Structures", No:55, (1977).
- [65] ALİ, L., KESLER, C.E., "Mechanisms of Creep in Concrete", Symp. on Creep of Concrete Institute, No.2, pp. 35-63, (1964).
- [66] WALLO, E.M., KESLER, C.E., "Prediction of Creep in Structural Concrete", Engineering Experiment Station Bulletin, No: 498, Urbana, Collenge of Engineering, Universty of Illinois, (1968).
- [67] ATAN, Y., "Viskoelastik bir Katı Cisim Olarak Betonun Gerilme-Deformasyon Bağıntısı", İ.T.Ü. Dergisi, Cilt 26, sayı: 4, (1968).

- [68] TROST, H., "Sannungs-Dehnungs-Gesetz eines Viskoelastischen Festkörpers wie Beton und Folgerungen für Stabtragwerke aus Stahlbeton und Spanbeton", Juni, (1966).
- [69] THEUER, A.U., "Effect of Temperature on the Stresses Deformation of Concrete", Journal of Research, Nat. Bureau of Standards, 18, No:1, (1937).
- [70] ENGLAND, G.L., ROSS, A.D., "Reinforced Concrete Under Thermal Gradients", Magazine of Concrete Research, Vol.14, No:40, (1962).
- [71] GHOSH, R.S., "Creep of Portland Cement at early ages", Materials and Structures No:26, (1972).
- [72] BERNHARDT, C.J., "Creep and Shrinkage of Concrete", Rilem, No:8, pp.145-148, (1969).
- [73] ZDENEK, P., BAZANT, Z.P., "Limitations of Strain-Hardening Model for Concrete Creep", Cement and Concrete Research, Vol.17, pp.505-509, (1987).
- [74] SCHWESINGER, P., EHLERT, G. and WÖLFEL, R., "Creep of Concrete at elevated Temperatures and Boundary Conditions of Moisture", Cement and Concrete Research, Vol.17, pp.263-272, (1987).
- [75] AROUTIOUNIAN, N.K., "Applications de la Théorie du Fluage", Eyrolles, Paris, (1957).
- [76] BAZANT, Z.P., TSUBAKI, T. and CELEP, Z., "Singular history integral for Creep rate of Concrete", The Journal of Engineering Mechanics, ASCE, 109, pp.866-884, (1983).
- [77] PERSÖZ, B., "Introduction à l'étude de la rhéologie", Dunod, Paris, (1960).
- [78] AKYÜZ, S., TAŞDEMİR, M.A., "On the Creep of Concrete Under Variable Stresses", İ.T.Ü. Bulletin, Vol.38, No:3, pp.401-408, (1985).
- [79] AKYÜZ, S., TAŞDEMİR, M.A. and UZUNHASANOĞLU, N., "The time, dependent behaviour of Lightweight Concrete Under Variable stresses", IV. National Mechanical Congress, pp. 160-171, Bayramoğlu Received, May 9, (1985).



E K L E R

Tablo A.1. A-20 Serisi "a" ve "b" katsayılarının hesaplanması ile ilgili tablo

Yükleme Basamağı	t (gün)	t <sub>b</sub> (gün)	Deneysel		Basamaklardaki sünme def. ( $\times 10^{-6}$ )					Toplam hesap. sünme defor. $\cdot 10^{-6}$
			$\varepsilon \cdot 10^{-6}$	$\varepsilon_s \cdot 10^{-6}$	1	2	3	4	5	
1.	7	0	165	0	0					0
	8	1	248	83	79					79
	9	2	270	105	125					125
	11	4	325	160	183					183
	14	7	404	239	237					237
	16	9	434	269	262					262
	22	15	476	311	316					316
	28	21	510	345	352					352
2.	28	0	652	345	352	0				352
	29	1	675	368	357	49				406
	30	2	720	413	362	76				438
	32	4	778	471	371	112				483
	34	6	790	483	380	135				515
	36	8	806	499	388	154				542
	40	12	844	537	402	179				581
	42	14	872	565	408	190				598
	45	17	909	602	417	202				619
	50	22	944	637	431	220				651
	56	28	981	674	446	236				682
3.	56	0	1016	674	446	236	0			682
	57	1	1054	712	448	238	16			702
	58	2	1054	712	450	240	26			716
	60	4	1091	749	455	244	38			737
	62	6	1095	753	459	249	46			754
	65	9	1110	768	465	255	54			774
	70	14	1148	806	473	263	64			800
	75	19	1177	835	482	271	71			824
	80	24	1198	856	490	278	76			844
	88	32	1217	875	502	288	83			873
	95	39	1232	890	511	295	87			893
	100	44	1244	902	518	300	90			908
	105	49	1255	913	523	305	92			920
	115	59	1291	949	535	314	97			946
4.	115	0	1270	949	535	314	97	0		946
	116	1	1252	931	535	314	97	-10		936
	117	2	1244	923	537	315	98	-15		935
	120	5	1249	928	540	317	100	-24		933
	123	8	1252	931	543	319	100	-29		933
	125	10	1250	929	544	321	101	-31		935
	127	12	1259	938	546	322	102	-34		936
	130	15	1256	935	549	324	103	-36		940
	135	20	1261	940	553	328	104	-41		944
	140	25	1268	947	558	331	105	-43		951
	145	30	1274	953	562	334	106	-45		957
5.	145	0	1124	953	562	334	106	-45	0	957
	146	1	1100	929	563	335	106	-46	-36	922
	147	2	1061	890	564	335	107	-47	-57	902
	150	5	1036	865	566	337	108	-47	-92	872
	153	8	1033	862	569	338	109	-48	-113	855
	160	15	1017	846	574	342	110	-51	-142	833
	168	23	981	810	580	346	111	-53	-163	821
	180	35	977	806	587	352	114	-53	-184	816
	200	55	984	813	600	361	117	-59	-206	813

Tablo A.2. B-40 Serisi "a" ve "b" katsayılarının hesaplanması ile ilgili tablo

Yüklenme Basamaklı (gün)	t (gün)	$t_b$ (gün)	Deneysel		Basamaklardaki sümme deformasyonu ( $\times 10^{-6}$ )						Toplam hesap. sümme deform. $\cdot 10^{-6}$
			$\varepsilon \cdot 10^{-6}$	$\varepsilon_s \cdot 10^{-6}$	1	2	3	4	5	6	
3	0	215	0	0							0
4	1	270	55	92							92
5	2	346	131	146							146
7	4	424	209	214							214
10	7	477	262	277							277
14	11	526	311	330							330
17	14	565	350	360							360
19	16	570	355	377							377
21	18	600	385	391							391
21	0	734	385	391	0						391
22	1	809	460	398	67						465
23	2	841	492	405	106						511
25	4	910	561	417	155						572
28	7	978	629	433	200						633
30	9	1009	660	443	222						665
35	14	1056	707	465	261						726
42	21	1133	784	490	298						783
45	24	1156	807	500	310						810
49	28	1173	824	512	325						837
49	0	1200	824	512	325	0					337
50	1	1217	841	515	328	9					852
51	2	1239	863	517	331	14					862
53	4	1263	887	523	337	20					880
55	6	1275	899	528	343	25					896
58	9	1291	915	535	351	30					916
62	13	1307	931	544	360	34					938
68	19	1344	968	557	373	39					969
75	26	1361	985	570	386	43					999
77	28	1376	1000	574	390	44					1008
77	0	1471	1000	574	390	44	0				1008
78	1	1479	1008	576	392	45	24				1037
80	3	1506	1035	579	395	46	48				1068
83	6	1543	1072	584	399	46	68				1097
87	10	1576	1105	591	405	49	83				1128
91	14	1611	1140	597	411	50	101				1159
94	17	1625	1154	601	415	52	110				1178
100	23	1636	1165	610	423	52	111				1196
102	25	1653	1182	612	425	53	113				1203
105	28	1670	1199	616	428	53	117				1214
105	0	1609	1199	616	428	53	117	0			1214
106	1	1608	1198	617	428	53	118	-11			1205
108	3	1607	1197	620	432	54	121	-22			1205
111	6	1597	1187	624	435	54	124	-32			1205
114	9	1601	1191	627	438	55	126	-37			1209
117	12	1605	1195	631	441	55	129	-42			1214
120	15	1616	1206	634	444	56	132	-45			1221
125	20	1633	1223	640	449	57	135	-49			1232
132	27	1650	1240	647	455	58	140	-54			1246
132	0	1394	1240	647	455	58	140	-54	0		1246
133	1	1371	1217	648	456	59	141	-55	-49		1200
137	5	1314	1160	652	460	60	143	-57	-127		1131
140	8	1287	1133	655	462	59	145	-58	-156		1107
145	13	1270	1116	660	466	60	147	-60	-187		1086
152	20	1242	1088	666	470	60	151	-63	-216		1068
158	26	1217	1063	671	475	61	153	-65	-234		1061
165	33	1224	1070	677	480	62	156	-67	-251		1057
173	41	1232	1078	684	485	63	159	-69	-266		1056
182	50	1231	1077	690	490	64	162	-71	-279		1056
190	58	1219	1065	696	495	64	165	-72	-290		1058
200	68	1212	1058	703	500	65	168	-74	-301		1061

Tablo A.3. C-60 Serisi "a" ve "b" katsayılarının hesaplanması ile ilgili tablo

Yükleme Basamağı <sup>+</sup>	t (gün)	t <sub>b</sub> (gün)	Deneysel		Basamaklardaki sümme deformasyonu ( $\times 10^{-6}$ )						Toplam hesap. sümme defor. $\cdot 10^{-6}$
			$\epsilon \cdot 10^{-6}$	$\epsilon_s \cdot 10^{-6}$	1	2	3	4	5	6	
1. Basamak	1	0	210	0	0						0
	2	1	324	114	124						124
	3	2	380	170	197						197
	4	3	425	215	248						248
	7	6	536	326	348						348
	10	9	590	380	412						412
	13	12	642	432	459						459
	15	14	672	462	485						485
	18	17	715	505	517						517
	20	19	748	538	536						536
	25	24	782	572	576						576
	25	0	853	572	576	0					576
	26	1	918	637	583	37					620
	27	2	950	669	583	59					542
	30	5	1004	723	609	96					705
	33	8	1025	744	626	117					743
	35	10	1046	765	636	129					765
	39	14	1076	795	656	145					801
	40	15	1098	817	660	149					809
	45	20	1124	843	681	163					844
	46	21	1130	849	685	166					851
	50	25	1178	897	700	175					875
	53	28	1199	918	711	180					891
2. Basamak	53	0	1243	918	711	180					891
	54	1	1281	956	714	182	21				917
	55	2	1293	968	717	184	33				934
	57	4	1304	979	724	187	48				959
	60	7	1325	1000	733	192	62				987
	65	12	1376	1051	747	199	76				1022
	68	15	1400	1075	755	203	82				1040
	72	19	1407	1082	765	207	89				1061
	75	22	1439	1114	773	211	93				1077
	80	27	1448	1123	784	216	99				1099
	81	28	1466	1141	786	217	100				1103
	81	0	1535	1141	786	217	100	0			1103
	82	1	1572	1178	789	218	103	30			1138
	83	2	1610	1216	791	219	102	48			1160
	85	4	1621	1227	795	220	104	70			1189
	87	6	1638	1244	799	222	105	85			1211
	90	9	1682	1288	805	225	108	100			1238
	95	14	1700	1306	815	228	111	118			1272
	98	17	1713	1319	820	231	113	126			1290
	105	24	1764	1370	833	235	118	140			1326
	107	26	1781	1387	836	237	119	144			1336
	110	29	1784	1390	841	239	120	148			1348
3. Basamak	110	0	1728	1390	841	239	120	148	0		1348
	111	1	1728	1390	843	239	121	150	-13		1340
	113	3	1714	1376	846	241	122	152	-27		1334
	117	7	1716	1378	852	243	124	157	-40		1336
	120	10	1717	1379	857	245	125	161	-46		1342
	125	15	1727	1389	864	147	127	166	-54		1350
	132	22	1752	1414	874	251	130	172	-61		1366
	140	30	1770	1432	884	255	133	178	-66		1384
	140	0	1576	1432	884	255	133	178	-66	0	1384
	141	1	1523	1379	866	255	133	179	-67	-49	1337
4. Bassamak	143	3	1491	1347	888	256	134	181	-68	-98	1293
	148	8	1440	1296	894	258	135	184	-71	-155	1245
	152	12	1437	1293	899	260	136	186	-73	-181	1227
	160	20	1415	1271	908	263	139	191	-76	-215	1210
	175	35	1390	1246	924	269	143	198	-81	-253	1200
	180	40	1387	1243	929	271	144	201	-82	-262	1201
	190	50	1383	1239	939	274	146	205	-85	-278	1201
	200	60	1385	1241	948	277	148	209	-87	-291	1204

Tablo A.4. D-70 Serisi "a" ve "b" katsayılarının hesaplanması ile ilgili tablo

Yükleme Basamağı	t (gün)	$t_b$ (gün)	Deneysel		Basamaklardaki sünme deformasyonu ( $\times 10^{-6}$ )						Toplam hesap. sünme defor. $\cdot 10^{-6}$	
			$\varepsilon \cdot 10^{-6}$	$\varepsilon_s \cdot 10^{-6}$	1	2	3	4	5	6		
1. Basamak	1	0	124	0	0							0
	2	1	192	68	66							66
	3	2	225	101	105							105
	5	4	265	141	154							154
	7	6	315	191	186							186
	8	7	326	202	199							199
	8	0	462	202	199	0						199
	9	1	528	268	210	71						281
2. Basamak	10	2	600	340	220	114						334
	13	5	683	423	245	186						431
	16	8	742	482	265	227						492
	20	12	814	554	286	266						552
	25	17	874	614	307	300						607
	28	20	893	633	318	316						634
	30	22	898	638	325	325						650
	33	25	925	665	334	338						672
	35	27	943	683	340	346						686
	38	30	955	695	347	357						704
	40	32	983	723	352	363						715
	40	0	1042	723	352	363	0					715
3. Basamak	41	1	1052	733	355	366	22					743
	43	3	1088	770	359	372	44					775
	45	5	1119	800	364	378	57					799
	48	8	1135	816	370	386	70					826
	50	10	1157	838	374	391	76					841
	53	13	1182	863	380	397	84					861
	56	16	1206	887	385	404	91					880
	60	20	1232	913	391	412	97					900
	65	25	1235	916	399	421	104					924
	70	30	1258	939	406	430	110					946
	70	0	1350	939	406	430	110	0				946
	71	1	1364	953	407	431	111	29				978
4. Basamak	73	3	1372	961	410	435	113	60				1018
	77	7	1418	1007	415	441	117	88				1061
	80	10	1444	1033	419	445	119	102				1085
	85	15	1495	1084	424	452	122	118				1116
	90	20	1520	1109	430	459	126	130				1145
	96	26	1548	1137	436	466	129	141				1172
	100	30	1566	1155	440	471	131	147				1189
	105	35	1596	1185	445	476	134	153				1208
	110	40	1613	1202	449	481	136	161				1227
	114	44	1631	1220	452	484	138	163				1237
	114	0	1566	1220	452	484	138	163	0			1237
5. Basamak	115	1	1556	1210	453	485	138	165	-18			1224
	117	3	1528	1182	455	487	139	168	-36			1213
	120	6	1531	1185	457	491	140	172	-50			1210
	125	11	1535	1189	461	494	142	175	-64			1208
	130	16	1543	1197	465	499	144	178	-73			1213
	133	19	1542	1196	467	502	145	181	-77			1218
	138	24	1547	1201	471	506	147	184	-83			1225
	143	29	1554	1208	474	510	149	184	-88			1229
	143	0	1348	1208	474	510	149	184	-88	0		1229
	144	1	1320	1180	475	511	149	185	-89	-54		1177
	145	2	1295	1155	475	513	149	186	-89	-86		1148
	147	4	1227	1087	474	515	150	188	-91	-126		1110
6. Basamak	150	7	1218	1078	477	519	151	190	-93	-162		1082
	155	12	1176	1036	482	526	152	195	-97	-200		1058
	165	22	1148	1008	488	534	155	200	-102	-245		1030
	178	35	1134	994	495	535	157	201	-108	-280		1000
	180	37	1133	993	496	536	158	202	-109	-284		999
	200	57	1124	984	506	546	161	208	-115	-317		989

Tablo A.5. E-95 Serisi "a" ve "b" katsayılarının hesaplanması ile ilgili tablo

Yükleme Basamağı	t (gün)	t <sub>b</sub> (gün)	Deneysel		Basamaklardaki sünme deformasyonu ( $\times 10^{-6}$ )						Toplam hesap. sünme defor. $\cdot 10^{-6}$	
			$\varepsilon \cdot 10^{-6}$	$\varepsilon_s \cdot 10^{-6}$	1	2	3	4	5	6		
1.	1. Basamak	1	0	92	0	0						0
	2	1	160	68	56							56
	3	2	188	96	88							88
	5	4	237	145	129							129
	7	6	257	165	155							155
	8	7	260	178	167							167
	8	0	364	178	167	0						167
	9	1	403	202	176	44						220
	10	2	456	255	184	70						254
	11	3	494	290	193	89						282
	12	4	507	306	199	102						301
	15	7	539	338	217	133						350
	17	9	576	375	226	148						374
	20	12	594	393	240	164						404
	22	14	614	413	246	173						419
	25	17	641	440	257	185						442
	30	22	653	452	271	200						471
	35	27	715	514	285	213						498
	35	0	764	514	285	213	0					498
	36	1	774	524	286	215	27					528
	37	2	804	556	289	217	43					549
	38	3	824	574	291	219	55					565
	40	5	831	581	296	223	70					589
	42	7	858	598	298	237	81					616
	45	10	887	637	305	232	94					631
	48	13	910	660	309	237	103					649
	50	15	922	672	313	241	108					662
	55	20	944	694	320	248	119					687
	60	25	961	711	327	254	128					709
	63	28	978	728	331	257	132					720
	63	0	1027	728	331	257	132	0				720
	64	1	1053	754	332	258	132	22				745
	65	2	1057	758	333	260	134	35				762
	68	5	1105	806	337	263	138	58				796
	70	7	1109	810	339	265	140	67				811
	73	10	1134	835	343	268	143	78				832
	75	12	1156	857	346	270	145	83				844
	78	15	1169	870	349	273	147	90				859
	80	17	1177	878	350	275	149	93				866
	84	21	1192	893	354	278	153	100				885
	90	27	1203	904	359	282	157	108				906
	95	32	1219	920	365	286	161	113				925
	100	37	1231	932	367	290	164	118				939
	105	42	1262	963	371	293	167	122				953
	108	45	1280	981	374	295	168	125				962
	108	0	1188	981	374	295	168	125	0			962
	109	1	1186	979	376	296	169	125	-25			941
	110	2	1166	959	376	296	170	126	-39			929
	112	4	1163	956	377	297	171	127	-58			914
	115	7	1126	919	380	299	172	129	-75			905
	118	10	1148	941	381	301	173	131	-86			900
	120	12	1143	936	382	302	174	132	-92			898
	125	17	1136	929	385	305	177	135	-104			898
	130	22	1132	925	389	308	178	138	-112			901
	137	29	1135	928	393	312	186	140	-122			904
	137	0	946	928	393	312	181	140	-122	0		904
	138	1	884	866	394	312	181	141	-123	-74		831
	139	2	849	831	395	313	182	141	-124	-118		789
	140	3	819	801	396	313	183	142	-125	-148		761
	144	7	731	713	397	315	184	143	-129	-222		688
	150	13	690	672	401	317	185	147	-135	-282		633
	155	18	656	638	403	320	187	149	-138	-315		606
	160	23	655	637	405	321	192	152	-142	-340		588
	170	33	597	579	411	326	192	153	-149	-377		556
	180	43	578	560	415	330	195	155	-154	-405		536
	200	63	567	549	423	337	199	159	-162	-445		511

'ablo A.6. F-20 Serisi "a" ve "b" katsayılarının Mesaplanması  
ile ilgili tablo

5. Basamak	4. Basamak	3. Basamak	2. Basamak	1. Basamak	Deneysel	Basamaklardaki sünme def. ( $\times 10^{-6}$ )					Toplam hesap. sünme defor. $\cdot 10^{-6}$
						$\varepsilon \cdot 10^{-6}$	$\varepsilon_s \cdot 10^{-6}$	1	2	3	
7	0	252	0	0							0
8	1	415	163	138							138
10	3	522	270	277							277
12	5	620	368	358							358
14	7	690	438	416							416
18	11	770	518	497							497
21	14	818	566	540							540
25	18	843	591	588							588
28	21	862	610	618							618
28	0	977	610	618	0						618
29	1	1026	659	627	40						667
30	2	1066	699	635	64						699
32	4	1118	751	651	95						746
35	7	1160	793	673	122						795
38	10	1204	837	693	140						833
42	14	1221	854	717	160						877
45	17	1262	895	733	170						903
48	20	1293	926	747	179						926
50	22	1298	931	757	185						942
52	24	1319	952	766	189						955
56	28	1350	983	782	199						981
56	0	1391	983	782	199	0					981
57	1	1402	994	786	200	14					1000
58	2	1414	1006	790	202	23					1015
60	4	1452	1044	798	206	33					1037
63	7	1480	1072	808	210	44					1062
65	9	1481	1073	815	214	49					1078
68	12	1519	1111	825	219	54					1098
71	15	1532	1124	835	223	58					1116
75	19	1547	1139	847	228	63					1138
78	22	1553	1145	855	231	65					1151
81	25	1562	1154	863	234	68					1165
84	28	1589	1181	871	238	70					1179
84	0	1519	1181	871	238	70	0				1179
85	1	1518	1180	873	239	72	-16				1168
86	2	1516	1178	876	240	72	-26				1162
88	4	1517	1177	881	242	72	-38				1157
90	6	1520	1178	886	244	77	-46				1161
94	10	1522	1173	895	247	77	-57				1162
96	12	1521	1178	900	249	79	-61				1167
98	14	1520	1178	904	251	79	-65				1169
102	18	1529	1180	912	254	82	-70				1178
105	21	1530	1186	919	257	84	-74				1186
110	26	1538	1196	929	260	84	-78				1195
112	28	1550	1212	932	262	86	-80				1200
112	0	1349	1212	932	262	86	-80	0			1200
113	1	1315	1178	934	262	87	-81	-55			1147
115	3	1282	1144	938	263	87	-82	-110			1097
118	6	1239	1102	944	265	88	-85	-154			1058
121	9	1220	1083	949	267	89	-86	-182			1037
125	13	1176	1039	956	269	91	-89	-209			1018
130	18	1158	1021	964	273	93	-93	-233			1004
135	23	1154	1017	971	275	93	-94	-252			993
142	30	1151	1014	982	280	95	-97	-272			988
150	38	1152	1015	993	284	96	-100	-290			983

Tablo A.7. G-50 Serisi "a" ve "b" katsayılarının hesaplanması ile ilgili tablo

Yükleme Başamağı	t (gün)	$t_b$ (gün)	Deneysel		Basamaklardaki sünme def. ( $\times 10^{-6}$ )					Toplam hesap. sünme defor. $\cdot 10^{-6}$
			$\epsilon \cdot 10^{-6}$	$\epsilon_s \cdot 10^{-6}$	1	2	3	4	5	
3.	0	225	0	0	0					0
4.	1	313	88	103						103
5.	2	397	172	167						167
7.	4	448	223	241						241
10.	7	543	318	312						312
14.	11	588	363	372						372
18.	15	615	390	416						416
21.	18	680	455	442						442
21.	0	822	455	442	0					442
22.	1	864	497	449	59					508
23.	2	935	568	457	93					550
25.	4	974	607	470	137					607
28.	7	1049	682	489	177					666
30.	9	1072	705	500	196					696
33.	12	1097	730	515	218					733
35.	14	1119	752	524	230					754
38.	17	1157	790	537	245					782
40.	19	1178	811	545	255					800
45.	24	1200	833	564	273					837
50.	29	1250	883	580	289					869
50.	0	1292	883	580	289	0				869
51.	1	1332	923	583	294	21				898
52.	2	1356	947	586	297	33				916
54.	4-	1369	960	592	302	48				942
57.	7	1408	999	601	309	62				972
60.	10	1422	1013	609	315	71				995
62.	12	1452	1042	614	320	76				1010
65.	15	1461	1052	621	325	82				1028
68.	18	1481	1072	628	330	88				1046
70.	20	1487	1078	632	334	91				1057
75.	25	1508	1099	643	342	97				1082
77.	27	1517	1108	647	345	99				1091
77.	0	1478	1108	647	345	99	0			1091
78.	1	1466	1096	650	346	100	-13			1083
79.	2	1454	1084	651	348	101	-20			1080
80.	3	1444	1074	653	349	102	-26			1078
83.	6	1441	1071	659	353	105	-36			1081
85.	8	1443	1073	662	354	107	-41			1082
90.	13	1464	1094	671	361	110	-49			1093
94.	17	1477	1107	678	366	113	-53			1104
97.	20	1489	1119	683	369	115	-56			1111
100.	23	1500	1130	687	372	117	-59			1117
102.	25	1504	1134	690	374	118	-60			1122
105.	28	1514	1144	695	377	120	-62			1130
105.	0	1280	1144	695	377	120	-62	0		1130
106.	1	1183	1047	696	379	120	-63	-67		1065
107.	2	1166	1030	698	380	121	-63	-107		1029
110.	5	1096	960	702	382	122	-65	-174		967
113.	8	1081	945	706	385	124	-67	-213		935
115.	10	1068	932	709	387	125	-68	-233		920
120.	15	1024	888	716	391	127	-70	-269		895
124.	19	1007	871	720	395	128	-71	-291		881
130.	25	1015	879	727	400	131	-74	-317		867
138.	33	1003	867	736	405	133	-76	-343		855
142.	37	987	851	741	408	135	-77	-354		853
150.	45	978	842	750	414	137	-80	-372		849

Tablo A.8. H-80 Serisi "a" ve "b" katsayılarının hesaplanması ile ilgili tablo

Yükleme Başamağı (gün)	t (gün)	t <sub>b</sub> (gün)	Deneysel		Basamaklardaki sünme def. ( $\times 10^{-6}$ )					Toplam hesap. sünme defor. $\cdot 10^{-6}$
			$\epsilon \cdot 10^{-6}$	$\epsilon_s \cdot 10^{-6}$	1	2	3	4	5	
2	0	265	0	0	0					0
3	1	364	99	121						121
5	3	520	255	243						243
7	5	570	305	314						314
10	8	635	370	385						385
12	10	700	435	420						420
15	13	714	449	463						463
18	16	768	503	497						497
20	18	770	505	516						516
23	21	778	513	542						542
26	24	840	585	564						564
26	0	1000	585	564	0					
27	1	1066	651	571	56					564
28	2	1114	699	578	89					627
30	4	1147	732	590	130					667
33	7	1183	768	608	168					720
36	10	1261	846	623	194					776
40	14	1299	884	643	219					817
43	17	1320	905	655	234					862
45	19	1336	921	664	242					889
50	24	1380	965	682	260					906
54	28	1419	1004	696	273					942
54	0	1439	1004	696	273	0				969
55	1	1474	1039	699	275	11				974
57	3	1499	1064	706	281	23				1010
60	6	1527	1092	715	287	32				1034
62	8	1533	1098	721	292	36				1049
65	11	1547	1112	729	298	41				1068
70	16	1573	1138	742	308	46				1096
73	19	1593	1158	750	313	49				1112
77	23	1614	1179	759	320	52				1131
80	26	1630	1195	766	324	54				1144
82	28	1628	1193	771	327	55				1153
82	0	1565	1193	771	327	55	0			1153
83	1	1557	1185	773	328	56	-13			1144
85	3	1552	1180	777	331	57	-26			1139
90	8	1546	1174	787	338	59	-42			1142
93	11	1568	1196	793	343	60	-48			1148
100	18	1566	1194	806	350	63	-57			1162
104	22	1573	1201	813	354	64	-61			1170
108	26	1595	1223	819	357	65	-64			1177
110	28	1603	1231	822	359	66	-65			1182
110	0	1234	1231	822	359	66	-65	0		1182
111	1	1212	1209	824	360	66	-65	-70		1115
112	2	1172	1169	826	361	67	-66	-111		1077
113	3	1114	1111	823	362	67	-68	-140		1044
117	7	1070	1067	834	366	68	-70	-210		988
120	10	1027	1024	838	368	69	-70	-240		965
125	15	1026	1023	845	373	70	-72	-279		937
128	18	1013	1010	849	375	71	-74	-297		924
132	22	981	978	855	378	71	-75	-316		913
138	28	976	973	863	382	73	-77	-339		902
145	35	973	970	871	388	74	-80	-361		892
150	40	952	949	877	392	75	-82	-374		888

## Ö Z G E Ç M İ Ş

Kemalettin Yılmaz, 1955 yılında Erzurum'da doğdu. İlk ve Ortaokulu İstanbul-Çağlayan'da, Lise'yi 1971 yılında Maçka Sanat Enstitüsü'sünde tamamlayarak, aynı yıl dışarıdan İstanbul Atatürk Erkek Lisesini bitirdi.

1972 yılında girdiği İstanbul Devlet Mühendislik ve Mimarlık Akademisi'nden (Yıldız), mezun olduktan sonra 2 yıl serbest çalıştı. 1980 yılında Sakarya Mühendislik Fakültesi'nde başladığı M.M.L.S.Eğitimini 1981 de tamamlayarak aynı yıl kısa dönem askerlik görevini yaptı.

1981 yılında İ.T.Ü. Sakarya Mühendislik Fakültesi'nde Uzman-Asistan olarak başladığı görevine, 1985 den itibaren aynı Fakülte'nin Sakarya Meslek Yüksekokulu kadrosunda Öğretim Görevlisi olarak devam ettirmektedir.